



**UNIVERSIDADE FEDERAL DO CEARÁ
CAMPUS QUIXADÁ
BACHARELADO EM SISTEMAS DE INFORMAÇÃO**

LUIS SIQUEIRA DE ANDRADE JUNIOR

**MODELO TIWIM: DESENVOLVIMENTO DA MENSAGEM
DETALHADA**

**QUIXADÁ
2019**

LUIS SIQUEIRA DE ANDRADE JUNIOR

**MODELO TIWIM: DESENVOLVIMENTO DA MENSAGEM
DETALHADA**

Monografia apresentada ao Curso de Sistemas de Informação do Campus Quixadá da Universidade Federal do Ceará, como requisito parcial para obtenção do Título de Bacharel em Sistemas de Informação.

Orientadora: Profa. Dra. Andréia Libório Sampaio

**QUIXADÁ
2019**

Dados Internacionais de Catalogação na Publicação
Universidade Federal do Ceará
Biblioteca Universitária

Gerada automaticamente pelo módulo Catalog, mediante os dados fornecidos pelo(a) autor(a)

A568m Andrade Junior, Luis Siqueira de.

Modelo TIWIM: Desenvolvimento da mensagem detalhada / Luis Siqueira de Andrade Junior. – 2019.
102 f. : il. color.

Trabalho de Conclusão de Curso (graduação) – Universidade Federal do Ceará, Campus de Quixadá,
Curso de Sistemas de Informação, Quixadá, 2019.

Orientação: Profa. Dra. Andréia Libório Sampaio.

1. Software-Desenvolvimento. 2. Engenharia de software. 3. Framework (Arquivo de computador). I.
Título.

CDD 005

LUIS SIQUEIRA DE ANDRADE JUNIOR

MODELO TIWIM: DESENVOLVIMENTO DA MENSAGEM DETALHADA

Monografia apresentada ao Curso de Sistemas de Informação do Campus Quixadá da Universidade Federal do Ceará, como requisito parcial para obtenção do Título de Bacharel em Sistemas de Informação.

Aprovada em: ___/___/___

BANCA EXAMINADORA

Dra. Andréia Libório Sampaio (Orientadora)
Universidade Federal do Ceará (UFC)

Dra. Rainara Maia Carvalho
Universidade Federal do Ceará (UFC)

M.^a Leonara de Medeiros Braz
Universidade Federal do Ceará (UFC)

À minha família pelo amor e apoio que sempre me deram.
Em especial a memória da minha avó Franscisca Leite de Andrade
e minha irmã Mara Cinthya Peixoto de Souza. Conseguimos.

Agradecimentos

A Deus por sempre ter me guiado e me dado força durante todos os momentos da minha vida.

A meus pais Luis Siqueira e Ana Neri, que fizeram sempre o possível, dentro dos seus limites, para que a criação dos seus filhos, e me proporcionaram a oportunidade de desbravar e descobrir os meus caminhos desde cedo, mas sempre sendo minha base nas minhas falhas e indecisões. Ao meu irmão Anderson Henrique, que foi por tantas vezes mais do que um irmão, foi um conselheiro, um exemplo a ser espelhado e que amo muito.

A minha tia e segunda mãe Ana Regina, que por tantas vezes esteve lá quando necessário e assim é sempre. Ao meu tio e segundo pai Francisco José por fazer parte da minha história. Ao meu primo Alexandre Vinícius, que me apresentou a área e me incentiva sempre a estudar e me renovar sendo uma referência profissional.

A minha companheira Natália Albuquerque, por toda a paciência de noites de sonos perdidos, por todos os puxões de orelhas dado, por todo o exemplo que ela proporciona a mim e ao nosso filho. Lhe amo muito. Ao meu amado filho, Pedro Albuquerque, que foi uma renovação na minha vida, que me ensinou que eu ainda poderia aprender muito com ele e assim tem sido todos os dias.

A minha orientadora, Profa. Dra. Andréia Libório Sampaio, por ter me dado a oportunidade de abordar esse tema e por ter sido meu marcapasso, não me deixando falhar e nem desistir.

A todos os colegas de curso que fiz durante esses anos de curso. Em especial a Ronaldo, Higo, Ítalo, Bruno, Adson e Maúrio que dividiram comigo, além dos anos de curso, apartamentos e moradas. Também ao William Rosendo por auxiliar no desenvolvimento desse trabalho.

A toda a equipe da empresa Polibras, em especial o corpo gestor nas pessoas do Sérgio Girão, Henrique Lima e Christian Villa Real, que me deram apoio sempre que necessário durante o curso.

Aos companheiros de profissão Gleilson Ferreira e Witalo Benício por estarem sempre presentes e incentivando a busca de conhecimento.

Agradeço a toda minha família, tios, tias e avós, por sempre me incentivarem a seguir em frente nos estudos.

"Faço da dificuldade a minha motivação."
(Charlie Brown Jr.)

Resumo

Este trabalho visa realizar o desenvolvimento do ambiente em que o usuário irá criar a mensagem detalhada conforme especificada no TiWIM. O modelo de comunicação TiWIM (This is What I mean) proposto na tese de doutorado de Sampaio (2010) é um modelo conceitual que visa estruturar a comunicação de grupos em discussões sobre modificações de sistemas de uso comum. Para isso foi se necessário rever as necessidades e levantar os requisitos, tomar algumas decisões técnicas e em seguida realizar a avaliação da ferramenta com um grupo de potenciais usuários. Usuários sem conhecimento de desenvolvimento são os principais beneficiados com o desenvolvimento da ferramenta.

Palavras-chaves: software. web. framework.

Abstract

This work aims to develop the environment in which the user will create the detailed message as specified in TiWIM. The TiWIM (This is What I mean) communication model proposed in Sampaio's doctoral dissertation (2010) is a conceptual model that aims to structure group communication in discussions about modifications of commonly used systems. For this it was necessary to review the needs and raise the requirements, make some technical decisions and then perform the assessment of the tool with a group of potential users. Users without development knowledge are the main beneficiaries of the development of the tool.

Key-words: software. web. framework.

Lista de ilustrações

1	Modelo de Comunicação com TiWIM	18
2	Estrutura da mensagem do modelo	19
3	Demonstraçāo da primoTiWIM	21
4	Modelo Cascata	23
5	Demostraçāo da prova de conceito	28
6	Trecho de código da ferramenta	30
7	Protótipo para a ferramenta	31
8	Exemplo de item da lista de alterações	32
9	Exemplo de elemento alterado	32
10	Localização do botão salvar	33
11	Versão final da barra de tarefas.	34
12	Plugin em execução	35
13	Elemento em destaque ao passar com o mouse	35
14	Opções disponíveis para interação	36
15	Alteração de texto	36
16	Lista com alterações	37
17	Elemento alterado	37
18	Respostas da Questão 1	39
19	Respostas da Questão 2	40
20	Respostas da Questão 3	40
21	Respostas da Questão 4	41

Lista de tabelas

1 Partes Modelo x Recursos Email	20
2 Requisitos funcionais	26
3 Requisitos não funcionais	26

Sumário

1	INTRODUÇÃO	13
2	TRABALHOS RELACIONADOS	14
2.1	Um estudo sobre um modelo para comunicar modificações em sistemas web	14
2.2	Frameworks e bibliotecas JavaScript	15
3	FUNDAMENTAÇÃO TEÓRICA	17
3.1	DOM	17
3.2	Modelo TiWIM	17
3.3	Engenharia de Software	22
3.4	End-User Development	23
3.5	Frameworks	24
4	PROCEDIMENTOS METODOLÓGICOS	25
4.1	Levantamento de requisitos	25
4.2	Decisões técnicas	26
4.3	Implementação do ambiente	27
4.4	Avaliação do sistema	28
5	FERRAMENTA	29
5.1	Visão geral do desenvolvimento	29
5.1.1	Arquitetura	29
5.1.2	Arquivos e classes	29
5.2	Apresentação da ferramenta	30
5.2.1	Protótipo	31
5.2.2	Versão final	33
5.2.3	Código-fonte e Instalação	38
6	RESULTADOS DA AVALIAÇÃO	39
7	CONSIDERAÇÕES FINAIS	42
	REFERÊNCIAS	45
	APÊNDICE A - TERMO DE CONSENTIMENTO	46
	APÊNDICE B - QUESTIONÁRIO	48
	APÊNDICE C - ESQUEMA JSON PARA EXPORTAÇÃO	49

APÊNDICE D - ARQUIVOS PRODUZIDOS	58
---	-----------

1 INTRODUÇÃO

O modelo de comunicação TiWIM (*This is What I mean*) proposto na tese de doutorado de Sampaio (2010) é um modelo conceitual que visa estruturar a comunicação de grupos em discussões sobre modificações de sistemas de uso comum.

Imaginando um cenário onde um usuário está realizando a avaliação de um website após a implementação de um *designer* (ou desenvolvedor). O TiWIM permite visualizar as ideias de mudanças propostas por este usuário e possibilita ver o resultado antes mesmo de algum retrabalho por parte do *designer* através de modificações realizadas diretamente nas páginas *web*.

Desse modo, a finalização de *websites*, no que diz respeito a possíveis ajustes finais, pode ser agilizada por tornar a comunicação mais direta e reduzir as chances de não entendimento sobre as ideias fornecidas pelo usuário.

Como podemos ver em Braz (2013), apenas existe uma implementação para esse modelo e que impõe algumas limitações, como por exemplo, o seu funcionamento apenas no navegador Firefox. Dessa forma, é possível observar alguns pontos de melhorias para trabalhos futuros, como anunciado em Braz (2013).

Após realizada a análise na arquitetura atual, que é baseada em modelo de implementação de plugins para o Firefox, foi percebido um complexo nível de manutenção e a dependência de outros dois plugins que são o CustomizeYourWEB (CUSTOMIZEYOURWEB, 2010) e CoScripter (LESHED *et al.*, 2008). Essas dependências e a atual arquitetura restringem, também, o funcionamento a algumas das versões do navegador.

Este trabalho visa realizar o desenvolvimento do ambiente em que o usuário irá criar a mensagem detalhada conforme especificada no TiWIM, de modo que este modelo possa ser utilizado em uma maior quantidade de navegadores. Para isso, serão realizadas as seguintes etapas: (a) Levantamento de requisitos, embora já exista um conceito maduro do modelo de comunicação, é necessário reanalisar os requisitos atuais e buscar identificar possíveis novos; (b) Decisões técnicas, que consiste em realizar o desenho da solução e tomar as decisões de tecnologias a serem utilizadas; (c) Implementação do ambiente, que consiste em realizar a implementação em si da plataforma seguindo as decisões tomadas anteriormente; (d) Avaliação do sistema, uma vez finalizada a implementação, validar o ambiente com usuários finais através de testes de usabilidade guiados via roteiro.

Além dos objetivos gerais, três objetivos específicos compõem este trabalho:

- a) Propor uma arquitetura para a solução.
- b) Disponibilizar uma versão do TiWIM.
- c) Avaliar o ambiente desenvolvido.

Uma vez o trabalho realizado, os usuários, como por exemplo solicitantes de *websites*, desenvolvedores, *designers* e outros papéis envolvidos na criação de plataformas web serão os beneficiados com o resultado.

O trabalho contará com mais seis Seções que irão tratar dos seguintes temas respectivamente: trabalhos relacionados, fundamentação teórica, procedimentos metodológicos, ferramenta, resultados da avaliação e considerações finais.

2 TRABALHOS RELACIONADOS

Nessa seção serão explorados três trabalhos relacionados falando sobre as semelhanças, diferenças ou incentivos para realização desse.

2.1 Um estudo sobre um modelo para comunicar modificações em sistemas web

Braz (2013) realizou um estudo sobre o modelo TiWIM com a finalidade de analisar o comportamento do mesmo quando aplicado para comunicar modificações no Sistema Integrado de Gestão de Atividades Acadêmicas (SIGAA, 2018). Para isso foram envolvidos os papéis de aluno e do *designer* do sistema. Foi proposto que os papéis envolvidos formassem um grupo de discussão com o intuito de propor melhorias para o SIGAA para que se possa analisar a eficiência do modelo.

O SIGAA (2018) é um sistema utilizado pela Universidade Federal do Ceará e nele é possível que os alunos realizem matrícula, criem grupos, visualizem disciplinas, consultem histórico, entre outras funcionalidades.

O estudo ocorreu em duas etapas que serão explicadas a seguir.

- **Elaboração e aplicação do questionário:** Foi elaborado um questionário para colher opinião dos alunos sobre o uso do SIGAA e saber algumas das dificuldades encontradas por eles. Braz (2013) utilizou o *Google Drive* para a criação e distribuição desse questionário. Foram obtidas respostas de 24 alunos divididos entre 10 cursos e 7 semestres.
- **Uso do modelo:** Para essa etapa foram realizadas entrevistas com os participantes a fim de identificar os perfis e lhes foi apresentado o modelo TiWIM. Um teste piloto foi realizado

durante a etapa que acabou por se mostrar importante pois foram identificadas perguntas e ajustes necessários no roteiro para deixar a execução mais fáceis para o participante. Um total de nove participantes envolvidos na execução dessa etapa sendo oito alunos da Universidade Federal do Ceará e um administrador do sistema, into está dentro do que prevê Dumas e Redish (1999) quando relatam que uma avaliação de IHC envolve, no geral, de 5 a 12 participantes. Embora Nielsen (2000) afirme que apenas 5 participantes são necessários para encontrar 85% dos problemas de interface e que esse seria o ponto onde se teria uma boa relação de custo-benefício.

Para Braz (2013), o objetivo do trabalho foi alcançado com sucesso embora tenham sido levantados problemas durante a execução do uso da ferramenta. A primeira dificuldade já encontrada foi a de instalar e deixar a ferramenta funcional. Braz (2013) também fala sobre problemas ao tentar utilizar as opções de copiar e colar.

Também citado pela autora encontra-se o fato de que a ferramenta só estava disponível para a versão 3.0 do Firefox, sendo assim, se fez necessário que a autora corrigisse o problema para funcionar em mais versões do Firefox.

Uma opção nova sugerida por Braz (2013) foi a de salvar as alterações pois, na falta desse opção, estava sendo utilizado a opção "savar como" do próprio navegador.

Ao analisar o trabalho de Braz (2013), podemos observar diversos pontos de melhoria da ferramenta, o que embasa ainda mais a necessidade de uma nova implementação conforme proposto nesse trabalho. A leitura de Braz (2013) se faz importante também na etapa de levantamento de requisitos pois traz novas visões de uso da ferramenta, incluindo sugestões de melhorias.

2.2 Frameworks e bibliotecas JavaScript

Duarte (2015) realizou um estudo e apresentou um conjunto de plataformas *JavaScript*. Para Duarte (2015), uma plataforma *JavaScript* é um *framework* ou uma biblioteca escrita em *JavaScript* e que pode ser utilizada no desenvolvimento de um software também escrito em *JavaScript*. Para isso o autor faz um breve resumo da história do *JavaScript* falando também sobre suas características e evolução.

O autor também explana sobre os padrões de *software*. Um padrão é um documento escrito que descreve uma solução geral para um problema de design que ocorre repetidamente em vários projetos. Os *designers* de *software* adaptam a solução do padrão para o seu projeto

específico (MARTIN, 2002).

Sobre os padrões de arquitetura o autor fala de modo mais detalhado sobre *Model View Controller* (MVC) e *Model-View-ViewModel* (MVVM). O padrão MVC, segundo Duarte (2015), é muito provavelmente o padrão mais utilizado em aplicações *Web*. O autor cita como vantagens desse padrão a facilidade de reaproveitamento de código, a facilidade de adição de recursos, a maior integração da equipe, e a prática de manter o código sempre limpo. Já o padrão MVVM, que é um padrão derivado do MVC e foi desenvolvido pela *Microsoft*, é bastante utilizado nas plataformas .NET e SilverLight, segundo o autor.

Duarte (2015) destaca algumas diferenças entre biblioteca e *framework*. Um dos principais aspectos que diferencia um *framework* de uma biblioteca é o conceito de "inversão de controlo" (DUARTE, 2015). Inversão de controlo ocorre quando, ao desenvolvedor realizar uma chamada de função, a mesma delega algumas funcionalidades a terceiros. Portanto, permite criar uma camada de abstração entre as bibliotecas usadas pelos *frameworks* e o código que vai ser executado (MARTINFOWLER.COM, 2015).

São descritos três cenários de desenvolvimento web para servir como contextos na avaliação dos *frameworks* e bibliotecas escolhidas pelo autor. Os cenários são de *Single Page Application* (SPA), Aplicações isomórficas e *Widgets*. Doze características são levantadas por Duarte (2015) para se compreender melhor o funcionamento e aplicabilidade dos *frameworks*: *Two way binding*; *Routing*; *Templates Engines*; Ferramentas de Teste; Padrão de Arquitetura; Curva de aprendizagem; Tamanho; Comunidade; Suporte do navegador de internet mínimo; Isomórfica; Suporte Comunitário; *Github* e *StackOverflow*.

Por conta de existirem inúmeras plataformas e bibliotecas no mercado, o autor conclui que realizar a escolha de uma em detrimento de outra é uma tarefa difícil e até mesmo subjetiva. Por isso, ele decide realizar um inquérito com desenvolvedores de aplicações web com base nas características e cenários definidos anteriormente. O inquérito foi enviado a 50 desenvolvedores, dos quais 27 responderam, dando um total de 54% da amostragem.

Duarte (2015) chega conclusões de características mais relevantes levando em consideração os cenários. Para o caso do cenário de SPA as principais características são: *Two way binding*; *Routing*; *Template Engine*; Suporte mínimo do navegador de internet e Ferramentas de teste. Para o caso do cenário de aplicações isomórficas: *Two way binding*; *Routing*; *Template Engine*; Suporte mínimo do navegador de internet. Para o caso de *Widgets*: *Routing*; *Template Engine*; Tamanho; Suporte mínimo do navegador de internet e Ferramentas de teste.

O trabalho proposto tem como objetivo realizar a escolha de uma abordagem para implementação de uma plataforma web com base nos requisitos a serem elicitados no decorrer do segundo semestre. Já Duarte (2015) realiza o comparativo para proporcionar mais fácil a decisão.

3 FUNDAMENTAÇÃO TEÓRICA

Nesta seção os conceitos fundamentais para o desenvolvimento desse trabalho são abordados, são eles: DOM, Modelo TiWIM, Engenharia de Software, End-User Development e *Frameworks*.

3.1 DOM

Segundo W3C (2004), o DOM (*Document Object Model*) é uma interface de programação para documentos HTML (*HyperText Markup Language*), XML (*Extensible Markup Language*) e SVG (*Scalable Vector Graphics*) que fornece uma representação estruturada do documento como uma árvore. O DOM fornece uma representação do documento como um grupo estruturado de nós e objetos, com várias propriedades e métodos.

O DOM define métodos de acesso para a árvore, que permitem alterar a estrutura, estilo e conteúdo. A manipulação do DOM é realizada por meio de uma API e a renderização das partes manipuladas são realizadas pelo navegador. Essencialmente, ele conecta páginas WEB a scripts ou linguagens de programação. Apesar do DOM ser acessado via JavaScript, ele não é parte da linguagem, bem como pode ser acessado por outras linguagens.

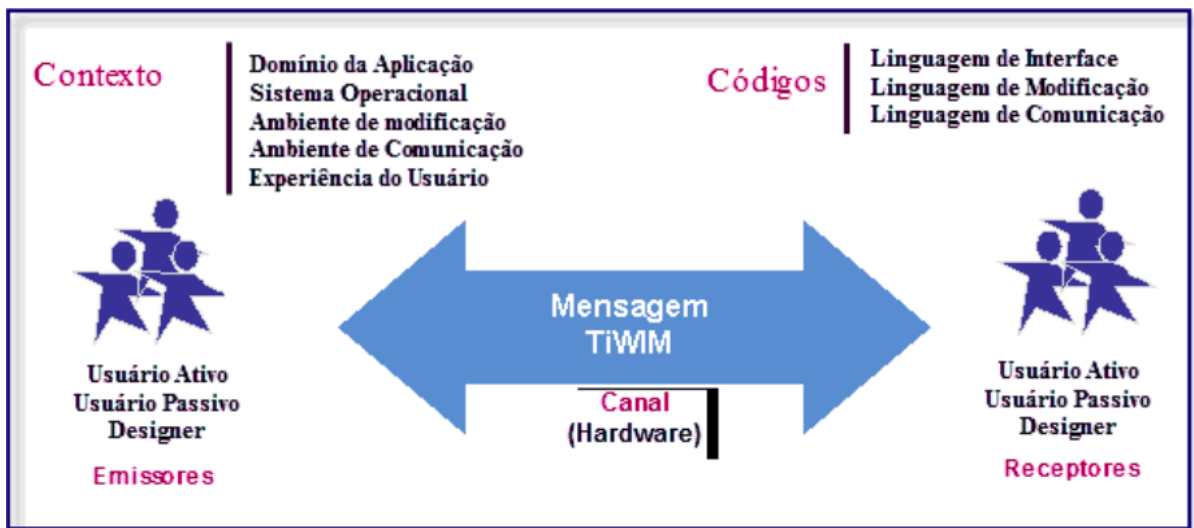
O conceito do DOM foi abordado por fazer parte do trabalho que foi desenvolvido. Em linhas gerais, a biblioteca desenvolvida altera o DOM de uma página HTML conforme a necessidade do usuário de comunicar alterações estruturais.

3.2 Modelo TiWIM

Sampaio (2010) propôs um modelo que, é a base para esse trabalho, visa estruturar a comunicação de grupos em discussões sobre modificações de sistemas de uso comum. Inicialmente foi desenvolvido um *plugin* para o navegador Firefox chamado de *primoTiWIM*, que permite utilizar a metodologia proposta em páginas *web*. O modelo de comunicação proposto por Sampaio (2010) fornece suporte à discussão de propostas de modificação em sistemas entre usuários finais através do uso da linguagem de interface, permitindo assim, que usuários e de-

signers comunicuem seus pontos de vista com relação a uma determinada tarefa ou elemento do sistema conforme mostra a Figura 1.

Figura 1 – Modelo de Comunicação com TiWIM



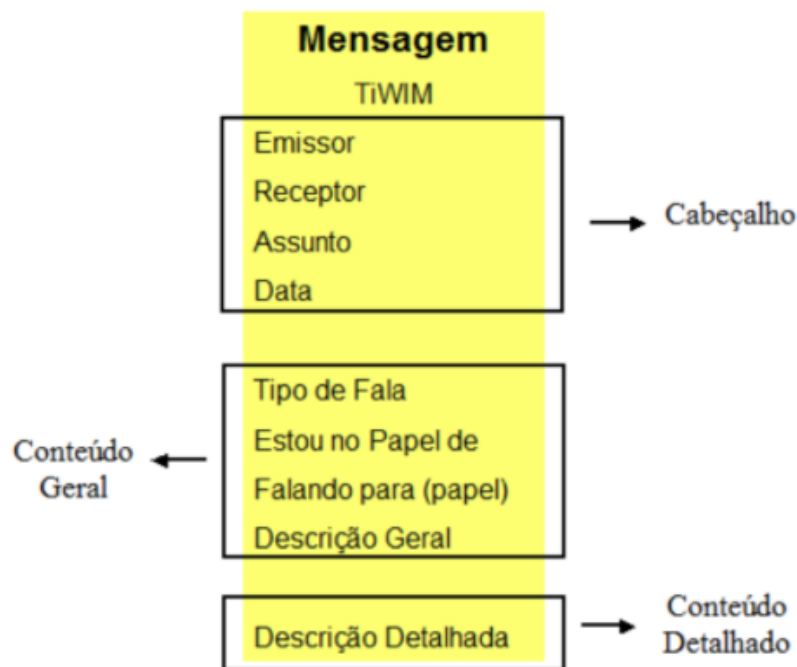
Fonte: Sampaio (2010)

Segundo Sampaio (2010) a proposta do modelo foi desenvolvida com base na teoria da Engenharia Semiótica (SOUZA, 2005), segundo a qual desenvolvedores, usuários e sistema estão envolvidos em um único processo de comunicação.

A Engenharia Semiótica (SOUZA, 2005) é uma abordagem de IHC que busca investigar o processo de comunicação entre os usuários e o *designer* do sistema. Ela reconhece as aplicações computacionais como artefatos que comunicam mensagens do *designer* para os usuários, tratando a interação usuário-sistema como um caso particular de comunicação mediada por sistemas computacionais (BRAZ, 2013).

Sampaio (2010) apresenta como sendo um dos componentes fundamentais do modelo TiWIM a mensagem estruturada que é composta por cabeçalho, conteúdo geral e conteúdo detalhado conforme pode ser visualizado na Figura 2.

Figura 2 – Estrutura da mensagem do modelo



Fonte: Sampaio (2010)

A autora decide utilizar o recurso de correio eletrônico para implementar o modelo e concretiza as partes da mensagem fazendo as definições da seguinte maneira:

- **Cabeçalho:** Parte da mensagem que contém informações de quem está enviando, quem está recebendo, assunto e data.
- **Conteúdo Geral:** Parte da mensagem que contém o tipo de fala, estou no papel de, falando para [nome do papel] e descrição geral da mensagem.
- **Conteúdo Detalhado:** Parte da mensagem que contém informações de quem está enviando, quem está recebendo, assunto e data.

A Tabela 1 realiza um pareamento dos itens definidos pela autora com os recursos oferecidos pelo correio eletrônico.

Tabela 1 – Partes Modelo x Recursos Email

Parte da mensagem	Informação	Recurso do email
Cabeçalho	Emissor	Remetente
	Receptor	Destinatário
	Assunto	Assunto
	Data	Data
Conteúdo Geral	Tipo de fala	Corpo
	Estou no papel de	
	Falando para (papel)	
	Descrição geral	
Conteúdo Detalhado	Descrição detalhada	Anexo

Fonte: Elaborado pelo autor (2018)

Para formação da descrição detalhada foi utilizado o *plugin* primoTiWIM para Firefox que gera uma página HTML com alterações realizadas pelo emissor. Ao inicializar o *plugin* em uma página em execução, é possível realizar um conjunto de ações sobre o conteúdo atual e, assim, gerar uma saída que seria a página final com as alterações realizadas pelo usuário (emissor da mensagem).

As ações disponíveis e seus significados são os seguintes:

- **Selecionar:** seleciona um objeto da interface.
- **Alterar:** modifica o label de um objeto da interface.
- **Anotar:** permite que seja associado um comentário a um objeto da interface.
- **Associar:** relaciona um script do CoScripter a um objeto da interface.
- **Remover:** apaga um objeto da interface.
- **Copiar:** copia um objeto da interface.
- **Colar:** insere na interface o objeto copiado.

Na Figura 3 é possível ver uma cópia da página do Google editada na ferramenta primoTiWIM. A imagem foi criada por Sampaio (2010) e demonstra a página oficial do Google durante o desenvolvimento do trabalho.

Figura 3 – Demonstração da primoTiWIM



Fonte: Sampaio (2010)

Embora a ferramenta possua uma versão disponível, podem ser encontrados pontos de melhorias com base nas dificuldades de uso. Um desses pontos é a instalação do *plugin* que só pode ocorrer em uma quantidade reduzida de versões do navegador Firefox e, ainda assim, a instalação não ocorre de modo simplificado necessitando, por exemplo, a cópia manual de arquivos para a pasta de instalação do Firefox.

Um outro problema que pode ser citado é que a versão inicial da ferramenta foi desenvolvida tendo como base um outro *plugin*, (CUSTOMIZEYOURWEB, 2010), que necessita também estar instalado para que funcione.

Nesse trabalho será realizado um estudo sobre uma possível atualização de requisitos e será feito uma nova implementação para a ferramenta com o intuito de solucionar parte dos problemas já citados.

3.3 Engenharia de Software

Sommerville (2011) conceitua a engenharia de software como uma disciplina de engenharia cujo foco está em todos os aspectos da produção do software, desde os estágios iniciais da especificação do sistema até sua manutenção, quando o sistema já está sendo utilizado.

Um processo de software é um conjunto de atividades, juntamente com restrições de ordenação entre elas, de modo que, se as atividades forem executadas adequadamente e seguindo a ordem de restrições, o resultado desejado é produzido (JALOTE, 2012).

Um outro termo utilizado para referenciar o processo de software é o ciclo de vida de software. O termo foi originalmente inventado para se referir ao modelo em cascata de processo de software (SOMMERVILLE, 2011).

As atividades de um processo de software são agrupadas em fases, como: definição de requisitos, análise, projeto, desenvolvimento, teste e implantação. O que torna um processo de software diferente de outro é a ordem em que as fases ocorrem, o tempo de cada uma no ciclo e as atividades envolvidas

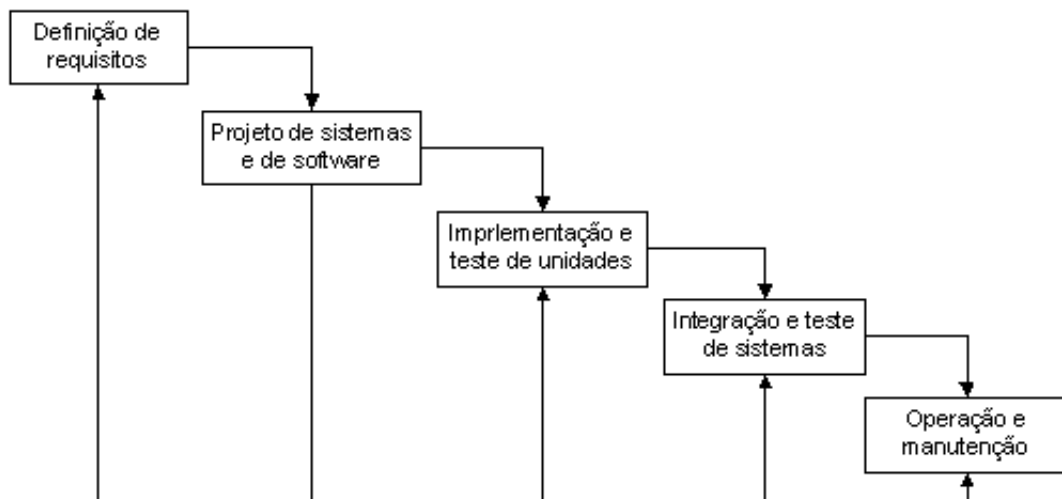
Existem definidos alguns modelos de processos de software como cascata, espiral, incremental e evolutivo. A seguir será realizado uma breve explanação sobre o modelo cascata, afim de servir como base para uma tomada de decisão posterior sobre o modelo a ser utilizado no desenvolvimento proposto nesse trabalho.

O modelo cascata sugere uma abordagem sequencial e sistemática para o desenvolvimento de software, começando com o levantamento de necessidades por parte do cliente, avançando pelas fases de planejamento, modelagem, construção, emprego e culminando no suporte contínuo do software concluído (PRESSMAN, 2011). Também chamado de clássico ou tradicional, esse modelo deve ser utilizado principalmente quando os requisitos estão bem definidos. Projetos para adaptações em sistemas existentes são exemplos ideais para se usar o modelo.

Conforme pode ser visto na Figura 4, as etapas do modelo cascata são: (a) levantamento de requisitos, serviços, restrições e metas do sistema são estabelecidos por meio de consulta aos usuários (SOMMERVILLE, 2011); (b) projeto, envolve identificação e descrição das abstrações fundamentais do sistema de software e seus relacionamentos (SOMMERVILLE, 2011); (c) implementação, etapa onde projeto do software é desenvolvido como um conjunto de programas ou unidades de programa (SOMMERVILLE, 2011); (d) verificação, consiste na integração das unidades individuais do sistema e na realização de testes do sistema como um só programa (completo), para assegurar que os requisitos tenham sido atendidos, e só após esta

etapa, o sistema seja entregue ao cliente (SOMMERVILLE, 2011); (e) manutenção, consiste na manutenção, que envolve a correção de erros que não foram descobertos nas etapas anteriores, com melhora da implementação das unidades do sistema e ampliação de seus serviços em resposta às descobertas de novos requisitos (SOMMERVILLE, 2011).

Figura 4 – Modelo Cascata



Fonte: Sommerville (2004)

Como é possível perceber na Figura 4, o processo flui apenas em um sentido e uma etapa só deve ser iniciada quando a anterior for completamente finalizada. Esse é uma das limitações encontradas nesse modelo, uma outra que vale a pena ser citada é que apenas próximo ao final do processo é que se tem uma versão operacional, o que pode tornar tardio a identificação de um requisito mal especificado ou mal compreendido.

Outros modelos de desenvolvimento deverão ser estudados, mas é importante compreender o conceito processo de desenvolvimento de software uma vez que esse trabalho consiste em realizar a implementação de um ambiente para usuários finais. Durante os procedimentos desse trabalho será necessário adotar um processo e o conhecimento dos prós e contras dos processos é trivial para que o objetivo seja alcançado.

3.4 End-User Development

Cada vez mais se faz importante a participação do usuário final na construção ou continuidade do desenvolvimento de um software, tendo em vista que a atualização de requisitos ou proces-

sos passaram acontecer de forma mais rápida e assim os *softwares* devem acompanhar a essa velocidade de mudança.

Essa necessidade é uma das motivações do *End-User Development* que busca através de atividades, métodos e ferramentas permitir que usuários finais, pessoas que não são profissionais na área de desenvolvimento de software, realizarem a construção dos mesmos.

Rosson, Burnett e Scaffidic (2013) acreditam que com o uso de *End-User Development* (EUD), a sintonização do *software* por meio dos usuários finais fazem com que ele atenda as necessidades de modo mais completo do que seria possível sem o uso da técnica.

Segundo a definição de Lieberman *et al.* (2006), o *End-User Development* ou Desenvolvimento por Usuário Final, trata-se de capacitar os usuários finais e não desenvolvedores de sistema de software a desenvolver os próprios sistemas, independente de suas necessidades.

Um exemplo de aplicação para esse conceito pode ser uma *Wiki*. Uma *Wiki* é um *website* no qual os usuários, de forma colaborativa, modificam o conteúdo e estrutura de páginas diretamente de um navegador. Geralmente usa-se uma linguagem de marcação, com o auxílio de um editor visual, para a produção desse conteúdo.

O modelo *TiWIM* é também um exemplo desse conceito uma vez que ele traz para o usuário final a possibilidade de alterar diretamente o que foi feito pelo *designer* e produzir conteúdo mesmo sem o conhecimento técnico aprofundado no assunto.

Esse conceito explicado deverá ser aplicado também no novo ambiente a ser desenvolvido para a criação da mensagem detalhada.

3.5 Frameworks

Algumas definições para *frameworks* podem ser encontradas na literatura. Para Fayad, Schmidt e Johnson (1999), *framework* é um conjunto de classes que colaboram para realizar uma responsabilidade de um subsistema da aplicação. Já para Alvim (2008), um *framework* é um conjunto de classes que trabalham de forma integrada e extensível, procurando dar bases de soluções reutilizáveis para domínio específicos de problemas.

Para Schmidt *et al.* (2013), define um *framework* como um software parcialmente completo projetado para ser instanciado. O framework define uma arquitetura para uma família de subsistemas e oferece os construtores básicos para criá-los.

A revisão desse conceito é importante para o ponto de decisão sobre a arquitetura em que será desenvolvido o ambiente proposto no trabalho.

4 PROCEDIMENTOS METODOLÓGICOS

Nessa seção será realizado o detalhamento dos passos seguidos durante o projeto e desenvolvimento do ambiente para criação da mensagem detalhada.

Os passos a serem detalhados são os seguintes:

- Levantamento de requisitos;
- Decisões técnicas;
- Implementação do ambiente;
- Avaliação do sistema;

4.1 Levantamento de requisitos

Embora já exista um conceito maduro do modelo de comunicação, foi necessário reanalisar os requisitos atuais e buscar identificar possíveis novos. Para isso foi necessário utilizar de entrevista com o autor original do modelo a fim de um melhor entendimento sobre a situação atual da idealização do modelo. A revisão dos trabalhos de Braz (2013) e Pereira (2014) com ênfase nas dificuldades encontradas ao utilizar o *plugin* original primoTiWIM também fizeram parte dessa etapa.

A Tabela 2 lista os requisitos funcionais levantados para o sistema.

Tabela 2 – Requisitos funcionais

Requisitos funcionais	
Código	Descrição
RF01	O ambiente deverá permitir que o usuário remova um elemento da tela.
RF02	O ambiente deverá permitir que o usuário adicione um comentário sobre um elemento da tela.
RF03	O ambiente deverá permitir que o usuário copie um elemento da tela.
RF04	O ambiente deverá permitir que o usuário cole um elemento na tela.
RF05	O ambiente deverá permitir que o usuário duplique um elemento da tela.
RF06	O ambiente deverá permitir que o usuário adicione um botão na tela.
RF07	O ambiente deverá permitir que o usuário adicione um texto na tela.
RF08	O ambiente deverá permitir que o usuário adicione uma lista na tela.
RF09	O ambiente deverá permitir que o usuário adicione um link na tela.
RF10	O ambiente deverá permitir que o usuário altere o texto de um elemento na tela.
RF11	O ambiente deverá permitir que o usuário visualize a sequência de modificações realizadas.
RF12	O ambiente deverá permitir que o usuário desfaça a última ação realizada.
RF13	O ambiente deverá permitir que o usuário salve o estado de alterações atual.

Fonte: Elaborado pelo autor.

A Tabela 3 lista os requisitos não funcionais levantados para o sistema.

Tabela 3 – Requisitos não funcionais

Requisitos não funcionais	
Código	Descrição
RNF01	O ambiente deverá ser desenvolvido para a plataforma web.
RNF02	O ambiente não deve necessitar de instalação prévia de componentes, com exceção do navegador web.
RNF03	O ambiente deverá ser disponibilizado para mais de um navegador.

Fonte: Elaborado pelo autor.

4.2 Decisões técnicas

Após realizado o levantamento dos requisitos foram realizadas tomadas de decisões técnicas sobre o modelo de implementação e estrutura da ferramenta. Inicialmente foram avaliadas duas possibilidades de implementação para a solução: (1) Um *plugin* implementado em *JavaScript* para um ou mais navegadores a ser ainda decidido com base em uso; (2) Biblioteca implementada em *JavaScript* de modo que seja independente do navegador.

Ao avaliar os requisitos não funcionais, foi decidido pela abordagem de biblioteca (2), pois nesse modelo a flexibilização entre os navegadores se torna mais viável com uma quantidade maior de reuso de código e proporciona uma melhor manutenibilidade do ambiente. Bem como o desenvolvimento de um plugin necessaria de manutenção e atualização conforme as atualizações de navegadores.

Nessa etapa, além da decisão citada anteriormente, deverá ser definido o modelo de exportação do resultado de manipulação da página e o modelo do processo de desenvolvimento a ser adotado.

O modelo de exportação do resultado de manipulação da página consiste em uma estrutura de JSON e o modelo é definido e validado pelo esquema exemplificado no apêndice C.

4.3 Implementação do ambiente

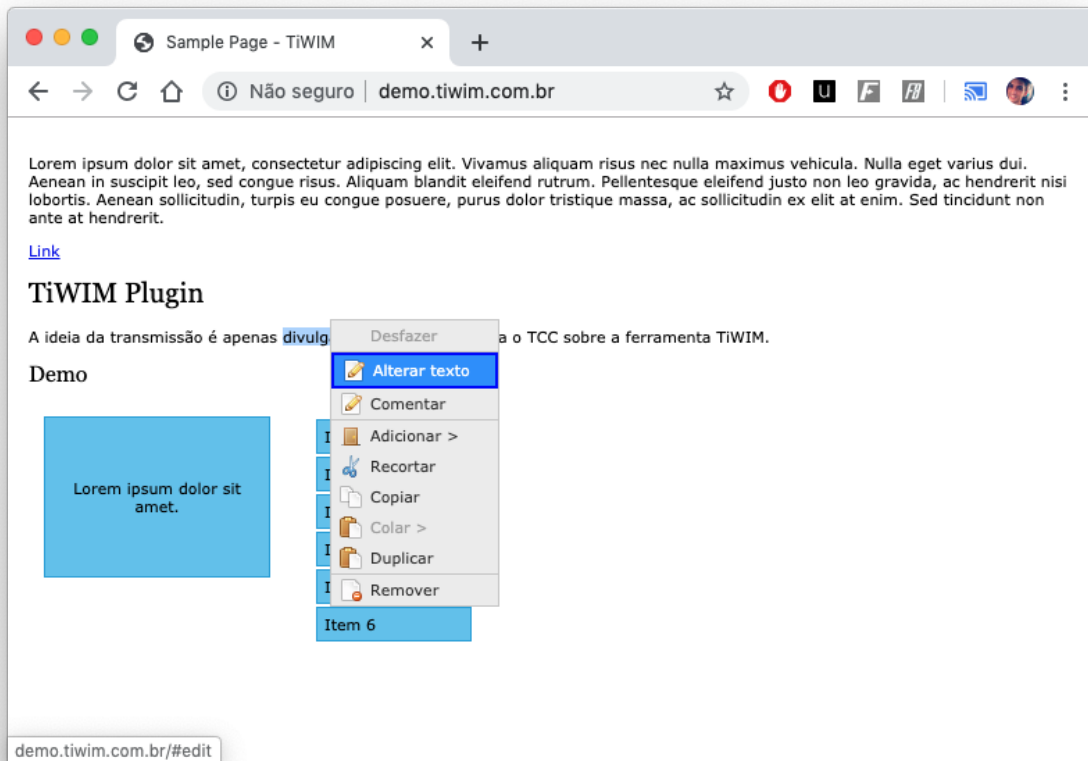
Com o levantamento de requisitos feito e as decisões técnicas tomadas, partimos para a implementação do ambiente. As etapas seguidas para o desenvolvimento consistiram em três fases:

- a) Criar uma prova de conceito com as funcionalidades na estrutura decidida;
- b) Criar um protótipo de alta fidelidade;
- c) Desenvolver a ferramenta com base do protótipo;

Com a aplicação de prova de conceito criada foi possível validar os requisitos funcionais de uma maneira rápida e posteriormente concentrar esforços apenas em melhorias de código e na implementação da interface final da ferramenta.

A figura 5 ilustra o resultado obtido com a prova de conceito. Na imagem é possível observar o comportamento obtido ao clicar com um botão direito do *mouse* onde é exibido um menu com as opções disponíveis de alteração da página.

Figura 5 – Demostraçāo da prova de conceito



Fonte: Elaborado pelo autor.

É possível experimentar a prova de conceito através do link <<http://demo.tiwim.com.br/>>.

4.4 Avaliação do sistema

Com a ferramenta em estado final e funcional, realizamos uma rodada de avaliação com 6 potenciais usuários. O perfil dos usuários eram de 2 profissionais da área comercial geralmente responsáveis por traduzir mudanças solicitadas por clientes para a área de TI, 1 profissional da área do marketing responsável por solicitar *landing pages* a equipe de desenvolvimento, 1 profissional da área do direito e 2 desenvolvedores web.

Com exceção do participante da área do direito, todos os participantes do grupo eram funcionários de uma mesma empresa, então o sistema escolhido para realizar a avaliação foi a página principal do site dessa.

Foi apresentado o termo de consentimento a todos, solicitado que fosse feita a leitura e a confirmação via assinatura, em seguida foi seguido o roteiro da avaliação. Os participantes então

realizaram algumas ações utilizando a ferramenta em seguida preencheram o questionário final, disponível no apêndice B.

Os resultados serão apresentados ao final desse trabalho.

5 FERRAMENTA

Nesta seção serão abordadas as atividades de projeto e desenvolvimento da ferramenta de para criação da mensagem detalhada seguindo o modelo do *TiWIM*.

5.1 Visão geral do desenvolvimento

Nessa seção serão descritas algumas abordagens e decisões feitas durante o processo de desenvolvimento.

5.1.1 Arquitetura

Conforme descrito na etapa de procedimentos, os requisitos funcionais e não funcionais foram avaliados e foi decidido pela abordagem de biblioteca. Nesse modelo seria desenvolvido uma biblioteca *JavaScript* para tornar o uso o mais perto possível de ser independente do navegador.

Com essa abordagem a biblioteca deve ser carregada em conjunto com os outros scripts da página, ou seja, para utilizar a biblioteca será necessário ter posse do código da página web. A ferramenta e a abordagem utilizada não gerou necessidade de que fosse um implementada uma aplicação servidora pois todas as regras e os tratamentos são feitas diretamente no navegador do usuário final e a saída também é processada no navegador gerando o arquivo de layout em formato de *JSON* especificado pelo apêndice C.

5.1.2 Arquivos e classes

Em consequência do modelo de arquitetura decidido, a estruturação do projeto em relação ao código será feito em um arquivo principal denominado *tiwim.js*.

A classe principal da ferramenta é chamada de "Tiwim", ela possui os atributos referentes a configurações de funcionamento, bem como o histórico de modificações e o estado atual da página.

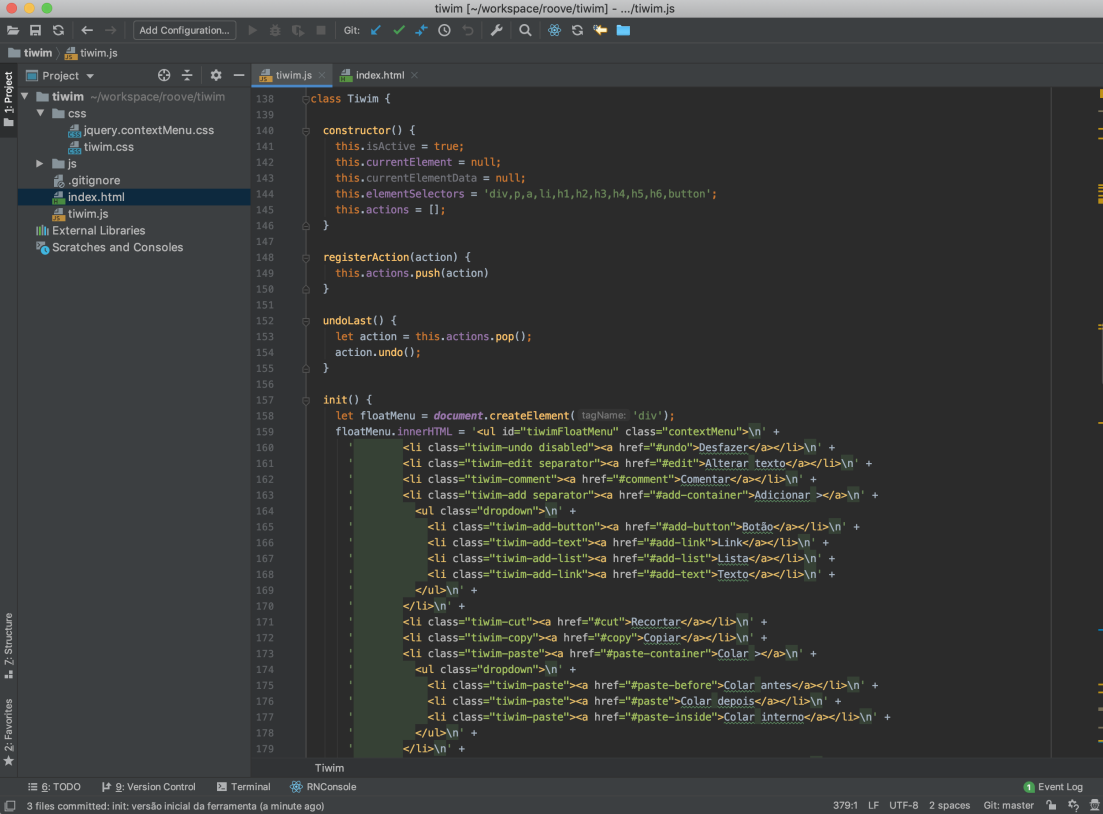
A classe base para registro de ações é chamada de "TiwimAction". Essa funciona como base para que sejam feitos os registros das alterações realizadas na tela. Na classe são salvos os atri-

butos utilizados para identificar a mudança feita afim de facilitar a possibilidade de desfazer a ação e de exportação da ação. As classes que herdam dessa são: "EditTiwimAction", "CutTiwimAction", "PasteTiwimAction", "CreateElementTiwimAction", "DeleteTiwimAction" e "CommentTiwimAction".

Foi criado também a classe "TiwimElement" para servir métodos auxiliares como serializar um elemento *DOM* para uma estrutura *JSON*, realizar um caminho inverso a essa serialização e obter o *xpath* de um elemento *DOM*, por exemplo.

A figura 6 exibe parte do código pertencente a classe base "Tiwim". Durante o desenvolvimento foi utilizado a *IDE WebStorm*.

Figura 6 – Trecho de código da ferramenta



```

tiwim [~/workspace/roove/tiwim] - .../tiwim.js
Project tiwim ~/workspace/roove/tiwim
  -> tiwim.js
  -> index.html
  -> tiwim.css
  -> jquery.contextMenu.css
  -> tiwim.js
  -> tiwim.css
  -> githignore
  -> index.html
  -> External Libraries
  -> Scratches and Consoles
  -> Favorites
  -> Structure

1: Project 2: Favorites
  -> Z: Structure

138   class Tiwim {
139     constructor() {
140       this.isActive = true;
141       this.currentElement = null;
142       this.currentElementData = null;
143       this.elementSelectors = 'div,p,a,li,h1,h2,h3,h4,h5,h6,button';
144       this.actions = [];
145     }
146
147     registerAction(action) {
148       this.actions.push(action);
149     }
150
151     undoLast() {
152       let action = this.actions.pop();
153       action.undo();
154     }
155
156     init() {
157       let floatMenu = document.createElement( tagName: 'div' );
158       floatMenu.innerHTML = '<ul id="tiwimFloatMenu" class="contextMenu">\n' +
159         '<li class="tiwim-undo disabled"><a href="#undo">Desfazer</a></li>\n' +
160         '<li class="tiwim-edit separador"><a href="#edit">Alterar texto</a></li>\n' +
161         '<li class="tiwim-comment"><a href="#comment">Comentar</a></li>\n' +
162         '<li class="tiwim-add separador"><a href="#">Adicionar</a></li>\n' +
163         '<ul class="dropdown">\n' +
164           '<li class="tiwim-add-button"><a href="#">Botão</a></li>\n' +
165           '<li class="tiwim-add-text"><a href="#">Link</a></li>\n' +
166           '<li class="tiwim-add-list"><a href="#">Lista</a></li>\n' +
167           '<li class="tiwim-add-link"><a href="#">Texto</a></li>\n' +
168           '</ul>\n' +
169         '</li>\n' +
170         '<li class="tiwim-cut"><a href="#">Recortar</a></li>\n' +
171         '<li class="tiwim-copy"><a href="#">Copiar</a></li>\n' +
172         '<li class="tiwim-paste"><a href="#">Colar <span>conta...</span></a></li>\n' +
173         '<ul class="dropdown">\n' +
174           '<li class="tiwim-paste"><a href="#">Colar antes</a></li>\n' +
175           '<li class="tiwim-paste"><a href="#">Colar depois</a></li>\n' +
176           '<li class="tiwim-paste"><a href="#">Colar interno</a></li>\n' +
177           '</ul>\n' +
178         '</li>\n' +
179       '</ul>\n' +
}

```

Fonte: Elaborado pelo autor.

5.2 Apresentação da ferramenta

Nessa seção serão demonstradas algumas imagens e descrições de funcionamento da ferramenta.

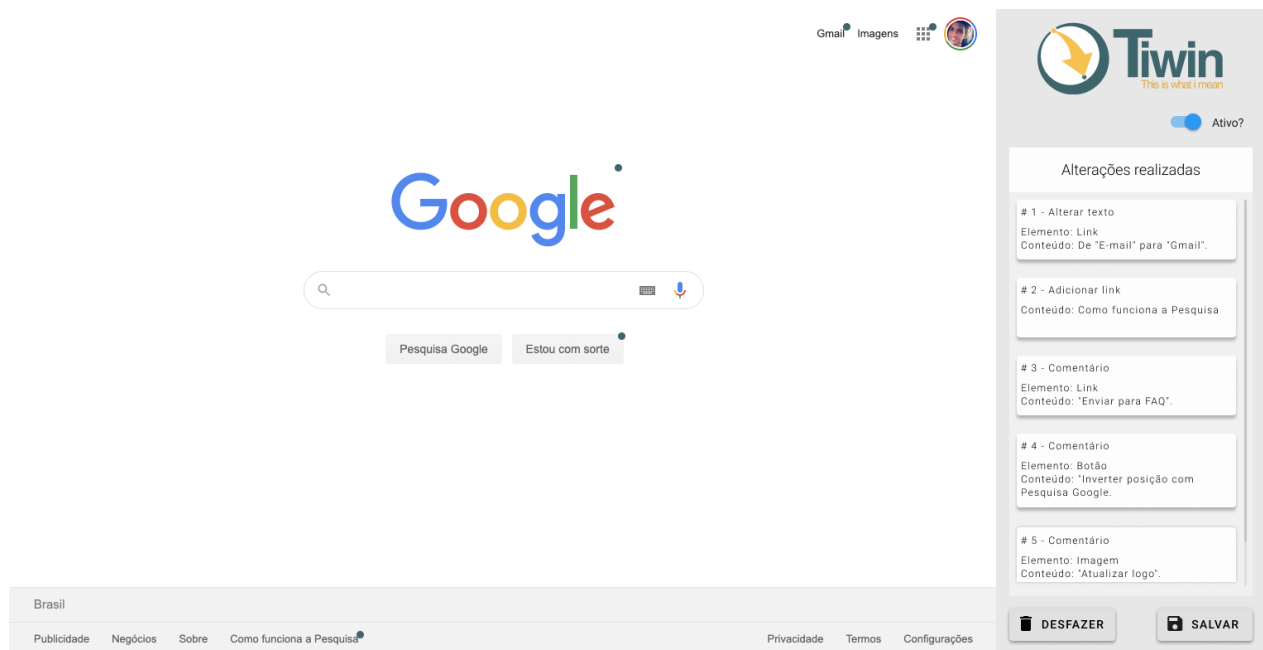
5.2.1 Protótipo

Conforme mencionado na seção de procedimentos, foi criado um protótipo de alta fidedignidade com um intuito de identificar previamente as disposições mais adequadas das ações e informações na versão final.

Uma vez que os requisitos estavam devidamente levantados, a arquitetura já estava bem definida e prova de conceito já estava desenvolvida foi possível ter uma visão bem abrangente da forma final que gostaríamos de dar a ferramenta final. A criação do protótipo auxiliou na resolução de algumas dúvidas e tomadas de decisões finais.

A figura 7 representa a versão final do protótipo para o layout da ferramenta.

Figura 7 – Protótipo para a ferramenta



Fonte: Elaborado pelo autor.

Ao habilitar a biblioteca no site, uma barra lateral deverá ser exibida para auxiliar as ações do usuário e mostrar o resumo das ações já realizadas. A figura 7 trás como exemplo uma lista com algumas modificações registradas. Cada item da listagem informa qual a ação realizada, a que tipo de elemento se refere a ação, quando cabível ao contexto, e o conteúdo da ação. Tendo como exemplo o caso da ação de "Alterar texto" temos que a ação foi "Alterar texto", o elemento foi um *link* e o conteúdo da alteração informa o conteúdo original e o conteúdo final. Na figura 8 é possível visualizar em detalhe o exemplo de um item da lista de alterações realizadas.

Figura 8 – Exemplo de item da lista de alterações

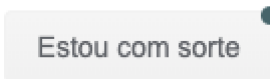


1 - Alterar texto
Elemento: Link
Conteúdo: De "E-mail" para "Gmail".

Fonte: Elaborado pelo autor.

Os elementos já alterados na tela devem receber um *badge* em tom de azul para destacar que existe alguma consideração feita sobre esse elemento, conforme é possível observar na figura 9 a seguir.

Figura 9 – Exemplo de elemento alterado

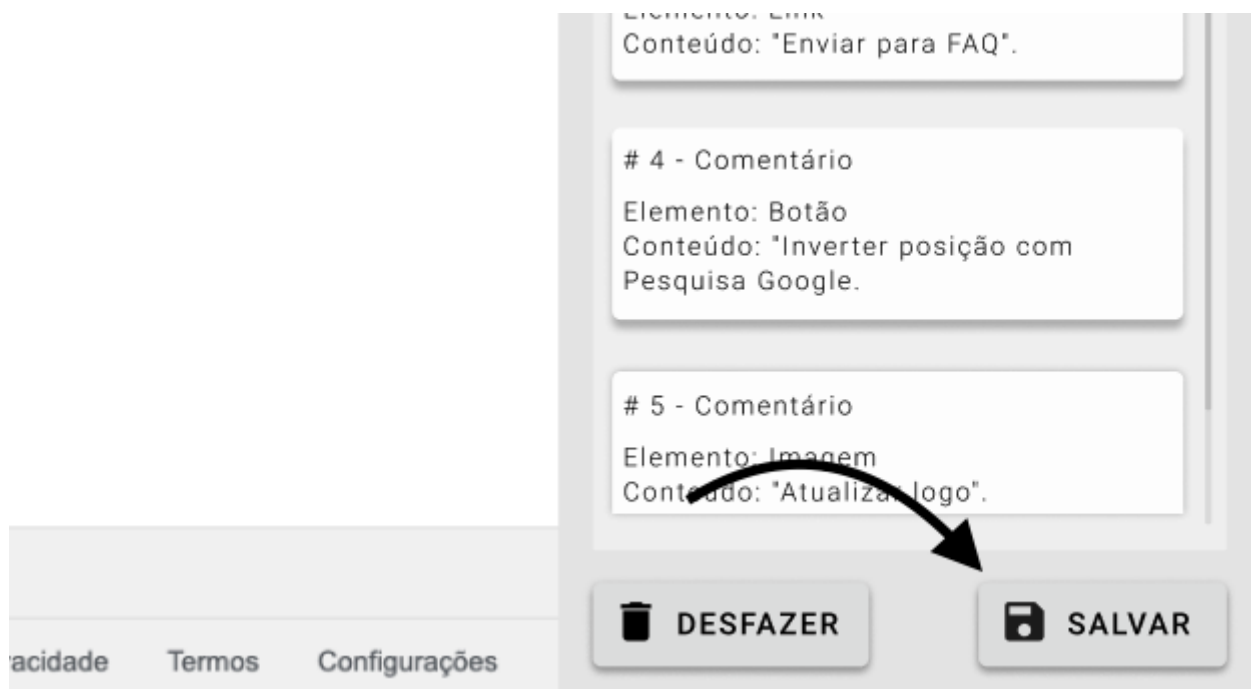


Estou com sorte

Fonte: Elaborado pelo autor.

A opção "SALVAR" dispara o processo de exportação do *layout* conforme especificado no apêndice C. O processo deverá iniciar o download de um arquivo a ser entregue para a equipe responsável pelo desenvolvimento do site. O botão "SALVAR" está situado na região inferior do painel da ferramenta, conforme exibido na figura 10.

Figura 10 – Localização do botão salvar



Fonte: Elaborado pelo autor.

5.2.2 Versão final

Em seguida as decisões tomadas com a ajuda visual do protótipo, a versão final foi desenvolvida. Os testes durante o desenvolvimento foram realizados utilizando, principalmente, os navegadores *Google Chrome* nas versão 78 e o *Safari* na versão 13.

A versão final da ferramenta desenvolvida está disponível para teste prático no seguinte link <<http://app.tiwim.com.br/>>. Os códigos da versão final desenvolvida durante o desenvolvimento desse trabalho estão disponíveis em <<https://github.com/luissiqueira/tiwim-web>> e no apêndice D.

O funcionamento da ferramenta baseia-se na alteração do *DOM* das páginas *HTML*, para isso todo o acesso e manipulação é feito com *JavaScript*. As estratégias de manipulação e regras podem ser vistas no arquivo "*tiwim.js*".

Ao realizar o desenvolvimento da versão final, alguns elementos de tela não foram reproduzidos fielmente ao protótipo em relação ao visual, porém as funcionalidades inicialmente planejadas foram executadas.

A figura 11 ilustra o resultado final da barra de tarefas. No exemplo em questão, existe uma instrução inicial para que o usuário realize os primeiros passos na ferramenta.

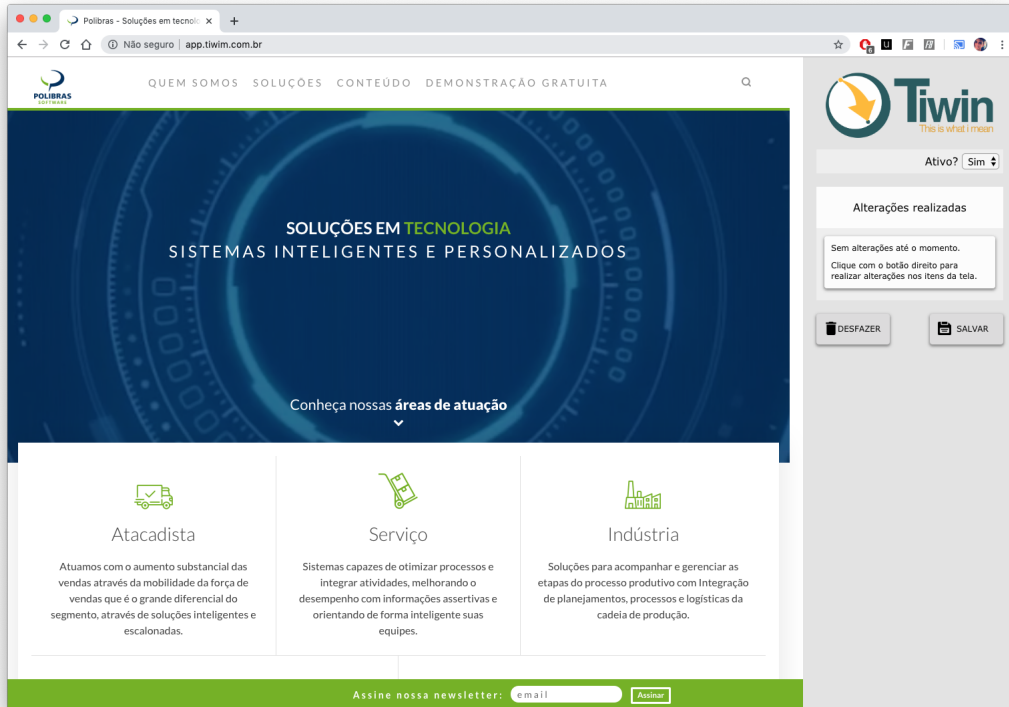
Figura 11 – Versão final da barra de tarefas.



Fonte: Elaborado pelo autor.

A figura 12 representa a execução do plugin em uma página web onde podem ser feitas as mudanças.

Figura 12 – Plugin em execução



Fonte: Elaborado pelo autor.

Ao utilizar o mouse sobre os elementos disponíveis a alterações, é feito o feedback visual através de bordas conforme ilustrado na figura 13.

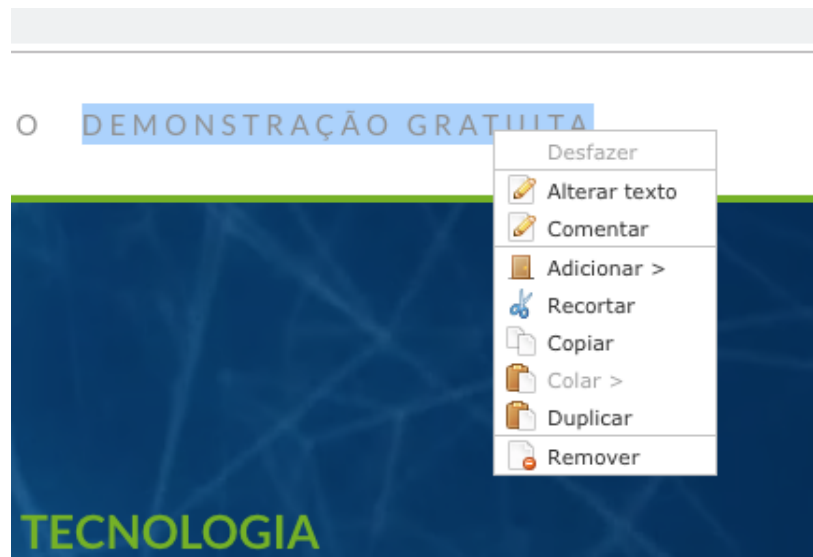
Figura 13 – Elemento em destaque ao passar com o mouse



Fonte: Elaborado pelo autor.

Ao disparar o clique com o botão direito mouse sobre os elementos disponíveis , é iniciado o menu de possibilidades de interações disponíveis para o usuário conforme ilustrado na figura 14.

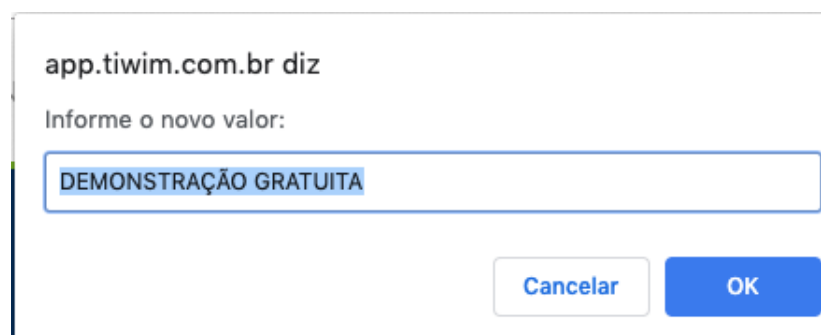
Figura 14 – Opções disponíveis para interação



Fonte: Elaborado pelo autor.

No exemplo ilustrado pela figura 15, foi selecionado a opção "Alterar texto". Nesse caso é iniciado um *prompt* solicitando que o usuário insira o novo valor desejado já iniciando com o atual.

Figura 15 – Alteração de texto



Fonte: Elaborado pelo autor.

Após realizar cada alteração, a listagem disponível na barra da ferramenta é atualizada para sinalizar o progresso das modificações para o usuário. Como resultado do exemplo dado anteriormente, a figura 16 ilustra o caso.

Figura 16 – Lista com alterações



Fonte: Elaborado pelo autor.

Os itens que possuem alguma interação do usuário recebem uma sinalização de destaque para facilitar a identificação dos já alterados, a figura 16 representa essa identificação.

Figura 17 – Elemento alterado

SIMULAÇÃO GRATUITA

Fonte: Elaborado pelo autor.

Entre as alterações, o usuário pode desfazer a última realizada utilizando o botão "DESFAZER" disponível na barra de ferramentas ou no menu de ações. Após finalizadas as alterações, o usuário pode utilizar a opção "SALVAR", disponível na barra de ferramentas para que seja

feito o *download* das modificações e, posteriormente, enviar para equipe responsável pela alterações.

Após selecionada a opção de salvar será feito o download de um arquivo contendo um *JSON* com as alterações. Existe um trabalho em andamento para a criação de um fórum de discussões, também seguindo o modelo *TiWIM*, que visa realizar a importação desses arquivos e exibir as alterações permitindo que seja concretizado as outras partes da estrutura da mensagem do modelo através de mensagens online.

5.2.3 Código-fonte e Instalação

Um conjunto de arquivos e estrutura de pastas foram definidas para que a ferramenta possa ser executada. Adicionar a ferramenta a uma página web, atualmente, exige que se tenha acesso aos códigos da página que será modificada. Será descrito, a seguir, os passos necessários para adicionar a ferramenta a uma nova página.

O primeiro passo é criar os arquivos descritos no apêndice D seguindo a nomenclatura e a estrutura de pastas. Os códigos podem, também ser obtidos através do seguinte repositório no github <<https://github.com/luiissiqueira/tiwim-web>>.

Após realizar a criação dos arquivos, o trecho de código exibido disponível no Algoritmo 1 deve ser adicionado imediatamente antes do fim da tag *<head>* na página.

Algoritmo 1 – Inicialização da ferramenta

```

1 <script src="js/jquery-1.4.2.min.js" type="text/javascript"></script>
2 <script>var $j = jQuery.noConflict(true);</script>
3
4 <script src="js/jquery.contextMenu.js" type="text/javascript"></script>
5 <link href="css/jquery.contextMenu.css" rel="stylesheet" type="text/css"/>
6
7 <script src="tiwim.js" type="text/javascript"></script>
8 <script type="text/javascript">
9   $j(document).ready(function () {
10     document.tiwim = new Tiwim();
11     document.tiwim.init();
12   });
13 </script>

```

Fonte: Elaborado pelo autor.

Após realizados esses passos, ao carregar a página o plugin será iniciado e a barra de ferramentas será exibida.

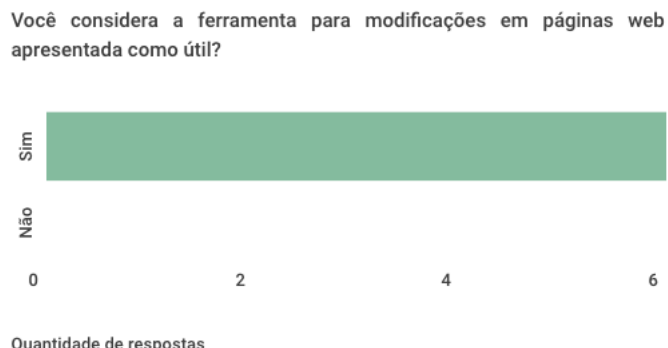
6 RESULTADOS DA AVALIAÇÃO

Após a utilização da ferramenta pelos participantes da avaliação e da aplicação do questionário, os resultados foram analisados com a finalidade de verificar se a implementação da ferramenta foi alinhada com o objetivo geral proposto no modelo de comunicação do *TiWIM*. A avaliação foi feita em *notebooks*, uma vez que inicialmente o ambiente não foi projeto para funcionar em *tablets* ou *smartphones*. Os equipamentos eram os de uso cotidiano dos usuários. Cinco dos participantes realizaram a experiência utilizando o navegador *Google Chrome* e o outro participante utilizou o *Safari*. Nenhum dos participantes havia tido contato anterior com a ferramenta.

As respostas das questões objetivas são apresentadas a seguir:

Questão 1. Você considera a ferramenta para modificações em páginas web apresentada como útil?

Figura 18 – Respostas da Questão 1



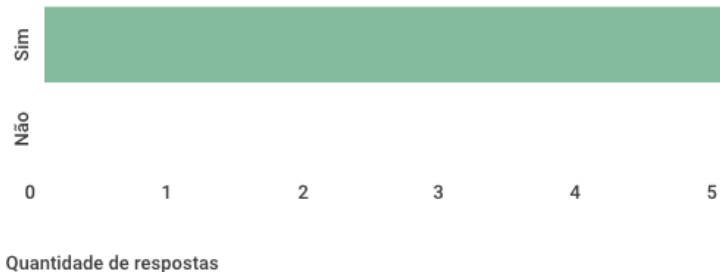
Fonte: Elaborado pelo autor.

Como se pode observar na figura 18 todos os participantes responderam que consideraram a ferramenta como útil.

Questão 2. Você prefere a utilização da ferramenta para modificações em páginas web apresentada em relação ao modelo atual de comunicação em mudanças de páginas adotada na empresa?

Figura 19 – Respostas da Questão 2

Você prefere a utilização da ferramenta para modificações em páginas web apresentada em relação ao modelo atual de comunicação em mudanças de páginas adotada na empresa?



Fonte: Elaborado pelo autor.

Como se pode observar na figura 19, houveram apenas cinco votos. O fato se deu pelo motivo que um dos participantes preferiu não opinar por não fazer parte de nenhuma empresa, os outros participantes responderam que preferem o uso dessa ferramenta ao processo atual de comunicação sobre mudanças de páginas na empresa.

Questão 3. A ferramenta de modificações em páginas web apresentada demonstrou ser completa em relação as possibilidades de comunicar alterações?

Figura 20 – Respostas da Questão 3

A ferramenta de modificações em páginas web apresentada demostrou ser completa em relação as possibilidades de comunicar alterações?



Fonte: Elaborado pelo autor.

Como se pode observar na figura 20, quatro participantes consideraram a ferramenta completa

e dois participantes consideraram como incompleta em relação as possibilidades de comunicar as alterações.

Ao indagar sobre quais os complementos poderiam ser feitos, os dois participantes citaram o exemplo de estilizar um botão e aumentar a fonte do texto.

Questão 4. Você considera a ferramenta para modificações em páginas web apresentada como fácil de usar?

Figura 21 – Respostas da Questão 4

Você considera a ferramenta para modificações em páginas web apresentada como fácil de usar?



Fonte: Elaborado pelo autor.

Como se pode observar na figura 21 todos os participantes consideraram a ferramenta fácil de utilizar.

Como última pergunta do questionário foi solicitado que os participantes indicassem dificuldades que poderiam ter tidos ao utilizar a ferramenta. Um dos participantes citou o fato de não conseguir mover o elemento adicionado na tela. Foi necessário remover e adicionar novamente em outra posição. Um segundo participante citou que, de início, ele não tinha ideias de quais os elementos poderiam ou não ser alterados, mas que ao passar o *mouse* e ter o *feedback* em alguns dos elementos ficou fácil de identificar. Os demais participantes preferiram não opinar sobre a questão.

Mesmo com alguns pontos sendo levados em questão, foi possível observar que a ferramenta possui um curva rápida de aprendizado, o pode ser considerado um ponto positivo.

Após o processo previsto inicialmente, ao citar a possibilidade de estilização dos elementos da tela aos participantes do experimento, todos afirmaram que seria um grande ponto positivo para a ferramenta se fosse possível adicionar.

7 CONSIDERAÇÕES FINAIS

Durante a etapa de validação, foi realizada uma rodada de uso assistido da ferramenta e a aplicação de um questionário com um grupo de participantes, onde a ferramenta foi avaliada pelos mesmos como útil, fácil de usar e relataram a preferência em relação a ferramenta atual utilizada na empresa.

Entre as limitações desse trabalho, pode-se citar que a avaliação foi feita com funcionários de apenas uma empresa, trazendo assim uma visão mais restrita do que pode ser a realidade em outros cenários. Não foi possível uma maior amostragem de empresas entre os participantes, por conta de uma limitação de tempo. Apesar da restrição citada, os resultados obtidos foram considerados positivos, além de ter se criado uma ferramenta pronta para evolução mas já com um escopo resolvido e funcional.

Como trabalhos futuros, seria interessante adicionar a opção de alterações de estilos nos componentes da página trazendo assim a possibilidade de ter ainda mais fidelidade ao que o usuário realmente deseja na tela. Um outro ponto interessante a ser adicionado na ferramenta seria a possibilidade de que as alterações fossem feitas online e de forma colaborativa, trazendo ainda mais dinamismo a ferramenta.

Como também um trabalho futuro, poderia ser considerado avaliar a ferramenta em um contexto real de discussão sobre uma modificação de uma página web. A ideia dessa nova avaliação seria de trabalhar um cenário real e entender mais a fundo as contribuições e melhorias que a ferramenta necessita.

O processo criativo é um trabalho árduo e sem fim. As chances de visualizar uma ideia como um todo sem a ajuda de um ferramental não são altas, por isso existem diversas ferramentas de apoio ao processo criativo nos mais diversos setores. Com o passar do tempo a pulverização da criação de sites trouxe também a sensação à diversas pessoas de que elas são especialistas ou suficientemente detentoras do conhecimento necessário para realizar tal prática, o que nem sempre é verdade.

Este trabalho se propôs, inicialmente, a criar uma ferramenta capaz de tornar possível que uma ideia fosse transmitida de um usuário, ou papel, a outro dentro ou não de uma mesma organização. Durante o desenvolvimento da ferramenta, seus testes e validações percebi que a ferramenta auxilia também encurtando uma etapa no processo de desenvolvimento de *websites*. Em experiências já presenciadas por mim durante o exercício da profissão, não foi incomum ver casos onde o cliente/usuário solicita uma mudança, o responsável por algumas vezes en-

tende e consegue reproduzir perfeitamente o que foi solicitado, mas ao receber o resultado o cliente/usuário não fica contente e acaba solicitando novas alterações, algumas vezes, sobre os mesmos pontos. A ferramenta ajuda nessa ponto uma vez que, de imediato, quem está solicitando já pode perceber algo muito próximo do resultado final e já aplicar ali mesmo o senso crítico para continuação ou não por esse caminho.

REFERÊNCIAS

- ALVIM, P. TIRANDO O MÁXIMO DO JAVA EE 5 OPEN-SOURCE com jCompanyc Developer Suite.** [S.I.]: Power Logic Publishing, 2008.
- BRAZ, L. de M. Um estudo sobre um modelo para comunicar modificações em sistemas web.** 2013. 52 f. Trabalho de conclusão de curso - Universidade Federal do Ceará, Campus de Quixadá.
- CUSTOMIZEYOURWEB.** 2010. Disponível em: <http://www.customize-your-web.de/w/index.php/>. Acesso em: 09 maio 2018.
- DUARTE, N. F. B. Frameworks e Bibliotecas Javascript.** Tese (Doutorado), 2015.
- DUMAS, J. S.; REDISH, J. A practical guide to usability testing.** [S.I.]: Intellect books, 1999.
- FAYAD, M. E.; SCHMIDT, D. C.; JOHNSON, R. E. Building application frameworks: object-oriented foundations of framework design.** [S.I.]: John Wiley & Sons, Inc., 1999.
- JALOTE, P. An integrated approach to software engineering.** [S.I.]: Springer Science & Business Media, 2012.
- LESHED, G.; HABER, E. M.; MATTHEWS, T.; LAU, T. Coscripter: automating & sharing how-to knowledge in the enterprise. In: ACM. **Proceedings of the SIGCHI Conference on Human Factors in Computing Systems.** [S.I.], 2008. p. 1719–1728.**
- LIEBERMAN, H.; PATERNÒ, F.; KLANN, M.; WULF, V. End-user development: An emerging paradigm. In: **End user development.** [S.I.]: Springer, 2006. p. 1–8.**
- MARTIN, R. C. Agile Software Development, Principles, Patterns, and Practices.** [S.I.]: Prentice-Hall, Inc, 2002.
- MARTINFOWLER.COM. bliki: InversionOfControl.** 2015. Disponível em: <http://martinfowler.com/bliki/InversionOfControl.html>. Acesso em: 21 out 2015.
- NIELSEN, J.** 2000. Disponível em: <https://www.nngroup.com/articles/why-you-only-need-to-test-with-5-users/>. Acesso em: 09 maio 2018.
- PEREIRA, F. R. da S. Uso do modelo TiWIM para eliciar requisitos de software.** 2014. 71 f. Trabalho de conclusão de curso - Universidade Federal do Ceará, Campus de Quixadá.
- PRESSMAN, R. S. Engenharia de software: Uma abordagem profissional.** [S.I.]: Bookman, 2011.
- ROSSON, M.; BURNETT, M.; SCAFFIDIC, C. End-user development. **The Encyclopedia of Human-Computer Interaction. The Interaction Design Foundation**, Springer, p. 39, 2013.**
- SAMPAIO, A. L. Um Modelo para Descrever e Negociar Modificações em Sistemas Web.** 166 f. Tese (Doutorado) — Departamento de Informática, Pontifícia Universidade Católica do Rio de Janeiro (PUC-RJ), 2010.

- SCHMIDT, D. C.; STAL, M.; ROHNERT, H.; BUSCHMANN, F. **Pattern-Oriented Software Architecture, Patterns for Concurrent and Networked Objects.** [S.l.]: John Wiley & Sons, 2013. v. 2.
- SIGAA. 2018. Disponível em: <https://si3.ufc.br/sigaa/>. Acesso em: 09 maio 2018.
- SOMMERVILLE, I. **Engenharia de software 6 ed.** [S.l.]: Pearson Prentice Hall, 2004.
- SOMMERVILLE, I. **Engenharia de software 9 ed.** [S.l.]: Pearson Prentice Hall, 2011.
- SOUZA, C. S. D. **The semiotic engineering of human-computer interaction.** [S.l.]: MIT press, 2005.
- W3C. Especificação principal do nível 3 do modelo de objeto de documento (dom). World Wide Web Consortium, 2004.

APÊNDICE A - TERMO DE CONSENTIMENTO

Esse termo de consentimento foi elaborado pelo aluno Luis Siqueira para deixar claro o entendimento do participante ao avaliar a ferramenta de criação da mensagem detalhada segundo o modelo *TiWIM*, aplicado no estudo de caso de seu Trabalho de Conclusão de Curso submetido à Coordenação do Curso Bacharelado em Sistemas de Informação da Universidade Federal do Ceará.

TERMO DE CONSENTIMENTO

Pesquisa: MODELO TIWIM: DESENVOLVIMENTO DA MENSAGEM DETALHADA

Orientadora: Dra. Andréia Libório Sampaio

Pesquisador: Luis Siqueira de Andrade Júnior

- **Natureza da pesquisa:** o(a) Sr. (Sra.) está sendo convidado (a) a participar desta pesquisa, que tem como finalidade coletar dados sobre as experiências de uso de uma ferramenta para modificações em páginas *web*.
- **Dados coletados:** nesta etapa, solicitaremos que o(a) Sr. (Sra.) interaja com uma ferramenta *web* e realize algumas tarefas simples de modificações em uma página. Ao fim das tarefas, você será convidado a responder também algumas perguntas sobre a sua experiência.
- **Envolvimento na pesquisa:** ao participar deste estudo o(a) Sr. (Sra.) permitirá que os pesquisadores responsáveis tenham a liberdade de usar os resultados das análises dos dados para fins acadêmicos. O(A) Sr. (Sra.) tem liberdade de se recusar a participar e ainda se recusar a continuar participando em qualquer fase da pesquisa, sem qualquer prejuízo para o (a) Sr. (Sra.). Sempre que quiser, poderá pedir mais informações sobre a pesquisa através do contato por e-mail ou telefone dos pesquisadores do projeto.
- **Confidencialidade:** todas as informações coletadas neste estudo são estritamente confidenciais. Somente o pesquisador e a orientadora terão conhecimento dos dados.
- **Benefícios:** ao participar desta pesquisa o(a) Sr. (Sra.) não terá nenhum benefício direto. Entretanto, esperamos que este estudo traga informações importantes sobre o processo de comunicação de mudanças em páginas *web*, de forma que as melhorias possam refletir posteriormente no seu dia-a-dia.
- **Pagamento:** o(a) Sr. (Sra.) não terá nenhum tipo de despesa para participar desta pesquisa, bem como nada será pago por sua participação

Após estes esclarecimentos, solicitamos o seu consentimento de forma livre para participar desta pesquisa. Portanto preencha, por favor, os itens que se seguem.

Obs: Não assine esse termo se ainda tiver dúvida a respeito.

Tendo em vista os itens acima apresentados, eu, de forma livre e esclarecida, manifesto meu consentimento em participar da pesquisa. Declaro que recebi cópia deste termo de consentimento, e autorizo a realização da pesquisa e a divulgação dos dados obtidos neste estudo.

Nome do Participante da Pesquisa

Assinatura do Participante da Pesquisa

Pesquisador: Luis Siqueira de Andrade Junior

APÊNDICE B - QUESTIONÁRIO

Esse questionário foi elaborado pelo aluno Luis Siqueira para avaliar a ferramenta de criação da mensagem detalhada segundo o modelo *TiWIM*, aplicado no estudo de caso de seu Trabalho de Conclusão de Curso submetido à Coordenação do Curso Bacharelado em Sistemas de Informação da Universidade Federal do Ceará.

1. Você considera a ferramenta para modificações em páginas web apresentada como útil?

- () Sim
() Não

2. Você prefere a utilização da ferramenta para modificações em páginas web apresentada em relação ao modelo atual de comunicação em mudanças de páginas adotada na empresa?

- () Sim
() Não

3. A ferramenta de modificações em páginas web apresentada demostrou ser completa em relação as possibilidades de comunicar alterações?

- () Sim
() Não

4. Você considera a ferramenta para modificações em páginas web apresentada como fácil de usar?

- () Sim
() Não

5. Descreva, se achar necessário, quais as dificuldades enfrentadas durante o uso da ferramenta apresentada.

APÊNDICE C - ESQUEMA JSON PARA EXPORTAÇÃO

Esse esquema *JSON* foi elaborado pelo aluno Luis Siqueira durante o desenvolvimento deste trabalho para validar a exportação das alterações feitas nas páginas web de modo que possa ser importado por uma plataforma terceira.

```

1  {
2      "definitions": {},
3      "$schema": "http://json-schema.org/draft-07/schema#",
4      "$id": "http://example.com/root.json",
5      "type": "object",
6      "title": "The Root Schema",
7      "required": [
8          "actions"
9      ],
10     "properties": {
11         "actions": {
12             "$id": "#/properties/actions",
13             "type": "array",
14             "title": "The Actions Schema",
15             "items": {
16                 "$id": "#/properties/actions/items",
17                 "type": "object",
18                 "title": "The Items Schema",
19                 "required": [
20                     "action",
21                     "el_data",
22                     "beforeState",
23                     "newState",
24                     "extra",
25                     "extra_data",
26                     "xpath_element",

```

```

27     "xpath_parent"
28   ] ,
29   "properties": {
30     "action": {
31       "$id": "#/properties/actions/items/properties/
32         action",
33       "type": "string",
34       "title": "The Action Schema",
35       "default": "",
36       "examples": [
37         "delete", "edit", "cut", "paste", "create-element",
38         "comment"
39       ],
40       "pattern": "^(.*)$"
41     },
42     "el_data": {
43       "$id": "#/properties/actions/items/properties/
44         el_data",
45       "type": "object",
46       "title": "The El_data Schema",
47       "required": [
48         "tagName",
49         "outerHTML",
50         "innerHTML",
51         "attributes"
52       ],
53       "properties": {
54         "tagName": {
55           "$id": "#/properties/actions/items/properties/
56             /el_data/properties/tagName",
57           "type": "string",
58           "title": "The Tagname Schema",
59         }
60       }
61     }
62   }
63 }
```

```

55         "default": "",
56         "examples": [
57             "LI"
58         ],
59         "pattern": "^(.*)$"
60     },
61     "outerHTML": {
62         "$id": "#/properties/actions/items/properties
63             /el_data/properties/outerHTML",
64         "type": "string",
65         "title": "The Outerhtml Schema",
66         "default": "",
67         "examples": [
68             "<li class=\"\">Item 1</li>"
69         ],
70         "pattern": "^(.*)$"
71     },
72     "innerHTML": {
73         "$id": "#/properties/actions/items/properties
74             /el_data/properties/innerHTML",
75         "type": "string",
76         "title": "The Innerhtml Schema",
77         "default": "",
78         "examples": [
79             "Item 1"
80         ],
81         "pattern": "^(.*)$"
82     },
83     "attributes": {
84         "$id": "#/properties/actions/items/properties
85             /el_data/properties/attributes",
86         "type": "array",

```

```
84         "title": "The Attributes Schema",
85
86         "items": {
87             "$id": "#/properties/actions/items/
88                 properties/el_data/properties/attributes
89                 /items",
90
91             "type": "object",
92
93             "title": "The Items Schema",
94
95             "required": [
96                 "name",
97
98                 "value"
99             ],
100
101             "properties": {
102                 "name": {
103                     "$id": "#/properties/actions/items/
104                         properties/el_data/properties/
105                         attributes/items/properties/name",
106
107                     "type": "string",
108
109                     "title": "The Name Schema",
110
111                     "default": "",
112
113                     "examples": [
114                         "class"
115                     ],
116
117                     "pattern": "^(.*)$"
118                 },
119
120                 "value": {
121                     "$id": "#/properties/actions/items/
122                         properties/el_data/properties/
123                         attributes/items/properties/value",
124
125                     "type": "string",
126
127                     "title": "The Value Schema",
128
129                     "default": "",
130
131                     "examples": [
132                         "class"
133                     ]
134                 }
135             }
136         }
137     }
138 }
```

```

110          " "
111      ],
112      "pattern": "^(.*)$"
113  }
114  }
115  }
116  }
117  }
118 },
119 "beforeState": {
120   "$id": "#/properties/actions/items/properties/"
121   "beforeState",
122   "type": "string",
123   "title": "The Beforestate Schema",
124   "default": "",
125   "examples": [
126     "\n          <li class=\"\">Item 1</li>\n          <li>Item 2</li>\n          <li>\n            Item 3</li>\n            <li>Item 4</li>\n            <li>Item 5</li>\n            <li>\n              Item 6</li>\n            <li>\n          "
127   ],
128   "pattern": "^(.*)$"
129 },
130   "newState": {
131     "$id": "#/properties/actions/items/properties/"
132     "newState",
133     "type": "string",
134     "title": "The Newstate Schema",
135     "default": "",
136     "examples": [
137       "\n          <li>Item 2</li>\n        "

```

```

                                <li>Item 3</li>\n                <li>
136                    Item 4</li>\n                        <li>Item 5</li>\n                            <li>Item 6</li>\n                                "
137                ] ,
138            "pattern": "^(.*)$"
139        },
140        "extra": {
141            "$id": "#/properties/actions/items/properties/
142                extra",
143            "type": "object",
144            "title": "The Extra Schema"
145        },
146        "extra_data": {
147            "$id": "#/properties/actions/items/properties/
148                extra_data",
149            "type": "object",
150            "title": "The Extra_data Schema",
151            "required": [
152                "tagName",
153                "outerHTML",
154                "innerHTML",
155                "attributes"
156            ],
157            "properties": {
158                "tagName": {
159                    "$id": "#/properties/actions/items/properties/
160                        /extra_data/properties/tagName",
161                    "type": "string",
162                    "title": "The Tagname Schema",
163                    "default": "",
164                    "examples": [
165                        "UL"

```

```

162     ],
163     "pattern": "^(.*)$"
164 },
165   "outerHTML": {
166     "$id": "#/properties/actions/items/properties
167       /extra_data/properties/outerHTML",
168     "type": "string",
169     "title": "The Outerhtml Schema",
170     "default": "",
171     "examples": [
172       "<ul>\n          <li>Item 2</li>\n          <li>Item 3</li>\n          <li>Item 4</li>\n          <li>Item 5</li>\n          <li>Item 6</li>\n        </ul>"
173     ],
174     "pattern": "^(.*)$"
175   },
176   "innerHTML": {
177     "$id": "#/properties/actions/items/properties
178       /extra_data/properties/innerHTML",
179     "type": "string",
180     "title": "The Innerhtml Schema",
181     "default": "",
182     "examples": [
183       "\n          <li>Item 2</li>
184         >\n          <li>Item 3</li>\n          <li>Item 4</li>\n          <li>Item 5</li>\n          <li>Item 6</li>
185        "
186     ],
187     "pattern": "^(.*)$"

```

```

184     },
185     "attributes": {
186       "$id": "#/properties/actions/items/properties
187         /extra_data/properties/attributes",
188       "type": "array",
189       "title": "The Attributes Schema"
190     }
191   },
192   "xpath_element": {
193     "$id": "#/properties/actions/items/properties/
194       xpath_element",
195     "type": "string",
196     "title": "The Xpath_element Schema",
197     "default": "",
198     "examples": [
199       "/LI"
200     ],
201     "pattern": "^(.*)$"
202   },
203   "xpath_parent": {
204     "$id": "#/properties/actions/items/properties/
205       xpath_parent",
206     "type": "string",
207     "title": "The Xpath_parent Schema",
208     "default": "",
209     "examples": [
210       "/HTML/BODY/DIV/DIV[2]/UL"
211     ],
212     "pattern": "^(.*)$"
213   }

```

```
213     }
214     }
215     }
216 }
```

APÊNDICE D - ARQUIVOS PRODUZIDOS

Arquivo: tiwim.js

```

1  'use strict';
2
3  class TiwimElement {
4
5      static serialize(el) {
6          let attributes = [];
7          for (var i = 0, atts = el.attributes, n = atts.length; i < n; i++) {
8              attributes.push({name: atts[i].nodeName, value: atts[i].value});
9          }
10         return {
11             tagName: el.tagName,
12             outerHTML: el.outerHTML,
13             innerHTML: el.innerHTML,
14             attributes: attributes
15         };
16     }
17
18     static deserialize(data) {
19         let el = document.createElement('div');
20         el.innerHTML = data.outerHTML;
21         return el.firstChild;
22     }
23
24     static getElementByXPath(xpath) {
25         return document.evaluate(xpath, document, null, XPathResult.
26             FIRST_ORDERED_NODE_TYPE, null).singleNodeValue;
27     }
28
29     static getElementXPath(elt) {
30         let path = "";
31         for (; elt && elt.nodeType === 1; elt = elt.parentNode) {
32             let idx = TiwimElement.getElementIdx(elt);
33             let xname = elt.tagName;
34             if (idx > 1) xname += "[" + idx + "]";
35             path = "/" + xname + path;
36         }
37
38         return path;
39     }
40     static getElementIdx(elt) {

```

```

41     let count = 1;
42     for (let sib = elt.previousSibling; sib; sib = sib.previousSibling) {
43       if (sib.nodeType === 1 && sib.tagName === elt.tagName) count++;
44     }
45     return count;
46   }
47 }
48 }
49
50 class TiwimAction {
51
52   constructor(action, el, beforeState, newState, extra, props) {
53     this.action = action;
54     this.el = el;
55     this.el_data = TiwimElement.serialize(el);
56     this.beforeState = beforeState;
57     this.newState = newState;
58     this.extra = extra;
59     if (extra && extra.nodeType === 1) {
60       this.extra_data = TiwimElement.serialize(extra);
61     }
62     this.props = props;
63     this.xpath_element = TiwimElement.getElementXPath(el);
64     this.xpath_parent = TiwimElement.getElementXPath(extra);
65   }
66
67   undo() {
68     alert('Necessário implementar!')
69   }
70
71   getElKind() {
72     if (!this.el) {
73       return undefined;
74     }
75     if (this.el.tagName === 'p') {
76       return 'Texto';
77     }
78     switch (this.el.tagName.toLowerCase()) {
79       case 'p':
80       case 'span':
81         return 'Texto';
82       case 'div':
83         return 'Área';
84       case 'h1':
85       case 'h2':
86       case 'h3':
87       case 'h4':

```

```
88     case 'h5':
89     case 'h6':
90         return 'Título';
91     case 'a':
92         return 'Link';
93     default:
94         return this.el.tagName;
95     }
96 }
97
98 getTitle() {
99     alert('Necessário implementar!')
100 }
101
102 getContent() {
103     alert('Necessário implementar!')
104 }
105 }
106
107 class EditTiwimAction extends TiwimAction {
108
109     constructor(el, beforeState, newState, extra) {
110         super('edit', el, beforeState, newState, extra);
111     }
112
113     undo() {
114         this.el.innerText = this.beforeState;
115     }
116
117     getTitle() {
118         return 'Alterar Texto';
119     }
120
121     getContent() {
122         return `Elemento: ${this.getElKind()}
123         Conteúdo: De "${this.beforeState}" para "${this.newState}"
124         `;
125     }
126 }
127
128 class CutTiwimAction extends TiwimAction {
129
130     constructor(el, beforeState, newState, extra) {
131         super('cut', el, beforeState, newState, extra);
132     }
133
134     getTitle() {
```

```
135     return 'Cortar';
136 }
137
138 getContent() {
139     return 'Elemento: ${this.getElKind()}';
140 }
141
142 undo() {
143     this.extra.innerHTML = this.beforeState;
144 }
145 }
146
147 class PasteTiwimAction extends TiwimAction {
148
149     constructor(el, beforeState, newState, extra) {
150         super('paste', el, beforeState, newState, extra);
151     }
152
153     undo() {
154         this.extra.innerHTML = this.beforeState;
155     }
156
157     getTitle() {
158         return 'Colar';
159     }
160
161     getContent() {
162         return 'Elemento: ${this.getElKind()}';
163     }
164 }
165
166 class CreateElementTiwimAction extends TiwimAction {
167
168     constructor(el, beforeState, newState, extra) {
169         super('create-element', el, beforeState, newState, extra);
170     }
171
172     undo() {
173         this.extra.innerHTML = this.beforeState;
174     }
175
176     getTitle() {
177         return 'Adicionar elemento';
178     }
179
180     getContent() {
181         return 'Elemento: ${this.getElKind()}';
```

```
182     }
183 }
184
185 class DeleteTiwimAction extends TiwimAction {
186
187     constructor(el, beforeState, newState, extra) {
188         super('delete', el, beforeState, newState, extra);
189     }
190
191     undo() {
192         this.extra.innerHTML = this.beforeState;
193     }
194
195     getTitle() {
196         return 'Remover';
197     }
198
199     getContent() {
200         return `Elemento: ${this.getElKind()}`;
201     }
202 }
203
204 class CommentTiwimAction extends TiwimAction {
205
206     constructor(el, beforeState, newState, extra) {
207         super('comment', el, beforeState, newState, extra);
208     }
209
210     undo() {
211         this.el.classList.remove('hasComment');
212     }
213
214     getTitle() {
215         return 'Comentário';
216     }
217
218     getContent() {
219         return `Elemento: ${this.getElKind()}
220             Conteúdo: ${this.extra}`;
221     }
222 }
223
224 class Tiwim {
225
226     constructor() {
227         const baseSelector = '*:not(#tiwim-tool-area) ';
```

```
229     this.isActive = true;
230     this.excludeSelectors = '#tiwim-tool-area *, #tiwim-tool-area, #
231         tiwimFloatMenu, #tiwimFloatMenu *';
232     this.currentElement = null;
233     this.currentElementData = null;
234     this.elementSelectors = 'div,p,a,li,h1,h2,h3,h4,h5,h6,button,span';
235     this.elementSelectors = this.elementSelectors.split(',').map(value =>
236         baseSelector + value).join(',');
237     this.actions = [];
238 }
239
240 reloadChangesPanel() {
241     let panel = document.querySelector('#tiwim-tool-area .changes-content');
242     panel.innerHTML = '';
243
244     let idx = 1;
245     if (this.actions.length === 0) {
246         let itemContainer = document.createElement('div');
247         itemContainer.classList.add('item');
248
249         let itemTitle = document.createElement('span');
250         itemTitle.innerText = 'Sem alterações até o momento.';
251         itemTitle.classList.add('title');
252
253         let itemContent = document.createElement('span');
254         itemContent.innerText = 'Clique com o botão direito para realizar alteraçõ
255             es nos itens da tela.';
256         itemContent.classList.add('content');
257
258         itemContainer.appendChild(itemTitle);
259         itemContainer.appendChild(itemContent);
260
261         panel.appendChild(itemContainer);
262     }
263
264     document.querySelectorAll('.tiwim-has-change').forEach((item) =>
265         item.classList.remove('tiwim-has-change'));
266
267     this.actions.forEach((item) => {
268         let itemContainer = document.createElement('div');
269         itemContainer.classList.add('item');
270
271         let itemTitle = document.createElement('span');
272         itemTitle.innerText = '#' + idx + ' - ' + item.getTitle();
273         itemTitle.classList.add('title');
274
275         let itemContent = document.createElement('span');
```

```
273     itemContent.innerText = item.getContent();
274     itemContent.classList.add('content');
275
276     itemContainer.appendChild(itemTitle);
277     itemContainer.appendChild(itemContent);
278
279     panel.appendChild(itemContainer);
280     idx += 1;
281
282     if (!item.el) {
283         console.log(item.el);
284         item.el.classList.add('tiwim-has-change');
285     }
286 });
287 }
288
289 registerAction(action) {
290     this.actions.push(action);
291     this.reloadChangesPanel();
292 }
293
294
295 undoLast() {
296     if (this.actions.length > 0) {
297         let action = this.actions.pop();
298         action.undo();
299         this.reloadChangesPanel();
300     }
301 }
302
303 init() {
304     let self = this;
305
306     let initialContent = document.body.innerHTML;
307
308     let tiwimEditAreaContainer = document.createElement('div');
309     tiwimEditAreaContainer.id = 'tiwim-edit-content';
310     tiwimEditAreaContainer.innerHTML = initialContent;
311     document.body.innerHTML = tiwimEditAreaContainer.outerHTML;
312
313     let tiwim_tool_content = '<div id="tiwim-tool-area">
314         <div class="logo-container">
315             
316         </div>
317
318         <div class="on-off-container">
319             Ativo?
```

```

320         <select name="select" id="tiwim-on-off">
321             <option value="on">Sim</option>
322             <option value="off">Não</option>
323         </select>
324     </div>
325
326     <div class="changes-container">
327         <div class="changes-header">Alterações realizadas</div>
328         <div class="changes-content">
329         </div>
330     </div>
331
332     <div class="actions-container">
333         <div class="item" id="undo-action">
334             
335             <span>Desfazer</span>
336         </div>
337         <div class="item" id="save-action">
338             
339             <span>Salvar</span>
340         </div>
341     </div>
342 </div>';
343 let tiwimAreaContainer = document.createElement('div');
344 tiwimAreaContainer.innerHTML = tiwim_tool_content;
345 document.body.appendChild(tiwimAreaContainer.firstChild);
346
347 let floatMenu = document.createElement('div');
348 floatMenu.innerHTML = '<ul id="tiwimFloatMenu" class="contextMenu">\n' +
349     '    <li class="tiwim-undo disabled"><a href="#undo">Desfazer</a></li>
350     >\n' +
351     '    <li class="tiwim-edit separator"><a href="#edit">Alterar texto</a></li>
352     >\n' +
353     '    <li class="tiwim-comment"><a href="#comment">Comentar</a></li>\n' +
354     '    <li class="tiwim-add separator"><a href="#add-container">
355     Adicionar </a>>\n' +
356     '        <ul class="dropdown">\n' +
357     '            <li class="tiwim-add-button"><a href="#add-button">Botão</a>
358     ></li>>\n' +
359     '            <li class="tiwim-add-text"><a href="#add-link">Link</a></li>\n' +
360     '            <li class="tiwim-add-list"><a href="#add-list">Lista</a></li>
361     >\n' +
362     '            <li class="tiwim-add-link"><a href="#add-text">Texto</a></li>
363     >\n' +
364     '        </ul>\n' +
365 
```

```

359     '           </li>\n' +
360     '           <li class="tiwim-cut"><a href="#cut">Recortar</a></li>\n' +
361     '           <li class="tiwim-copy"><a href="#copy">Copiar</a></li>\n' +
362     '           <li class="tiwim-paste"><a href="#paste-container">Colar ></a>\n' +
363     '           +
364     '           <ul class="dropdown">\n' +
365     '               <li class="tiwim-paste"><a href="#paste-before">Colar antes</a></li>\n' +
366     '               <li class="tiwim-paste"><a href="#paste">Colar depois</a></li>\n' +
367     '               <li class="tiwim-paste"><a href="#paste-inside">Colar interno</a></li>\n' +
368     '           </ul>\n' +
369     '           </li>\n' +
370     '           <li class="tiwim-duplicate"><a href="#duplicate">Duplicar</a></li>\n' +
371     '           <li class="tiwim-delete separator"><a href="#delete">Remover</a></li>\n' +
372     '       </ul>';
373
374     this.createContextMenu();
375
376     $('#tiwim-tool-area #undo-action').click(function () {
377         self.undoLast();
378     });
379
380     $('#tiwim-tool-area #save-action').click(function () {
381         self.download();
382     });
383
384     $('#tiwim-tool-area #tiwim-on-off').change(function () {
385         let value = $('#tiwim-on-off').val();
386         if (value === 'on') {
387             self.active();
388         } else {
389             self.disable();
390         }
391     });
392
393     this.reloadChangesPanel();
394 }
395
396 createContextMenu() {
397     let self = this;
398     $j(this.elementSelectors).not(self.excludeSelectors).mouseover(function () {
399         if (self.isActive) {

```

```

400     if (this.childElementCount === 0) {
401         $j(this).addClass('hoverItem');
402     }
403 }
404 return false;
405 }).mouseout(function () {
406     $j(this).removeClass('hoverItem');
407 });
408 $j(this.elementSelectors).not(self.excludeSelectors).contextMenu({
409     menu: 'tiwimFloatMenu'
410 },
411     function (action, el, pos) {
412         let finalEl = el[0];
413
414         if (action === 'edit') {
415             setTimeout(function () {
416                 let originalInnerText = finalEl.innerText;
417                 let newText = prompt('Informe o novo valor:', finalEl.innerText);
418
419                 if (!!newText) {
420                     finalEl.innerText = newText;
421                     self.registerAction(new EditTiwimAction(finalEl, originalInnerText,
422                                         , newText))
423                 }
424             }, 100);
425         } else if (action === 'undo') {
426             self.undoLast();
427         } else if (action === 'cut') {
428             let parent = finalEl.parentNode;
429             let originalParentHtml = parent.innerHTML;
430
431             self.currentElement = finalEl.cloneNode(true);
432             self.currentElementData = TiwimElement.serialize(finalEl);
433             parent.removeChild(finalEl);
434
435             let finalParentHtml = parent.innerHTML;
436
437             self.registerAction(new CutTiwimAction(finalEl, originalParentHtml,
438                                         finalParentHtml, parent))
439         } else if (action === 'copy') {
440             self.currentElement = finalEl.cloneNode(true);
441             self.currentElementData = TiwimElement.serialize(finalEl);
442         } else if (action === 'paste' || action === 'paste-inside' || action ===
443             'paste-before') {
444             self.currentElement = self.currentElement.cloneNode(true);
445
446             let parent = finalEl.parentNode;

```

```

444     let originalParentHtml = parent.innerHTML;
445
446     if (action === 'paste-inside') {
447         finalEl.appendChild(self.currentElement);
448     } else {
449         let refChild = finalEl.nextSibling ? finalEl.nextSibling : finalEl;
450         if (action === 'paste-before') {
451             refChild = finalEl;
452         }
453         parent.insertBefore(self.currentElement, refChild);
454     }
455
456     let finalParentHtml = parent.innerHTML;
457
458     self.registerAction(new PasteTiwimAction(finalEl, originalParentHtml,
459                               finalParentHtml, parent))
460 } else if (action === 'delete') {
461     let parent = finalEl.parentNode;
462     let originalParentHtml = parent.innerHTML;
463     parent.removeChild(finalEl);
464     let finalParentHtml = parent.innerHTML;
465
466     self.registerAction(new DeleteTiwimAction(finalEl, originalParentHtml,
467                               finalParentHtml, parent))
468 } else if (action === 'comment') {
469     let originalclassList = finalEl.classList;
470     setTimeout(function () {
471         let comment = prompt('Informe o comentário:');
472
473         if (!!comment) {
474             finalEl.classList.add('hasComment');
475             let finalclassList = finalEl.classList;
476             self.registerAction(new CommentTiwimAction(finalEl,
477                                           originalclassList, finalclassList, comment))
478         }
479     }, 100);
480
481 } else if (action === 'add-text') {
482     let parent = finalEl.parentNode;
483     let originalParentHtml = parent.innerHTML;
484
485     let newElement = document.createElement('p');
486     newElement.innerText = 'Novo texto';
487
488     let refChild = finalEl.nextSibling ? finalEl.nextSibling : finalEl;
489     parent.insertBefore(newElement, refChild);
490 }
```

```

488     let finalParentHtml = parent.innerHTML;
489     self.registerAction(new CreateElementTiwimAction(finalEl,
490         originalParentHtml, finalParentHtml, parent))
491 } else if (action === 'add-button') {
492     let parent = finalEl.parentNode;
493     let originalParentHtml = parent.innerHTML;
494
495     let newElement = document.createElement('button');
496     newElement.innerText = 'Novo botão';
497
498     let refChild = finalEl.nextSibling ? finalEl.nextSibling : finalEl;
499     parent.insertBefore(newElement, refChild);
500
501     let finalParentHtml = parent.innerHTML;
502     self.registerAction(new CreateElementTiwimAction(finalEl,
503         originalParentHtml, finalParentHtml, parent))
504 } else if (action === 'add-link') {
505     let parent = finalEl.parentNode;
506     let originalParentHtml = parent.innerHTML;
507
508     let newElement = document.createElement('a');
509     newElement.href = '#';
510     newElement.innerText = 'Novo link';
511
512     let refChild = finalEl.nextSibling ? finalEl.nextSibling : finalEl;
513     parent.insertBefore(newElement, refChild);
514
515     let finalParentHtml = parent.innerHTML;
516     self.registerAction(new CreateElementTiwimAction(finalEl,
517         originalParentHtml, finalParentHtml, parent))
518 } else if (action === 'add-list') {
519     let parent = finalEl.parentNode;
520     let originalParentHtml = parent.innerHTML;
521
522     let newElement = document.createElement('ul');
523     let newItem = document.createElement('li');
524     newItem.innerText = 'Novo item';
525     newElement.appendChild(newItem);
526
527     let refChild = finalEl.nextSibling ? finalEl.nextSibling : finalEl;
528     parent.insertBefore(newElement, refChild);
529
530     let finalParentHtml = parent.innerHTML;
531     self.registerAction(new CreateElementTiwimAction(finalEl,
532         originalParentHtml, finalParentHtml, parent))
533 } else if (action === 'duplicate') {
534     let newElement = finalEl.cloneNode(true);

```

```

531
532     let parent = finalEl.parentNode;
533     let originalParentHtml = parent.innerHTML;
534
535     let refChild = finalEl.nextSibling ? finalEl.nextSibling : finalEl;
536     parent.insertBefore(newElement, refChild);
537     let finalParentHtml = parent.innerHTML;
538
539     self.registerAction(new PasteTiwimAction(finalEl, originalParentHtml,
540                                         finalParentHtml, parent))
540   }
541   self.reload();
542 }, function (el) {
543   let finalEl = el[0];
544   let tiwimMenu = $j('#tiwimFloatMenu');
545
546   if (!!finalEl.innerText) {
547     tiwimMenu.enableContextMenuItems('#edit');
548   } else {
549     tiwimMenu.disableContextMenuItems('#edit');
550   }
551
552   if (self.currentElement !== null) {
553     tiwimMenu.enableContextMenuItems('#paste-container');
554   } else {
555     tiwimMenu.disableContextMenuItems('#paste-container');
556   }
557
558   if (self.actions.length > 0) {
559     tiwimMenu.enableContextMenuItems('#undo');
560   } else {
561     tiwimMenu.disableContextMenuItems('#undo');
562   }
563 });
564 }
565
566 reload() {
567   this.createContextMenu();
568 }
569
570 active() {
571   this.isActive = true;
572   $j(this.elementSelectors).not(self.excludeSelectors).enableContextMenu();
573 }
574
575 disable() {
576   this.isActive = false;

```

```

577     $j(this.elementSelectors).disableContextMenu();
578 }
579
580 download() {
581     let actualTimestamp = new Date().getTime();
582     let finalFileName = 'tiwim_' + window.location.hostname + '_' +
583         actualTimestamp + '.txt';
584     let obj = {
585         actions: this.actions
586     };
587     this.saveTextAsFile(JSON.stringify(obj), finalFileName)
588 }
589
590 saveTextAsFile(textToWrite, fileNameToSaveAs) {
591     var textFileAsBlob = new Blob([textToWrite], {type: 'text/plain'});
592     var downloadLink = document.createElement("a");
593     downloadLink.download = fileNameToSaveAs;
594     downloadLink.innerHTML = "Download File";
595     if (window.webkitURL != null) {
596         // Chrome allows the link to be clicked
597         // without actually adding it to the DOM.
598         downloadLink.href = window.webkitURL.createObjectURL(textFileAsBlob);
599     } else {
600         // Firefox requires the link to be added to the DOM
601         // before it can be clicked.
602         downloadLink.href = window.URL.createObjectURL(textFileAsBlob);
603         downloadLink.onclick = destroyClickedElement;
604         downloadLink.style.display = "none";
605         document.body.appendChild(downloadLink);
606     }
607     downloadLink.click();
608 }
609
610 }

```

Arquivo: js/jquery-1.4.2.min.js

```

1 /**
2 * jQuery JavaScript Library v1.4.2
3 * http://jquery.com/
4 *
5 * Copyright 2010, John Resig
6 * Dual licensed under the MIT or GPL Version 2 licenses.
7 * http://jquery.org/license
8 *
9 * Includes Sizzle.js
10 * http://sizzlejs.com/

```

```

11 * Copyright 2010, The Dojo Foundation
12 * Released under the MIT, BSD, and GPL Licenses.
13 *
14 * Date: Sat Feb 13 22:33:48 2010 -0500
15 */
16 (function(A,w){function ma(){if(!c.isReady){try{s.documentElement.doScroll("left")}}catch(
  a){setTimeout(ma,1);return}c.ready()}function Qa(a,b){b.src?c.ajax({url:b.src,async:
  false,dataType:"script"}):c.globalEval(b.text||b.textContent||b.innerHTML||"");b.
  parentNode&&b.parentNode.removeChild(b)}function X(a,b,d,f,e,j){var i=a.length;if(
  typeof b==="object"){for(var o in b)X(a,o,b[o],f,e,d);return a}if(d!==w){f=!j&&f&&c.
 isFunction(d);for(o=0;o
    e(a[o],b,f?d.call(a[o],o,e(a[o],b)):d,j);return a}
    return i?
  17 e(a[0],b):w}function J(){return(new Date).getTime()}function Y(){return false}function
    Z(){return true}function na(a,b,d){d[0].type=a;return c.event.handle.apply(b,d)}
    function oa(a){var b,d=[],f=[],e=arguments,j,i,o,k,n,r;i=c.data(this,"events");if
    (!(a.liveFired==this||!i||!i.live||a.button&&a.type=="click")){a.liveFired=this;
    var u=i.live.slice(0);for(k=0;k

```

```

childNodes}return c.merge(this,a)}else{if(b=s.getElementById(d[2])){if(b.id!==d
[2])return T.find(a);this.length=1;this[0]=b}this.context=s;this.selector=a;
return this}else if(!b&&/^w+$/.test(a)){this.selector=a;this.context=s;a=s.
getElementsByName(a);return c.merge(this,
22 a)}else return !b||b.jquery?(b||T).find(a):c(b).find(a);else if(cisFunction(a))return
T.ready(a);if(a.selector!=w){this.selector=a.selector;this.context=a.context}
return c.makeArray(a,this),selector:"",jquery:"1.4.2",length:0,size:function(){
return this.length},toArray:function(){return R.call(this,0)},get:function(a){
return a==null?this.toArray():a<0?this.slice(a)[0]:this[a]},pushStack:function(a,
b,d){var f=c();c.isArray(a)?ba.apply(f,a):c.merge(f,a);f.prevObject=this;f.
context=this.context;if(b==
23 "find")f.selector=this.selector+(this.selector?" ":"")+d;else if(b)f.selector=this.
selector+"."+b+"("+d+")";return f},each:function(a,b){return c.each(this,a,b)},
ready:function(a){c.bindReady();if(c.isReady)a.call(s,c);else Q&&Q.push(a);return
this},eq:function(a){return a==-1?this.slice(a):this.slice(a,+a+1)},first:
function(){return this.eq(0)},last:function(){return this.eq(-1)},slice:function(){
return this.pushStack(R.apply(this,arguments),"slice",R.call(arguments).join(
",")),map:function(a){return this.pushStack(c.map(this,
24 function(b,d){return a.call(b,d,b)})),end:function(){return this.prevObject||c(null)
}},push:ba,sort:[].sort,splice:[].splice};c.fn.init.prototype=c.fn;c.extend=c.fn.
extend=function(){var a=arguments[0]||{},b=1,d=arguments.length,f=false,e,j,i,o;
if(typeof a==="boolean"){f=a;a=arguments[1]||{};b=2}if(typeof a!="object"&&!c.
isFunction(a))a={};if(d==b){a=this;--b}for(;b<d;b++)if((e=arguments[b])!=null)
for(j in e){i=a[j];o=e[j];if(a[i]==o)if(f&&o&&(c.isPlainObject(o)||c.isArray(o)))i
=i&&(c.isPlainObject(i))|
25 c.isArray(i))?i:c.isArray(o)?[]:{a[j]=c.extend(f,i,o)}else if(o!=w)a[j]=o}return a};
c.extend({noConflict:function(a){A.$=Sa;if(a)A.jQuery=Ra;return c},isReady:false,
ready:function(){if(!c.isReady){if(!s.body)return setTimeout(c.ready,13);c.isReady=
true;if(Q){for(var a,b=0;a=Q[b++];)a.call(s,c);Q=null}c.fn.triggerHandler&&c(s).
triggerHandler("ready")},bindReady:function(){if(!xa){xa=true;if(s.readyState==""
complete")return c.ready();if(s.addEventListener){s.addEventListener("
DOMContentLoaded",
26 L,false);A.addEventListener("load",c.ready,false)}else if(s.attachEvent){s.
attachEvent("onreadystatechange",L);A.attachEvent("onload",c.ready);var a=false;
try{a=A.frameElement==null}catch(b){}s.documentElement.doScroll&&a&&ma()}},
isFunction:function(a){return $.call(a)==="[object Function]",isArray:function(a){
return $.call(a)==="[object Array]",isPlainObject:function(a){if(!a||$.call(a)
!=="[object Object]"||a.nodeType||a.setInterval) return false;if(a.constructor&&
aa.call(a,"constructor")&&!aa.call(a.constructor.prototype,
27 "isPrototypeOf"))return false;var b;for(b in a);return b==w||aa.call(a,b)},
isEmptyObject:function(a){for(var b in a) return false;return true},error:function(a){
throw a;},parseJSON:function(a){if(typeof a!="string"||!a) return null;a=c.
trim(a);if(/^\[\],:{}\s]*$/.test(a.replace(/\\(?:["\\\\\\bfnr"]|u[0-9a-fA-F]{4})/g,
@"").replace(/[^"\\\\\\n\\r]*|true|false|null|-?\d+(?:\\.\\d*)?(?:[eE][+\\-]?\\d+)?/g,
"").replace(/(?:^|:|,)(?:\\s*\[|)+/g,""))return A.JSON&&A.JSON.parse?A.JSON.parse(a
):(new Function("return "+
28 a))();else c.error("Invalid JSON: "+a)},noop:function(){},globalEval:function(a){if(a
&&Va.test(a)){var b=s.getElementsByTagName("head")[0]||s.documentElement,d=s.
createElement("script");d.type="text/javascript";if(c.support.scriptEval)d.
```

```

appendChild(s.createTextNode(a)); else d.text=a;b.insertBefore(d,b.firstChild);b.

removeChild(d)},nodeName:function(a,b){return a.nodeName&&a.nodeName.toUpperCase
()===b.toUpperCase()},each:function(a,b,d){var f,e=0,j=a.length,i=j==w||c.
isFunction(a);if(d)if(i)for(f in a){if(b.apply(a[f],
29 d)==false)break}else for(;e<j;){if(b.apply(a[e++],d)==false)break}else if(i)for(f
in a){if(b.call(a[f],f,a[f])==false)break}else for(d=a[0];e<j&&b.call(d,e,d)!==
false;d=a[++e]);return a},trim:function(a){return(a||"").replace(Wa,"")},
makeArray:function(a,b){b=b||[];if(a!=null)a.length==null||typeof a==="string"||c
.isFunction(a)||typeof a!="function"&&!a.setInterval?ba.call(b,a):c.merge(b,a);
return b},inArray:function(a,b){if(b.indexOf) return b.indexOf(a);for(var d=0,f=b.
length;d<f;d++)if(b[d]===
30 a)return d;return -1},merge:function(a,b){var d=a.length,f=0;if(typeof b.length==="

number")for(var e=b.length;f<e;f++)a[d++]=b[f];else for(;b[f]!==w;)a[d++]=b[f++];
a.length=d;return a},grep:function(a,b,d){for(var f=[],e=0,j=a.length;e<j;e++)!d
!==!b(a[e],e)&&f.push(a[e]);return f},map:function(a,b,d){for(var f=[],e,j=0,i=a.
length;j<i;j++){e=b(a[j],j,d);if(e!=null)f[f.length]=e}return f.concat.apply([],f
)},guid:1,proxy:function(a,b,d){if(arguments.length==2)if(typeof b==="string"){d
=a;a=d[b];b=w}else if(b&&
31 !cisFunction(b)){d=b;b=w}if(!b&&a)b=function(){return a.apply(d||this,arguments)};if
(a)b.guid=a.guid||b.guid||c.guid++;return b},uaMatch:function(a){a=a.
toLowerCase();a=/webkit/[(\ ])/([w.]+)/.exec(a)||/(opera)(?:.*version)?[ \/]([\w
.]+)/.exec(a)||/(msie )([w.]+)/.exec(a)||!/compatible/.test(a)&&/(mozilla)(?:.*?
rv:([\w.]+))?.exec(a)||[];return{browser:a[1]||"",version:a[2]||"0"},browser
:{});P=c.uaMatch(P);if(P.browser){c.browser[P.browser]=true;c.browser.version=P.
version}if(c.browser.webkit)c.browser.safari=
32 true;if(ya)c.inArray=function(a,b){return ya.call(b,a)};T=c(s);if(s.addEventListener)L=
function(){s.removeEventListener("DOMContentLoaded",L,false);c.ready()};else if(s.
attachEvent)L=function(){if(s.readyState==="complete"){s.detachEvent("

onreadystatechange",L);c.ready()} };(function(){c.support={};var a=s.documentElement
,b=s.createElement("script"),d=s.createElement("div"),f="script"+J();d.style.
display="none";d.innerHTML="<link><table></table><a href='/a' style='color:red;
float:left;opacity:.55;'>a</a><input type='checkbox' />";
33 var e=d.getElementsByTagName("*"),j=d.getElementsByTagName("a")[0];if(!(!e||!e.length
||!j)){c.support={leadingWhitespace:d.firstChild.nodeType==3,tbody:!d.
getElementsByTagName("tbody").length,htmlSerialize:!!d.getElementsByTagName("link")
.length,style:/red/.test(j.getAttribute("style")),hrefNormalized:j.getAttribute("

href")=="/a",opacity:/^0.55$/.test(j.style.opacity),cssFloat:!!j.style.cssFloat,
checkOn:d.getElementsByTagName("input")[0].value=="on",optSelected:s.createElement
("select").appendChild(s.createElement("option")).selected,
34 parentNode:d.removeChild(d.appendChild(s.createElement("div"))).parentNode==null,
deleteExpando:true,checkClone:false,scriptEval:false,noCloneEvent:true,boxModel:
null};b.type="text/javascript";try{b.appendChild(s.createTextNode("window."+f+
=1;" ))}catch(i){}a.insertBefore(b,a.firstChild);if(A[f]){c.support.scriptEval=
true;delete A[f]}try{delete b.test}catch(o){c.support.deleteExpando=false}a.
removeChild(b);if(d.attachEvent&&d.fireEvent){d.attachEvent("onclick",function k
(){c.support.noCloneEvent=
35 false;d.detachEvent("onclick",k)});d.cloneNode(true).fireEvent("onclick")}d=s.
createElement("div");d.innerHTML="

```

```

checkClone=a.cloneNode(true).cloneNode(true).lastChild.checked;c(function(){var k
=s.createElement("div");k.style.width=k.style.paddingLeft="1px";s.body.
appendChild(k);c.boxModel=c.support.boxModel=k.offsetWidth==2;s.body.removeChild
(k).style.display="none"});a=function(k){var n=
s.createElement("div");k="on"+k;var r=k in n;if(!r){n.setAttribute(k,"return");r=
typeof n[k]==="function"?r:c.support.submitBubbles=a("submit");c.support.
changeBubbles=a("change");a=b=d=e=j=null}}();c.props={"for":"htmlFor","class":"
className",readonly:"readOnly",maxLength:"maxLength",cellspacing:"cellSpacing",
rowspan:"rowSpan",colspan:"colSpan",tabindex:"tabIndex",usemap:"useMap",
frameborder:"frameBorder"};var G="jQuery"+J(),Ya=0,za={};c.extend({cache:{},
expando:G,noData:{embed:true,object:true,
36    applet:true},data:function(a,b,d){if(!(a.nodeName&&c.noData[a.nodeName.toLowerCase()]
))}{a=a==A?za:a;var f=a[G],e=c.cache;if(!f&&typeof b=="string"&&d==w) return
null;f||(f=++Ya);if(typeof b=="object"){a[G]=f;e[f]=c.extend(true,{},b)}else if
(!e[f]){a[G]=f;e[f]={}}a=e[f];if(d!==w)a[b]=d;return typeof b=="string"?a[b]:a
},removeData:function(a,b){if(!(a.nodeName&&c.noData[a.nodeName.toLowerCase()])){a=a==A?za:a;var d=a[G],f=c.cache,e=f[d];if(b){if(e){delete e[b];c.isEmptyObject(e)&&c.removeData(a)}}else{if(c.support.deleteExpando) delete a[c.expando];
37    else a.removeAttribute&&a.removeAttribute(c.expando);delete f[d]}}});c.fn.extend({data
:function(a,b){if(typeof a==="undefined"&&this.length) return c.data(this[0]);else
if(typeof a=="object") return this.each(function(){c.data(this,a)});var d=a.split(
".");d[1]=d[1]?"."+d[1]:"";if(b==w){var f=this.triggerHandler("getData"+d[1]+
"!",[d[0]]);if(f==w&&this.length)f=c.data(this[0],a);return f==w&&d[1]?this.data(d[0]):f}else return this.trigger("setData"+d[1]+
"!",[d[0],b]).each(function(){c.data(this,
38        a,b)}),removeData:function(a){return this.each(function(){c.removeData(this,a)}});
c.extend({queue:function(a,b,d){if(a){b=(b||"fx")+"queue";var f=c.data(a,b);if(!d)
return f||[];if(!f||c.isArray(d))f=c.data(a,b,c.makeArray(d));else f.push(d);
return f},dequeue:function(a,b){b=b||"fx";var d=c.queue(a,b),f=d.shift();if(f==
"inprogress")f=d.shift();if(f){b=="fx"&&(d.unshift("inprogress"));f.call(a,
function(){c.dequeue(a,b)}))};c.fn.extend({queue:function(a,b){if(typeof a!=="string")
{b=a;a="fx"}if(b==
39        w) return c.queue(this[0],a);return this.each(function(){var d=c.queue(this,a);a=="fx"&&d[0]!="inprogress"&&c.dequeue(this,a)}),dequeue:function(a){return this.
each(function(){c.dequeue(this,a)}),delay:function(a,b){a=c.fx?c.fx.speeds[a]||a
:a;b=b||"fx";return this.queue(b,function(){var d=this;setTimeout(function(){c.
dequeue(d,b)},a)}),clearQueue:function(a){return this.queue(a||"fx",[])});var
Aa=/[\n\t]/g,ca=/\s+/,Za=/\r/g,$a=/href|src|style/,ab=/button|input/i,bb=/
button|input|object|select|textarea/i,
40        cb=/^(a|area)$/i,Ba=/radio|checkbox/;c.fn.extend({attr:function(a,b){return X(this,a,b,
true,c.attr)},removeAttr:function(a){return this.each(function(){c.attr(this,a,"");
this.nodeType==1&&this.removeAttribute(a)}),addClass:function(a){if(c.isFunction(a))
return this.each(function(n){var r=c(this);r.addClass(a.call(this,n,r.attr("
class")))});if(a&&typeof a=="string")for(var b=(a||"").split(ca),d=0,f=this.length
;d<f;d++){var e=this[d];if(e.nodeType==1)if(e.className){for(var j=" "+e.className
+" ", i=e.className,o=0,k=b.length;o<k;o++)if(j.indexOf(" "+b[o]+" ")<0)i+=" "+b[o
];e.className=c.trim(i)}else e.className=a}return this},removeClass:function(a){if(
c.isFunction(a))return this.each(function(k){var n=c(this);n.removeClass(a.call(
this,k,n.attr("class")))});if(a&&typeof a=="string"||a==w)for(var b=(a||"").split
41        )

```

```

        (ca),d=0,f=this.length;d<f;d++){var e=this[d];if(e.nodeType==1&&e.className)if(a){
    for(var j=" "+e.className+" ").replace(Aa," "),i=0,o=b.length;i<o;i++)j=j.replace(
      " "+b[i]+" ",
      " ");e.className=c.trim(j)}else e.className=""}return this},toggleClass:function(a,b)
  {var d=typeof a,f=typeof b==="boolean";if(cisFunction(a))return this.each(
    function(e){var j=c(this);j.toggleClass(a.call(this,e,j.attr("class"),b),b)});
  return this.each(function(){if(d==="string")for(var e,j=0,i=c(this),o=b,k=a.split(
    (ca);e=k[j++]);){o=f?o:!i.hasClass(e);i[o?"addClass":"removeClass"]()}})else if(d
    ==="undefined"||d==="boolean"){this.className&&c.data(this,"__className__",this.
    className);this.className=
    this.className||a==="false"?"":c.data(this,"__className__")||""})},hasClass:function(a
  ){a=" "+a+" ";for(var b=0,d=this.length;b<d;b++)if((" "+this[b].className+" ").
    replace(Aa," ").indexOf(a)>-1)return true;return false},val:function(a){if(a==w)
  {var b=this[0];if(b){if(c.nodeName(b,"option"))return(b.attributes.value||{}).
    specified?b.value:b.text;if(c.nodeName(b,"select")){var d=b.selectedIndex,f=[];
    e=b.options;b=b.type==="select-one";if(d<0)return null;var j=b?d:0;for(d=b?d+1:e.
    length;j<d;j++){var i=
    e[j];if(i.selected){a=c(i).val();if(b)return a;f.push(a)}}}return f}if(Ba.test(b.type)
    &&!c.support.checkOn)return b.getAttribute("value")==null?"on":b.value;return(b.
    value||"").replace(Za,"")}}return w}var o=c.isFunction(a);return this.each(
    function(k){var n=c(this),r=a;if(this.nodeType==1){if(o)r=a.call(this,k,n.val());
    ;if(typeof r==="number")r+="";if(c.isArray(r)&&Ba.test(this.type))this.checked=c.
    inArray(n.val(),r)>=0;else if(c.nodeName(this,"select")){var u=c.makeArray(r);c("
    option",this).each(function(){this.selected=
    c.inArray(c(this).val(),u)>=0});if(!u.length)this.selectedIndex=-1}else this.value=r
    }}});c.extend({attrFn:{val:true,css:true,html:true,text:true,data:true,width:
    true,height:true,offset:true},attr:function(a,b,d,f){if(!a||a.nodeType==3||a.
   .nodeType==8)return w;if(f&&b in c.attrFn)return c(a)[b](d);f=a.nodeType!=1||!c.
    isXMLDoc(a);var e=d!=w;b=f&&c.props[b]||b;if(a.nodeType==1){var j=$a.test(b);if
    (b in a&&f&&j){if(e){b==="type"&&!ab.test(a.nodeName)&&a.parentNode&&c.error("
    type property can't be changed");
    a[b]=d}if(c.nodeName(a,"form")&&a.getAttributeNode(b))return a.getAttributeNode(b).
    nodeValue;if(b==="tabIndex")return(b=a.getAttributeNode("tabIndex"))&&b.specified
    ?b.value:bb.test(a.nodeName)||cb.test(a.nodeName)&&a.href?0:w;return a[b]}if(!c.
    support.style&&f&&b==="style"){if(e)a.style.cssText=""+"d;return a.style.cssText}e
    &&a.setAttribute(b,""+d);a=!c.support.hrefNormalized&&f&&j?a.getAttribute(b,2):a.
    getAttribute(b);return a==null?w:a{return c.style(a,b,d)});var O=/\.(.*$)/,db=
    function(a){return a.replace(/[\^\\w\\s\\.\\|\\`]/g,
    function(b){return "\\"+"b})};c.event={add:function(a,b,d,f){if(!((a.nodeType==3||a.
    nodeType==8)){if(a.setInterval&&a!==A&&!a.frameElement)a=A;var e,j;if(d.handler){e
    =d;d=e.handler}if(!d.guid)d.guid=c.guid++;if(j=c.data(a)){var i=j.events=j.events
    ||{},o=j.handle;if(!o)j.handle=o=function(){return typeof c=="undefined"||!c.event
    .triggered?c.event.handle.apply(o.elem,arguments):w};o.elem=a;b=b.split(" ");for(
    var k,n=0,r;k=b[n++];){j=e?c.extend({},e):{handler:d,data:f};if(k.indexOf(".")>-1){
    r=k.split(".");
    k=r.shift();j.namespace=r.slice(0).sort().join(".")}else{r=[];j.namespace=""}j.type=k
    ;j.guid=d.guid;var u=i[k],z=c.event.special[k]||{};if(!u){u=i[k]=[];if(!z.setup||z.
    setup.call(a,f,r,o)==false)if(a.addEventListener)a.addEventListener(k,o,false)
    ;else a.attachEvent&&a.attachEvent("on"+k,o)}if(z.add){z.add.call(a,j);if(!j.
    ))}}}}}};
```

```

        handler.guid)j.handler.guid=d.guid}u.push(j);c.event.global[k]=true}a=null}}},  

        global:{},remove:function(a,b,d,f){if(!(a.nodeType==3||a.nodeType==8)){var e,j  

        =0,i,o,k,n,r,u,z=c.data(a),  

        49 C=z&&z.events;if(z&&C){if(b&&b.type){d=b.handler;b=b.type}if(!b||typeof b=="string"  

        &&b.charAt(0)==="."){b=b||"";for(e in C)c.event.remove(a,e+b)}else{for(b=b.split(  

        " ");e=b[j++];){n=e;i=e.indexOf(".")<0;o=[];if(!i){o=e.split(".");e=o.shift();k=  

        new RegExp("(^|\\.)"+c.map(o.slice(0).sort(),db).join("\\.(?:.*\\.)?")+"(\\.|$)")  

        }if(r=C[e])if(d){n=c.event.special[e]||{};for(B=f||0;B<r.length;B++){u=r[B];if(d.  

        guid==u.guid){if(i||k.test(u.namespace)){f==null&&r.splice(B--,1);n.remove&&n.  

        remove.call(a,u)}if(f!=  

        50 null)break}}}}if(r.length==0||f!=null&&r.length==1){if(!n.teardown||n.teardown.call(a  

        ,o)==false)Ca(a,e,z.handle);delete C[e]}else for(var B=0;B<r.length;B++){u=r[B]  

        ];if(i||k.test(u.namespace)){c.event.remove(a,n,u.handler,B);r.splice(B--,1)}}}if  

        (c.isEmptyObject(C)){if(b=z.handle)b.elem=null;delete z.events;delete z.handle;c.  

        isEmptyObject(z)&&c.removeData(a))}}}},trigger:function(a,b,d,f){var e=a.type||a;  

        if(!f){a=typeof a==="object"?a[G]?a:c.extend(c.Event(e),a):c.Event(e);if(e.  

        indexOf("!"))>=0){a.type=  

        51 e=e.slice(0,-1);a.exclusive=true}if(!d){a.stopPropagation();c.event.global[e]&&c.each  

        (c.cache,function(){this.events&&this.events[e]&&c.event.trigger(a,b,this.handle.  

        elem)})}if(!d||d.nodeType==3||d.nodeType==8) return w;a.result=w;a.target=d;b=c.  

        makeArray(b);b.unshift(a)a.currentTarget=d;(f=c.data(d,"handle"))&&f.apply(d,b);  

        f=d.parentNode||d.ownerDocument;try{if(!(d&&d.nodeName&&c.noData[d.nodeName.  

        toLowerCase()]))if(d["on"+e]&&d["on"+e].apply(d,b)==false)a.result=false}catch(j  

        ){}if(!a.isPropagationStopped())&&  

        52 f.c.event.trigger(a,b,f,true);else if(!a.isDefaultPrevented()){f=a.target;var i,o=c.  

        nodeName(f,"a")&&e==="click",k=c.event.special[e]||{};if((!k._default||k._default.  

        .call(d,a)==false)&&!o&&!(f&&f.nodeName&&c.noData[f.nodeName.toLowerCase()])){  

        try{if(f[e]){if(i=f["on"+e])f["on"+e]=null;c.event.triggered=true;f[e]()}catch(n  

        ){}if(i)f["on"+e]=i;c.event.triggered=false}}},handle:function(a){var b,d,f,e;a=  

        arguments[0]=c.event.fix(a||A.event);a.currentTarget=this;b=a.type.indexOf(".")  

        <0&&!a.exclusive;  

        53 if(!b){d=a.type.split(".");a.type=d.shift();f=new RegExp("(^|\\.)"+d.slice(0).sort().  

        join("\\.(?:.*\\.)?")+"(\\.|$)")}e=c.data(this,"events");d=e[a.type];if(e&&d){d=d.  

        slice(0);e=0;for(var j=d.length;e<j;e++){var i=d[e];if(b||f.test(i.namespace)){a.  

        handler=i.handler;a.data=i.data;a.handleObj=i;i=i.handler.apply(this,arguments);  

        if(i!==w){a.result=i;if(i==false){a.preventDefault();a.stopPropagation()}if(a.  

        isImmediatePropagationStopped())break}}}return a.result},props:"altKey attrChange  

        attrName bubbles button cancelable charCode clientX clientY ctrlKey  

        currentTarget data detail eventPhase fromElement handler keyCode layerX layerY  

        metaKey newValue offsetX offsetY originalTarget pageX pageY prevValue relatedNode  

        relatedTarget screenX screenY shiftKey srcElement target toElement view  

        wheelDelta which".split(" "),  

        54 fix:function(a){if(a[G])return a;var b=a;a=c.Event(b);for(var d=this.props.length,f=d;)  

        {f=this.props[--d];a[f]=b[f]}if(!a.target)a.target=a.srcElement||s;if(a.target.  

        nodeType==3)a.target=a.target.parentNode;if(!a.relatedTarget&&a.fromElement)a.  

        relatedTarget=a.fromElement==a.target?a.toElement:a.fromElement;if(a.pageX==null&&  

        a.clientX!=null){b=s.documentElement;d=s.body;a.pageX=a.clientX+(b&&b.scrollLeft||d  

        &&d.scrollLeft||0)-(b&&b.clientLeft||d&&d.clientLeft||0);a.pageY=a.clientY+(b&&b.  

        scrollTop||

```

```

55    d&&d.scrollTop||0)-(b&&b.clientTop||d&&d.clientTop||0)}if(!a.which&&(a.charCodeAt||a.
      charCode==0?a.charCodeAt:a.keyCode))a.which=a.charCodeAt||a.keyCode;if(!a.metaKey&&a.
      .ctrlKey)a.metaKey=a.ctrlKey;if(!a.which&&a.button!=w)a.which=a.button&1?1:a.
      button&2?3:a.button&4?2:0;return a},guid:1E8,proxy:c.proxy,special:{ready:{setup:
      c.bindReady,teardown:c.noop},live:{add:function(a){c.event.add(this,a.origType,c.
      extend({},a,{handler:oa})),remove:function(a){var b=true,d=a.origType.replace(0,
      "");c.each(c.data(this,
56      "events").live||[],function(){if(d===this.origType.replace(0,""))return b=false})
      ;b&&c.event.remove(this,a.origType,oa)}},beforeunload:{setup:function(a,b,d){
      if(this.setInterval)this.onbeforeunload=d;return false},teardown:function(a,b)
      ){if(this.onbeforeunload==b)this.onbeforeunload=null}}};var Ca=s.
      removeEventListener?function(a,b,d){a.removeEventListener(b,d,false)}:
      function(a,b,d){a.detachEvent("on"+b,d)};c.Event=function(a){if(!this.
      preventDefault)return new c.Event(a);if(a&&a.type){this.originalEvent=
57      a;this.type=a.type}else this.type=a;this.timeStamp=J();this[G]=true};c.Event.prototype
      ={preventDefault:function(){this.isDefaultPrevented=z;var a=this.originalEvent;if(a)
      ){a.preventDefault&&a.preventDefault();a.returnValue=false}},stopPropagation:
      function(){this.isPropagationStopped=z;var a=this.originalEvent;if(a){a.
      stopPropagation&&a.stopPropagation();a.cancelBubble=true}},stopImmediatePropagation
      :function(){this.isImmediatePropagationStopped=z;this.stopPropagation(),  

      isDefaultPrevented:y,isPropagationStopped:y,
58      isImmediatePropagationStopped:y};var Da=function(a){var b=a.relatedTarget;try{for(;b&&b
      !=this;)b=b.parentNode;if(b!=this){a.type=a.data;c.event.handle.apply(this,
      arguments)}catch(d){}},Ea=function(a){a.type=a.data;c.event.handle.apply(this,
      arguments)};c.each({mouseenter:"mouseover",mouseleave:"mouseout"},function(a,b){c.
      event.special[a]={setup:function(d){c.event.add(this,b,d&&d.selector?Ea:Da,a)},
      teardown:function(d){c.event.remove(this,b,d&&d.selector?Ea:Da)}}});if(!c.support.
      submitBubbles)c.event.special.submit=
59      {setup:function(){if(this.nodeName.toLowerCase()!="form"){c.event.add(this,"click.
      specialSubmit",function(a){var b=a.target,d=b.type;if((d=="submit"||d=="image")&&
      c(b).closest("form").length)return na("submit",this,arguments)});c.event.add(this,"
      keypress.specialSubmit",function(a){var b=a.target,d=b.type;if((d=="text"||d=="  

      password")&&c(b).closest("form").length&&a.keyCode==13)return na("submit",this,
      arguments)});else return false},teardown:function(){c.event.remove(this,".
      specialSubmit")}};
60      if(!c.support.changeBubbles){var da=/textarea|input|select/i,ea,Fa=function(a){var b=a.
      type,d=a.value;if(b=="radio"||b=="checkbox")d=a.checked;else if(b=="select-
      multiple")d=a.selectedIndex>-1?c.map(a.options,function(f){return f.selected}).join
      (" "):"";else if(a.nodeName.toLowerCase()=="select")d=a.selectedIndex;return d},fa
      =function(a,b){var d=a.target,f,e;if(!(!da.test(d.nodeName)||d.readOnly)){f=c.data(
      d,"_change_data");e=Fa(d);if(a.type!="focusout"||d.type!="radio")c.data(d,"_
      change_data",
61      e);if(!(f===""||e===""))if(f!=null||e){a.type="change";return c.event.trigger(a,b,d)
      }}};c.event.special.change={filters:{focusout:fa,click:function(a){var b=a.target
      ,d=b.type;if(d=="radio"||d=="checkbox"||b.nodeName.toLowerCase()=="select")
      return fa.call(this,a)},keydown:function(a){var b=a.target,d=b.type;if(a.keyCode
      ===13&&b.nodeName.toLowerCase()!="textarea"||a.keyCode==32&&(d=="checkbox"||d
      ==="radio")||d=="select-multiple")return fa.call(this,a)},beforeactivate:
      function(a){a=a.target;c.data(a,

```

```
"_change_data",Fa(a))},setup:function(){if(this.type=="file")return false;for(63
    var a in ea)c.event.add(this,a+".specialChange",ea[a]);return da.test(this.
    nodeName)},teardown:function(){c.event.remove(this,".specialChange");return
    da.test(this.nodeName)};ea=c.event.special.change.filters.s.addEventListener
    &&c.each({focus:"focusin",blur:"focusout"},function(a,b){function d(f){f=c.
    event.fix(f);f.type=b;return c.event.handle.call(this,f)})c.event.special[b]={

        setup:function(){this.addEventListener(a,
d,true)},teardown:function(){this.removeEventListener(a,d,true)})});c.each(["bind",
    "one"],function(a,b){c.fn[b]=function(d,f,e){if(typeof d==="object"){for(var j
    in d)this[j](f,d[j],e);return this}if(c.isFunction(f)){e=f;f=w}var i=b==="one"
    ?c.proxy(e,function(k){c(this).unbind(k,i);return e.apply(this,arguments)}):e;
    if(d==="unload"&&b!=="one")this.one(d,f,e);else{j=0;for(var o=this.length;j<o;j++)
    ++)c.event.add(this[j],d,i,f)}return this}});c.fn.extend({unbind:function(a,b){
    if(typeof a==="object")&&
64
    !a.preventDefault)for(var d in a)this.unbind(d,a[d]);else{d=0;for(var f=this.length
        ;d<f;d++)c.event.remove(this[d],a,b)}return this},delegate:function(a,b,d,f){
        return this.live(b,d,f,a)},undelegate:function(a,b,d){return arguments.length
        ===0?this.unbind("live"):this.die(b,null,d,a)},trigger:function(a,b){return
        this.each(function(){c.event.trigger(a,b,this)}),triggerHandler:function(a,b){
            if(this[0])a=c.Event(a);a.preventDefault();a.stopPropagation();c.event.trigger
            (a,b,this[0]);return a.result}},

        toggle:function(a){for(var b=arguments,d=1;d<b.length;)c.proxy(a,b[d++]);return this.
            click(c.proxy(a,function(f){var e=(c.data(this,"lastToggle"+a.guid)||0)%d;c.data(
            this,"lastToggle"+a.guid,e+1);f.preventDefault();return b[e].apply(this,arguments
            )||false)}),hover:function(a,b){return this.mouseenter(a).mouseleave(b||a)}},

        var Ga={focus:"focusin",blur:"focusout",mouseenter:"mouseover",mouseleave:"
            mouseout"};c.each(["live","die"],function(a,b){c.fn[b]=function(d,f,e,j){var i,o
            =0,k,n,r=j||this.selector,
65
            u=j?this:c(this.context);if(c.isFunction(f)){e=f;f=w}for(d=(d||"").split(" ");
            (i=d[o
            ++])!=null;){j=0.exec(i);k="";if(j){k=j[0];i=i.replace(0,"")}if(i==="hover")d.
            push("mouseenter"+k,"mouseleave"+k);else{n=i;if(i==="focus"||i==="blur")d.push(
            Ga[i]+k);i+=k}else i=(Ga[i]||i)+k;b==="live"?u.each(function(){c.event.add(this,
            pa(i,r),{data:f,selector:r,handler:e,origType:i,origHandler:e,preType:n)})):u.
            unbind(pa(i,r),e)}return this});c.each("blur focus focusin focusout load resize
            scroll unload click dblclick mousedown mouseup mousemove mouseover mouseout
            mouseenter mouseleave change select submit keydown keypress keyup error".split(""),
            "),
66
            function(a,b){c.fn[b]=function(d){return d?this.bind(b,d):this.trigger(b)};if(c.
                attrFn)c.attrFn[b]=true});A.attachEvent&&A.addEventListener&&A.attachEvent("
                onunload",function(){for(var a in c.cache)if(c.cache[a].handle)try{c.event.remove
                (c.cache[a].handle.elem)}catch(b){}});(function(){function a(g){for(var h="",l,m
                =0;g[m];m++){l=g[m];if(l.nodeType==3||l.nodeType==4)h+=l.nodeValue;else if(l.
                nodeType!=8)h+=a(l.childNodes)}return h}function b(g,h,l,m,q,p){q=0;for(var v=m.
                length;q<v;q++){var t=m[q];
67
                if(t){t=t[g];for(var y=false;t;){if(t.sizcache==1){y=m[t.sizset];break}if(t.nodeType
                ===1&&!p){t.sizcache=1;t.sizset=q;if(t.nodeName.toLowerCase()===h){y=t;break}t=t[
                g]}m[q]=y}}function d(g,h,l,m,q,p){q=0;for(var v=m.length;q<v;q++){var t=m[q];
                if(t){t=t[g];for(var y=false;t;){if(t.sizcache==1){y=m[t.sizset];break}if(t.
                nodeType==1){if(!p){t.sizcache=1;t.sizset=q;if(typeof h!="string"){if(t==h){y=
68
                    m[q]=y}}}}}}}}}};
```

```

        true; break}} else if(k.filter(h,[t]).length>0){y=t; break}} t=t[g] m[q]=y}}}} var f
=/(?:\((?:\([^\(\)]+\)|[^()]+)\)|\[(?:\[[^\[\]]*\]|["][^"]*['"]|[^[\]]'"]+)
+\]|\\.|[^>+,(\\[\\])+|[^+~])\\(*,\s*)?((?:.|\\r|\\n)*)/g,
79 e=0,j=Object.prototype.toString,i=false,o=true;[0,0].sort(function(){o=false;return
0});var k=function(g,h,l,m){l=l||[];var q=h=h||s;if(h.nodeType!==1&&h.nodeType
!==9) return[];if(!g||typeof g!=="string") return l;for(var p=[],v,t,y,S,H=true,M=x
(h),I=g;(f.exec("") ,v=f.exec(I))!=null;) {I=v[3];p.push(v[1]);if(v[2]) {S=v[3];
break}} if(p.length>1&&r.exec(g)) if(p.length==2&&n.relative[p[0]]) t=ga(p[0]+p[1],
h);else for(t=n.relative[p[0]]? [h]:k(p.shift(),h);p.length;) {g=p.shift();if(n.
relative[g]) g+=p.shift();
80 t=ga(g,t)} else{if(!m&&p.length>1&&h.nodeType==9&&!M&&n.match.ID.test(p[0])&&!n.match
.ID.test(p[p.length-1])) {v=k.find(p.shift(),h,M);h=v.expr?k.filter(v.expr,v.set)
[0]:v.set[0]} if(h){v=m?{expr:p.pop(),set:z(m)}:k.find(p.pop(),p.length==1&&(p
[0]==("~"||p[0]=="+")&&h.parentNode?h.parentNode:h,M);t=v.expr?k.filter(v.expr,v
.set):v.set;if(p.length>0)y=z(t);else H=false;for(;p.length;){var D=p.pop();v=D;
if(n.relative[D]) v=p.pop();else D="";if(v==null)v=h;n.relative[D](y,v,M)}else y
=[]} y||(y=t);y||k.error(D||
81 g);if(j.call(y)==="[object Array]") if(H) if(h&&h.nodeType==1) for(g=0;y[g]!=null;g++) {
if(y[g]&&(y[g]==true||y[g].nodeType==1&&E(h,y[g]))) l.push(t[g])} else for(g=0;y
g]!=null;g++) y[g]&&y[g].nodeType==1&&l.push(t[g]);else l.push.apply(l,y);else z(
y,l);if(S){k(S,q,l,m);k.uniqueSort(l)} return l};k.uniqueSort=function(g){if(B){i=
o;g.sort(B);if(i) for(var h=1;h<g.length;h++) g[h]==g[h-1]&&g.splice(h--,1)}return
g};k.matches=function(g,h){return k(g,null,null,h)};k.find=function(g,h,l){var m
,q;if(!g) return[];
82 for(var p=0,v=n.order.length;p<v;p++){var t=n.order[p];if(q=n.leftMatch[t].exec(g)){
var y=q[1];q.splice(1,1);if(y.substr(y.length-1)!=="\\") {q[1]=(q[1]||"").replace
(/\\/g,"");m=n.find[t](q,h,l);if(m!=null){g=g.replace(n.match[t],"");break}}}m
||(m=h.getElementsByTagName("*"));return{set:m,expr:g}};k.filter=function(g,h,l,m
){for(var q=g,p=[],v=h,t,y,S=h&&h[0]&&x(h[0]);g&&h.length;){for(var H in n.filter
) if((t=n.leftMatch[H].exec(g))!=null&&t[2]) {var M=n.filter[H],I,D;D=t[1];y=false;
t.splice(1,1);if(D.substr(D.length-
83 1)!=="\\") {if(v==p)p=[];if(n.preFilter[H]) if(t=n.preFilter[H](t,v,l,p,m,S)){if(t==
true) continue} else y=I=true; if(t) for(var U=0;(D=v[U])!=null;U++) if(D){I=M(D,t,U,v
);var Ha=m^!I;if(1&&I!=null) if(Ha)y=true;else v[U]=false;else if(Ha){p.push(D);y
=true}} if(I!=w){l||(v=p);g=g.replace(n.match[H],"");if(!y) return[];break}} if(g
==q) if(y==null) k.error(g);else break;q=g} return v};k.error=function(g){throw"
Syntax error, unrecognized expression: "+g};var n=k.selectors={order:[ "ID", "NAME
", "TAG"],match:{ID:/#((?:[\w\u00c0-\uFFFF-]|\\.))+/,NAME:/\[name=[ '"]*(?:[\w\u00c0-\uFFFF
-]|\\.)+)[ '"]*\]/,ATTR:/\[s*((?:[\w\u00c0-\uFFFF-]|\\.))+\s*(?:(\$?=)\s*([,'
"]*)(.*?)\3|\s*\])/,TAG:/^((?:[\w\u00c0-\uFFFF\*-]|\\.))+/,CHILD:/:(only|nth|
last|first)-child(?:\((even|odd|[\dn+-]*))?\/,POS:/:(nth|eq|gt|lt|first|last|
even|odd)(?:\((\d*)\))?(?:=[^-]|$)/,PSEUDO:/((?:[\w\u00c0-\uFFFF-]|\\.))+
(?:\(((\w)?((?:\([^\)]+\)|[^\\(\)]*))+)\2\))?\/,leftMatch:{},attrMap:{ "class ":"class
Name", "for ":"htmlFor"},attrHandle:{href:function(g){return g.getAttribute(
"href")}},relative:{ "+":function(g,h){var l=typeof h==="string",m=l&&!/\\W/.test(h);l=l&&!
m;if(m
) h=h.toLowerCase();m=0;for(var q=g.length,p;m<q;m++) if(p==g[m]) {for(;(p=p.
previousSibling)&&p.nodeType==1);g[m]=l||p&&p.nodeName.toLowerCase()===h?p||
```

```

false:p==>h}l&&k.filter(h,g,true)},>:function(g,h){var l=typeof h==="string";if
(l&&!/\W/.test(h)){h=h.toLowerCase();for(var m=0,q=g.length;m<q;m++){var p=g[m];
if(p){l=p.parentNode;g[m]=l.nodeName.toLowerCase()===h?l:false}}}}else{m=0;for(q=g
.length;m<q;m++)if(p=g[m])g[m]=
76    l?p.parentNode:p.parentNode==>h;l&&k.filter(h,g,true)}},":function(g,h,l){var m=
e++,q=d;if(typeof h==="string"&&!/\W/.test(h)){var p=h=h.toLowerCase();q=b}q(
"parentNode",h,m,g,p,l)},~:function(g,h,l){var m=e++,q=d;if(typeof h==="string"
&&!/\W/.test(h)){var p=h=h.toLowerCase();q=b}q("previousSibling",h,m,g
,p,l)},find:{ID:function(g,h,l){if(typeof h.getElementById!=="undefined"&&l
)return(g=h.getElementById(g[1]))?[g]:[]},NAME:function(g,h){if(typeof h.
getElementsByName!=="undefined"){var l=[];
77    h=h.getElementsByName(g[1]);for(var m=0,q=h.length;m<q;m++)h[m].getAttribute(
"name")===g[1]&&l.push(h[m]);return l.length==>0?null:l}},TAG:function(g,h){
return h.getElementsByTagName(g[1])},preFilter:{CLASS:function(g,h,l,m,q,p){g=
"+g[1].replace(/\\"/g,'"');if(p)return g;p=0;for(var v;(v=h[p])!=null;p++)
if(v)if(q^v.className&&(" "+v.className+" ").replace(/\t\n/g," ")
indexOf(g)>=0))l||m.push(v);else if(l)h[p]=false;return false},ID:function(g)
{return g[1].replace(/\\"/g,'"')},TAG:function(g){return g[1].toLowerCase()},CHILD:
function(g){if(g[1]==="nth"){var h=/(-?)\(\d*)n((?:\+|-)?\d*)/.exec(g[2])=="even"
&&"2n"||g[2]==="odd"&&"2n+1"||!/\\D/.test(g[2])&&"On"+g[2]||g[2];g[2]=h
[1]+(h[2]||1)-0;g[3]=h[3]-0}g[0]=e++;return g},ATTR:function(g,h,l,m,q,p){h=g
[1].replace(/\\"/g,'"');if(!p&&n.attrMap[h])g[1]=n.attrMap[h];if(g[2]==="~=")g
[4]=" "+g[4]+" ";return g},PSEUDO:function(g,h,l,m,q){if(g[1]==="not")if((f.
exec(g[3]))||"").length>1||/^\\w/.test(g[3]))g[3]=k(g[3],null,null,h);else{g=k.
filter(g[3],h,l,true^q);l||m.push.apply(m,
78    g);return false}else if(n.match.POS.test(g[0])||n.match.CHILD.test(g[0]))return
true;return g},POS:function(g){g.unshift(true);return g}},filters:{enabled:
function(g){return g.disabled==>false&&g.type!=="hidden"},disabled:function(g
){return g.disabled==>true},checked:function(g){return g.checked==>true},
selected:function(g){return g.selected==>true},parent:function(g){return!!g.
firstChild},empty:function(g){return!g.firstChild},has:function(g,h,l){return
!!k(l[3],g).length},header:function(g){return/h\\d/i.test(g.nodeName)},
text:function(g){return"text"==>g.type},radio:function(g){return"radio"==>g.type},
checkbox:function(g){return"checkbox"==>g.type},file:function(g){return"file"
==>g.type},password:function(g){return"password"==>g.type},submit:function(g){
return"submit"==>g.type},image:function(g){return"image"==>g.type},reset:
function(g){return"reset"==>g.type},button:function(g){return"button"==>g.type
||g.nodeName.toLowerCase()==>"button"},input:function(g){return/input|select|
79    textarea|button|i.test(g.nodeName)}},
80    setFilters:{first:function(g,h){return h==>0},last:function(g,h,l,m){return h==>=
length-1},even:function(g,h){return h%2==>0},odd:function(g,h){return h%2==>1},lt:
function(g,h,l){return h<l[3]-0},gt:function(g,h,l){return h>l[3]-0},nth:
function(g,h,l){return l[3]-0==>h},eq:function(g,h,l){return l[3]-0==>h}},filter
:{PSEUDO:function(g,h,l,m){var q=h[1],p=n.filters[q];if(p)return p(g,l,h,m);else
if(q==="contains")return(g.textContent||g.innerText||a([g])||"").indexOf(h[3])
>=0;else if(q==="not"){
81    h[3];l=0;for(m=h.length;l<m;l++)if(h[l]==>g)return false;return true}else k.error
("Syntax error, unrecognized expression: "+q)},CHILD:function(g,h){var l=h
[1],m=g;switch(l){case "only":case "first":for(;m=m.previousSibling;)if(m.

```

```

nodeType==1) return false;if(l==="first")return true;m=g;case "last":for(;m=m
.nextSibling;)if(m.nodeType==1) return false;return true;case "nth":l=h[2];
var q=h[3];if(l==1&&q==0) return true;h=h[0];var p=g.parentNode;if(p&&(p.
sizcache!==h||!g.nodeIndex)){var v=0;for(m=p.firstChild;m;m=
m.nextSibling)if(m.nodeType==1)m.nodeIndex=++v;p.sizcache=h}g=g.nodeIndex-q;
return l==0&&g==0&&g/l>=0}}},ID:function(g,h){return g.nodeType==1&&
g.getAttribute("id")===h},TAG:function(g,h){return h=="*"&&g.nodeType==1||g
.nodeName.toLowerCase()===h},CLASS:function(g,h){return(" "+(g.className||g.
getAttribute("class"))+" ").indexOf(h)>-1},ATTR:function(g,h){var l=h[1];g=n.
attrHandle[l]?n.attrHandle[l](g):g[l]!=null?g[l]:g.getAttribute(l);l=g+"";var
m=h[2];h=h[4];return g==null?m=="!=":m===""?"==":m==="?l==h:m=="~="?( " +l+" " ).indexOf(h)>0:h?l&&g!=
false:m=="!="?l!==h:m=="^="?l.indexOf(h)===0:m=="$=?l.substr(l.length-h.
length)===h:m=="|=?"l==h||l.substr(0,h.length+1)===h+"-":false},POS:function(
g,h,l,m){var q=n.setFilters[h[2]];if(q) return q(g,l,h,m)}},r=n.match.POS;for(
var u in n.match){n.match[u]=new RegExp(n.match[u].source+/(?![\[]*\])/)
(?![\]\[]*)/.source);n.leftMatch[u]=new RegExp(/(^(:|\r|\n)*?)/.source+n.
match[u].source.replace(/\((\d+)/g,function(g, h){return"\\"+(h-0+1)}))}var z=
function(g,h){g=Array.prototype.slice.call(g,0);if(h){h.push.apply(h,g);return
h}return g};try{Array.prototype.slice.call(s.documentElement.childNodes,0)}
catch(C){z=function(g,h){h=h||[];if(j.call(g)=="[object Array]" )Array.
prototype.push.apply(h,g);else if(typeof g.length=="number")for(var l=0,m=g.
length;l<m;l++)h.push(g[l]);else for(l=0;g[l];l++)h.push(g[l]);return h}}var B;
if(s.documentElement.compareDocumentPosition)B=function(g,h){if(!g.
compareDocumentPosition||

85 !h.compareDocumentPosition){if(g==h)i=true;return g.compareDocumentPosition?-1:1}g=g.
compareDocumentPosition(h)&4?-1:g==h?0:1;if(g==0)i=true;return g};else if(".
sourceIndex"in s.documentElement)B=function(g,h){if(!g.sourceIndex||!h.
sourceIndex){if(g==h)i=true;return g.sourceIndex?-1:1}g=g.sourceIndex-h.
sourceIndex;if(g==0)i=true;return g};else if(s.createRange)B=function(g,h){if(!g.
ownerDocument||!h.ownerDocument){if(g==h)i=true;return g.ownerDocument?-1:1}var
l=g.ownerDocument.createRange(),m=
h.ownerDocument.createRange();l.setStart(g,0);l.setEnd(g,0);m.setStart(h,0);m.setEnd(
h,0);g=l.compareBoundaryPoints(Range.START_TO_END,m);if(g==0)i=true;return g};((
function(){var g=s.createElement("div"),h="script"+(new Date).getTime();g.
innerHTML=<a name='"+h+"' />";var l=s.documentElement;l.insertBefore(g,l.
firstChild);if(s.getElementById(h)){n.find.ID=function(m,q,p){if(typeof q.
getElementById!="undefined"&&!p) return(q=q.getElementById(m[1]))?q.id==m[1]||
typeof q.getAttributeNode!="undefined" &&

86 q.getAttributeNode("id").nodeValue==m[1]?[q]:w:[ ]};n.filter.ID=function(m,q){var p=
typeof m.getAttributeNode!="undefined"&&m.getAttributeNode("id");return m.nodeType
==1&&p&&p.nodeValue==q}l.removeChild(g);l=g=null})();(function(){var g=s.
createElement("div");g.appendChild(s.createComment(""));if(g.getElementsByTagName(".
*").length>0)n.find.TAG=function(h,l){l=l.getElementsByTagName(h[1]);if(h[1]==="*")
{h=[];for(var m=0;l[m];m++)l[m].nodeType==1&&h.push(l[m]);l=h}return l};g.
innerHTML=<a href="#"></a>";

87 if(g.firstChild&&typeof g.firstChild.getAttribute!="undefined"&&g.firstChild.
getAttribute("href")!="#")n.attrHandle.href=function(h){return h.getAttribute(".
href",2)};g=null})();s.querySelectorAll&&function(){var g=k,h=s.createElement(".

```

```

        div");h.innerHTML=<p class='TEST'></p>";if(!(h.querySelectorAll&&h.
        querySelectorAll(".TEST").length==0)){k=function(m,q,p,v){q=q||s;if(!v&&q.
        nodeType==9&&!x(q))try{return z(q.querySelectorAll(m),p)}catch(t){}return g(m,q,
        p,v);};for(var l in g)k[l]=g[l];h=null}}());
90    (function(){var g=s.createElement("div");g.innerHTML=<div class='test e'></div><div
        class='test'></div>;if(!(!g.getElementsByClassName||g.getElementsByClassName("e"
        ).length==0)){g.lastChild.className="e";if(g.getElementsByClassName("e").length
        !==1){n.order.splice(1,0,"CLASS");n.find.CLASS=function(h,l,m){if(typeof l.
        getElementsByClassName!="undefined"&&!m)return l.getElementsByClassName(h[1]);g
        =null}}})();var E=s.compareDocumentPosition?function(g,h){return !(g.
        compareDocumentPosition(h)&16)}:
        function(g,h){return g!==h&&(g.contains?g.contains(h):true)},x=function(g){return(g
        =(g?g.ownerDocument||g:0).documentElement)?g.nodeName!=="HTML":false},ga=
        function(g,h){var l=[],m="",q;for(h=h.nodeType?[h]:h;q=n.match.PSEUDO.exec(g););
        {m+=q[0];g=g.replace(n.match.PSEUDO,"")}g=n.relative[g]?g+"*":g;q=0;for(var p=h
        .length;q<p;q++)k(g,h[q],l);return k.filter(m,l);c.find=k;c.expr=k.selectors;c
        .expr["*"]=c.expr.filters;c.unique=k.uniqueSort;c.text=a;c.isXMLDoc=x;c.
        contains=E}();var eb=/Until$/,fb=/^(:parents|prevUntil|prevAll)/,
91    gb=/,/;R=Array.prototype.slice;var Ia=function(a,b,d){if(cisFunction(b))return c.
        grep(a,function(e,j){return !b.call(e,j,e)===d});else if(b.nodeType)return c.grep
        (a,function(e){return e==b==d});else if(typeof b==="string"){var f=c.grep(a,
        function(e){return e.nodeType==1});if(Ua.test(b))return c.filter(b,f,!d);else b=
        c.filter(b,f)}return c.grep(a,function(e){return c.inArray(e,b)>=0==d});c.fn.
        extend({find:function(a){for(var b=this.pushStack("", "find", a),d=0,f=0,e=this.
        length;f<e;f++){d=b.length;
92        c.find(a,this[f],b);if(f>0)for(var j=d;j<b.length;j++)for(var i=0;i<d;i++)if(b[i]
        ===b[j])b.splice(j--,1);break}}return b},has:function(a){var b=c(a);return
        this.filter(function(){for(var d=0,f=b.length;d<f;d++)if(c.contains(this,b[d]))
        return true}),not:function(a){return this.pushStack(Ia(this,a,false),"not",a)
        },filter:function(a){return this.pushStack(Ia(this,a,true),"filter",a)},is:
        function(a){return !a&&c.filter(a,this).length>0},closest:function(a,b){if(c.
        isArray(a)){var d=[],f=this[0],e,j=
93        {},i;if(f&&a.length){e=0;for(var o=a.length;e<o;e++){i=a[e];j[i]||(j[i]=c.expr.
        match.POS.test(i)?c(i,b||this.context):i)}for(;f&&f.ownerDocument&&f!==b;){for(
        i in j){e=j[i];if(e.jquery?e.index(f)>-1:c(f).is(e)){d.push({selector:i,elem:f
        });delete j[i]}f=f.parentNode}return d}var k=c.expr.match.POS.test(a)?c(a,b||
        this.context):null;return this.map(function(n,r){for(;r&&r.ownerDocument&&r!==b
        ;){if(k?k.index(r)>-1:c(r).is(a))return r;r=r.parentNode}return null})},index:
        function(a){if(!a||typeof a==
94        "string")return c.inArray(this[0],a?c(a):this.parent().children());return c.inArray
        (a.jquery?a[0]:a,this)},add:function(a,b){a=typeof a==="string"?c(a,b||this.
        context):c.makeArray(a);b=c.merge(this.get(),a);return this.pushStack(qa(a[0])
        ||qa(b[0])?b:c.unique(b))},andSelf:function(){return this.add(this.prevObject)
        };c.each({parent:function(a){return(a=a.parentNode)&&a.nodeType!=11?a:null},
        parents:function(a){return c.dir(a,"parentNode")},parentsUntil:function(a,b,d){
        return c.dir(a,"parentNode",
95        d}),next:function(a){return c.nth(a,2,"nextSibling")},prev:function(a){return c.nth
        (a,2,"previousSibling")},nextAll:function(a){return c.dir(a,"nextSibling")},
        prevAll:function(a){return c.dir(a,"previousSibling")},nextUntil:function(a,b,d)
        ,nextUntil:function(a,b,d)
        });
    });
}

```

```

        ){return c.dir(a,"nextSibling",d)},prevUntil:function(a,b,d){return c.dir(a,
      previousSibling",d)},siblings:function(a){return c.sibling(a.parentNode.
      firstChild,a)},children:function(a){return c.sibling(a.firstChild)},contents:
      function(a){return c.nodeName(a,"iframe")?

96   a.contentDocument||a.contentWindow.document:c.makeArray(a.childNodes)}},function(a,
      b){c.fn[a]=function(d,f){var e=c.map(this,b,d);eb.test(a)|| (f=d);if(f&&typeof f
      ==="string")e=c.filter(f,e);e=this.length>1?c.unique(e):e;if((this.length>1||gb
      .test(f))&&fb.test(a))e=e.reverse();return this.pushStack(e,a,R.call(arguments)
      .join(","))}}};c.extend({filter:function(a,b,d){if(d)a!=":not ("+a+ ")";return c.
      find.matches(a,b)},dir:function(a,b,d){var f=[];for(a=a[b];a&&a.nodeType!==9&&
      d==w||a.nodeType!==1||!c(a).is(d));}},{a.nodeType===
      97 1&&f.push(a);a=a[b]}]})return f},nth:function(a,b,d){b=b||1;for(var f=0;a;a=a[d])if(a.
      nodeType==1&&f==b)break;return a},sibling:function(a,b){for(var d=[];a;a=a.
      nextSibling)a.nodeType==1&&a!=b&&d.push(a);return d});var Ja=/jQuery\+\d+="(?:\:
      d+|null)"/g,V=/^\s+/ ,Ka=/(<([\w:]+)[^>]*?)\/>/g,hb=/^(?:area|br|col|embed|hr|img|
      input|link|meta|param)$/i,La=/<([\w:]+)/,ib=/<tbody/i,jb=/<|%\w+/,ta=/<script
      |<object|<embed|<option|<style/i,ua=/checked\s*(?:[^=]|=\s*.checked.)/i,Ma=
      function(a,b,d){return hb.test(d)?
      a:b+"></"+d+">"},F={option:[1,"<select multiple='multiple'>","</select>"],legend:[1,"
      <fieldset>","</fieldset>"],thead:[1,"<table>","</table>"],tr:[2,"<table><tbody>",
      "</tbody></table>"],td:[3,"<table><tbody><tr>","</tr></tbody></table>"],col:[2,"<
      table><tbody><colgroup>","</colgroup></table>"],area:[1,"<map>","</map>
      "],_default:[0,"",""]};F.optgroup=F.option;F.tbody=F.tfoot=F.colgroup=F.caption=F.
      thead;F.th=F.td;if(!c.support.htmlSerialize)F._default=[1,"div<div>","</div>"];c.
      fn.extend({text:function(a){if(c.isFunction(a))return this.each(function(b){var d
      =
      99  c(this);d.text(a.call(this,b,d.text()))});if(typeof a=="object"&&a!==w)return this
      .empty().append((this[0]&&this[0].ownerDocument||s).createTextNode(a));return c
      .text(this)},wrapAll:function(a){if(c.isFunction(a))return this.each(function(d
      ){c(this).wrapAll(a.call(this,d))});if(this[0])var b=c(a,this[0].ownerDocument
      ).eq(0).clone(true);this[0].parentNode&&b.insertBefore(this[0]);b.map(function
      (){for(var d=this;d.firstChild&&d.firstChild.nodeType==1;)d=d.firstChild;
      return d}).append(this)}return this},
      wrapInner:function(a){if(c.isFunction(a))return this.each(function(b){c(this).
      wrapInner(a.call(this,b))});return this.each(function(){var b=c(this),d=b.
      contents();d.length?d.wrapAll(a):b.append(a)}),wrap:function(a){return this.each
      (function(){c(this).wrapAll(a)}),unwrap:function(){return this.parent().each(
      function(){c.nodeName(this,"body")||c(this).replaceWith(this.childNodes)}).end()
      },append:function(){return this.domManip(arguments,true,function(a){this.nodeType
      ===1&&this.appendChild(a)}),
      100 prepend:function(){return this.domManip(arguments,true,function(a){this.nodeType
      ===1&&this.insertBefore(a,this.firstChild)}),before:function(){if(this[0]&&this
      [0].parentNode)return this.domManip(arguments,false,function(b){this.parentNode.
      insertBefore(b,this)});else if(arguments.length){var a=c(arguments[0]);a.push.
      apply(a,this.toArray());return this.pushStack(a,"before",arguments)}},after:
      function(){if(this[0]&&this[0].parentNode)return this.domManip(arguments,false,
      function(b){this.parentNode.insertBefore(b,
      this.nextSibling)});else if(arguments.length){var a=this.pushStack(this,"after",
      arguments);a.push.apply(a,c(arguments[0]).toArray());return a}},remove:function
      101
      102
      103
      104
      105
      106
      107
      108
      109
      110
      111
      112
      113
      114
      115
      116
      117
      118
      119
      120
      121
      122
      123
      124
      125
      126
      127
      128
      129
      130
      131
      132
      133
      134
      135
      136
      137
      138
      139
      140
      141
      142
      143
      144
      145
      146
      147
      148
      149
      150
      151
      152
      153
      154
      155
      156
      157
      158
      159
      160
      161
      162
      163
      164
      165
      166
      167
      168
      169
      170
      171
      172
      173
      174
      175
      176
      177
      178
      179
      180
      181
      182
      183
      184
      185
      186
      187
      188
      189
      190
      191
      192
      193
      194
      195
      196
      197
      198
      199
      200
      201
      202
      203
      204
      205
      206
      207
      208
      209
      210
      211
      212
      213
      214
      215
      216
      217
      218
      219
      220
      221
      222
      223
      224
      225
      226
      227
      228
      229
      230
      231
      232
      233
      234
      235
      236
      237
      238
      239
      240
      241
      242
      243
      244
      245
      246
      247
      248
      249
      250
      251
      252
      253
      254
      255
      256
      257
      258
      259
      260
      261
      262
      263
      264
      265
      266
      267
      268
      269
      270
      271
      272
      273
      274
      275
      276
      277
      278
      279
      280
      281
      282
      283
      284
      285
      286
      287
      288
      289
      290
      291
      292
      293
      294
      295
      296
      297
      298
      299
      300
      301
      302
      303
      304
      305
      306
      307
      308
      309
      310
      311
      312
      313
      314
      315
      316
      317
      318
      319
      320
      321
      322
      323
      324
      325
      326
      327
      328
      329
      330
      331
      332
      333
      334
      335
      336
      337
      338
      339
      340
      341
      342
      343
      344
      345
      346
      347
      348
      349
      350
      351
      352
      353
      354
      355
      356
      357
      358
      359
      360
      361
      362
      363
      364
      365
      366
      367
      368
      369
      370
      371
      372
      373
      374
      375
      376
      377
      378
      379
      380
      381
      382
      383
      384
      385
      386
      387
      388
      389
      390
      391
      392
      393
      394
      395
      396
      397
      398
      399
      400
      401
      402
      403
      404
      405
      406
      407
      408
      409
      410
      411
      412
      413
      414
      415
      416
      417
      418
      419
      420
      421
      422
      423
      424
      425
      426
      427
      428
      429
      430
      431
      432
      433
      434
      435
      436
      437
      438
      439
      440
      441
      442
      443
      444
      445
      446
      447
      448
      449
      450
      451
      452
      453
      454
      455
      456
      457
      458
      459
      460
      461
      462
      463
      464
      465
      466
      467
      468
      469
      470
      471
      472
      473
      474
      475
      476
      477
      478
      479
      480
      481
      482
      483
      484
      485
      486
      487
      488
      489
      490
      491
      492
      493
      494
      495
      496
      497
      498
      499
      500
      501
      502
      503
      504
      505
      506
      507
      508
      509
      510
      511
      512
      513
      514
      515
      516
      517
      518
      519
      520
      521
      522
      523
      524
      525
      526
      527
      528
      529
      530
      531
      532
      533
      534
      535
      536
      537
      538
      539
      540
      541
      542
      543
      544
      545
      546
      547
      548
      549
      550
      551
      552
      553
      554
      555
      556
      557
      558
      559
      5510
      5511
      5512
      5513
      5514
      5515
      5516
      5517
      5518
      5519
      5520
      5521
      5522
      5523
      5524
      5525
      5526
      5527
      5528
      5529
      5530
      5531
      5532
      5533
      5534
      5535
      5536
      5537
      5538
      5539
      55310
      55311
      55312
      55313
      55314
      55315
      55316
      55317
      55318
      55319
      55320
      55321
      55322
      55323
      55324
      55325
      55326
      55327
      55328
      55329
      55330
      55331
      55332
      55333
      55334
      55335
      55336
      55337
      55338
      55339
      55340
      55341
      55342
      55343
      55344
      55345
      55346
      55347
      55348
      55349
      55350
      55351
      55352
      55353
      55354
      55355
      55356
      55357
      55358
      55359
      55360
      55361
      55362
      55363
      55364
      55365
      55366
      55367
      55368
      55369
      55370
      55371
      55372
      55373
      55374
      55375
      55376
      55377
      55378
      55379
      55380
      55381
      55382
      55383
      55384
      55385
      55386
      55387
      55388
      55389
      55390
      55391
      55392
      55393
      55394
      55395
      55396
      55397
      55398
      55399
      553100
      553101
      553102
      553103
      553104
      553105
      553106
      553107
      553108
      553109
      553110
      553111
      553112
      553113
      553114
      553115
      553116
      553117
      553118
      553119
      553120
      553121
      553122
      553123
      553124
      553125
      553126
      553127
      553128
      553129
      553130
      553131
      553132
      553133
      553134
      553135
      553136
      553137
      553138
      553139
      553140
      553141
      553142
      553143
      553144
      553145
      553146
      553147
      553148
      553149
      553150
      553151
      553152
      553153
      553154
      553155
      553156
      553157
      553158
      553159
      553160
      553161
      553162
      553163
      553164
      553165
      553166
      553167
      553168
      553169
      553170
      553171
      553172
      553173
      553174
      553175
      553176
      553177
      553178
      553179
      553180
      553181
      553182
      553183
      553184
      553185
      553186
      553187
      553188
      553189
      553190
      553191
      553192
      553193
      553194
      553195
      553196
      553197
      553198
      553199
      553200
      553201
      553202
      553203
      553204
      553205
      553206
      553207
      553208
      553209
      553210
      553211
      553212
      553213
      553214
      553215
      553216
      553217
      553218
      553219
      553220
      553221
      553222
      553223
      553224
      553225
      553226
      553227
      553228
      553229
      553230
      553231
      553232
      553233
      553234
      553235
      553236
      553237
      553238
      553239
      553240
      553241
      553242
      553243
      553244
      553245
      553246
      553247
      553248
      553249
      553250
      553251
      553252
      553253
      553254
      553255
      553256
      553257
      553258
      553259
      553260
      553261
      553262
      553263
      553264
      553265
      553266
      553267
      553268
      553269
      553270
      553271
      553272
      553273
      553274
      553275
      553276
      553277
      553278
      553279
      553280
      553281
      553282
      553283
      553284
      553285
      553286
      553287
      553288
      553289
      553290
      553291
      553292
      553293
      553294
      553295
      553296
      553297
      553298
      553299
      553300
      553301
      553302
      553303
      553304
      553305
      553306
      553307
      553308
      553309
      553310
      553311
      553312
      553313
      553314
      553315
      553316
      553317
      553318
      553319
      553320
      553321
      553322
      553323
      553324
      553325
      553326
      553327
      553328
      553329
      553330
      553331
      553332
      553333
      553334
      553335
      553336
      553337
      553338
      553339
      553340
      553341
      553342
      553343
      553344
      553345
      553346
      553347
      553348
      553349
      553350
      553351
      553352
      553353
      553354
      553355
      553356
      553357
      553358
      553359
      553360
      553361
      553362
      553363
      553364
      553365
      553366
      553367
      553368
      553369
      553370
      553371
      553372
      553373
      553374
      553375
      553376
      553377
      553378
      553379
      553380
      553381
      553382
      553383
      553384
      553385
      553386
      553387
      553388
      553389
      553390
      553391
      553392
      553393
      553394
      553395
      553396
      553397
      553398
      553399
      553400
      553401
      553402
      553403
      553404
      553405
      553406
      553407
      553408
      553409
      553410
      553411
      553412
      553413
      553414
      553415
      553416
      553417
      553418
      553419
      553420
      553421
      553422
      553423
      553424
      553425
      553426
      553427
      553428
      553429
      553430
      553431
      553432
      553433
      553434
      553435
      553436
      553437
      553438
      553439
      553440
      553441
      553442
      553443
      553444
      553445
      553446
      553447
      553448
      553449
      553450
      553451
      553452
      553453
      553454
      553455
      553456
      553457
      553458
      553459
      553460
      553461
      553462
      553463
      553464
      553465
      553466
      553467
      553468
      553469
      553470
      553471
      553472
      553473
      553474
      553475
      553476
      553477
      553478
      553479
      553480
      553481
      553482
      553483
      553484
      553485
      553486
      553487
      553488
      553489
      553490
      553491
      553492
      553493
      553494
      553495
      553496
      553497
      553498
      553499
      553500
      553501
      553502
      553503
      553504
      553505
      553506
      553507
      553508
      553509
      553510
      553511
      553512
      553513
      553514
      553515
      553516
      553517
      553518
      553519
      553520
      553521
      553522
      553523
      553524
      553525
      553526
      553527
      553528
      553529
      553530
      553531
      553532
      553533
      553534
      553535
      553536
      553537
      553538
      553539
      5535310
      5535311
      5535312
      5535313
      5535314
      5535315
      5535316
      5535317
      5535318
      5535319
      5535320
      5535321
      5535322
      5535323
      5535324
      5535325
      5535326
      5535327
      5535328
      5535329
      5535330
      5535331
      5535332
      5535333
      5535334
      5535335
      5535336
      5535337
      5535338
      5535339
      55353310
      55353311
      55353312
      55353313
      55353314
      55353315
      55353316
      55353317
      55353318
      55353319
      55353320
      55353321
      55353322
      55353323
      55353324
      55353325
      55353326
      55353327
      55353328
      55353329
      55353330
      55353331
      55353332
      55353333
      55353334
      55353335
      55353336
      55353337
      55353338
      55353339
      553533310
      553533311
      553533312
      553533313
      553533314
      553533315
      553533316
      553533317
      553533318
      553533319
      553533320
      553533321
      553533322
      553533323
      553533324
      553533325
      553533326
      553533327
      553533328
      553533329
      553533330
      553533331
      553533332
      553533333
      553533334
      553533335
      553533336
      553533337
      553533338
      553533339
      5535333310
      5535333311
      5535333312
      5535333313
      5535333314
      5535333315
      5535333316
      5535333317
      5535333318
      5535333319
      5535333320
      5535333321
      5535333322
      5535333323
      5535333324
      5535333325
      5535333326
      5535333327
      5535333328
      5535333329
      5535333330
      5535333331
      5535333332
      5535333333
      5535333334
      5535333335
      5535333336
      5535333337
      5535333338
      5535333339
      55353333310
      55353333311
      55353333312
      55353333313
      55353333314
      55353333315
      55353333316
      55353333317
      55353333318
      55353333319
      55353333320
      55353333321
      55353333322
      55353333323
      55353333324
      55353333325
      55353333326
      55353333327
      55353333328
      55353333329
      55353333330
      55353333331
      55353333332
      55353333333
      55353333334
      55353333335
      55353333336
      55353333337
      55353333338
      55353333339
      553533333310
      553533333311
      553533333312
      553533333313
      553533333314
      553533333315
      553533333316
      553533333317
      553533333318
      553533333319
      553533333320
      553533333321
      553533333322
      553533333323
      553533333324
      553533333325
      553533333326
      553533333327
      553533333328
      553533333329
      553533333330
      553533333331
      553533333332
      55353
```

```
(a,b){for(var d=0,f;(f=this[d])!=null;d++)if(!a||c.filter(a,[f]).length){if(!b
&&f.nodeType==1){c.cleanData(f.getElementsByTagName("*"));c.cleanData([f])}f.
parentNode&&f.parentNode.removeChild(f)}return this},empty:function(){for(var a
=0,b;(b=this[a])!=null;a++)for(b.nodeType==1&&c.cleanData(b.
getElementsByTagName("*"));b.firstChild;)b.removeChild(b.firstChild);
return this},clone:function(a){var b=this.map(function(){if(!c.support.noCloneEvent
&&!c.isXMLDoc(this)){var d=this.outerHTML,f=this.ownerDocument;if(!d){d=f.
createElement("div");d.appendChild(this.cloneNode(true));d=d.innerHTML}return c
.clean([d.replace(Ja,"").replace(/=(^'|>\s]+\/)/g,g,'=$1">').replace(V,""),f
)[0]}else return this.cloneNode(true)}};if(a==true){ra(this,b);ra(this.find
("*"),b.find("*"))}return b},html:function(a){if(a==w) return this[0]&&this[0].
nodeType==1?this[0].innerHTML.replace(Ja,
""):null;else if(typeof a=="string"&&!ta.test(a)&&(c.support.leadingWhitespace||!V
.test(a))&&!F[(La.exec(a)||["","",""])[1].toLowerCase()]){a=a.replace(Ka,Ma);try{
for(var b=0,d=this.length;b<d;b++)if(this[b].nodeType==1){c.cleanData(this[b].
getElementsByTagName("*"));this[b].innerHTML=a}}catch(f){this.empty().append(a)
}}else cisFunction(a)?this.each(function(e){var j=c(this),i=j.html();j.empty()
.append(function(){return a.call(this,e,i)})):this.empty().append(a);return
this},replaceWith:function(a){if(this[0]&&
this[0].parentNode){if(cisFunction(a))return this.each(function(b){var d=c(this),f
=d.html();d.replaceWith(a.call(this,b,f))});if(typeof a=="string")a=c(a).
detach();return this.each(function(){var b=this.nextSibling,d=this.parentNode;c
(this).remove();b?c(b).before(a):c(d).append(a)})}else return this.pushStack(c(
cisFunction(a)?a():a),"replaceWith",a)},detach:function(a){return this.remove(
a,true)},domManip:function(a,b,d){function f(u){return c.nodeName(u,"table")?u.
getElementsByTagName("tbody")[0]|
u.appendChild(u.ownerDocument.createElement("tbody")):u}var e,j,i=a[0],o=[];
if(!c
.support.checkClone&&arguments.length==3&&typeof i=="string"&&!ua.test(i))
return this.each(function(){c(this).domManip(a,b,d,true)});if(cisFunction(i))
return this.each(function(u){var z=c(this);a[0]=i.call(this,u,b?z.html():w);z.
domManip(a,b,d)});if(this[0])e=i&&i.parentNode;e=c.support.parentNode&&e&&e.
nodeType==11&&e.childNodes.length==this.length?{fragment:e}:sa(a,this,o);k=e.
fragment;if(j=k.childNodes.length==
1?(k=k.firstChild):k.firstChild){b=b&&c.nodeName(j,"tr");for(var n=0,r=this.length;n<
r;n++)d.call(b?f(this[n],j):this[n],n>0||e.cacheable||this.length>1?k.cloneNode(
true):k){o.length&&c.each(o,Qa)}return this}}};c.fragments={};c.each({appendTo:"
append",prependTo:"prepend",insertBefore:"before",insertAfter:"after",replaceAll:
"replaceWith"},function(a,b){c.fn[a]=function(d){var f=[];d=c(d);var e=this.
length==1&&this[0].parentNode;if(e&&e.nodeType==11&&e.childNodes.length==1&&d.
length==1){d[b](this[0]);
return this}else{e=0;for(var j=d.length;e<j;e++){var i=(e>0?this.clone(true):this).
get();c.fn[b].apply(c(d[e]),i);f=f.concat(i)}return this.pushStack(f,a,d.selector
)}}});c.extend({clean:function(a,b,d,f){b=b||s;if(typeof b.createElement=="undefined")
b=b.ownerDocument||b[0]||b[0].ownerDocument||s;for(var e=[],j=0,i;(i=a[j])!=null;j++){
if(typeof i=="number")i+="";if(i){if(typeof i=="string"&&!jb.
test(i))i=b.createTextNode(i);else if(typeof i=="string"){i=i.replace(Ka,Ma);var
o=(La.exec(i)||["",
"]) [1].toLowerCase(),k=F[o]||F._default,n=k[0],r=b.createElement("div");for(r.
innerHTML=k[1]+i+k[2];n--;)r=r.lastChild;if(!c.support.tbody){n=ib.test(i);o=o
})}}});
```

```

    ==="table" && !n ? r.firstChild && r.firstChild.childNodes : k[1] === "<table>" && !n ? r.
    childNodes : [] ; for (k = o.length - 1; k >= 0; --k) c.nodeName(o[k], "tbody") && !o[k].
    childNodes.length && o[k].parentNode.removeChild(o[k]) } !c.support.
    leadingWhitespace && V.test(i) && r.insertBefore(b.createTextNode(V.exec(i)[0]), r.
    firstChild); i = r.childNodes} if (i.nodeType) e.push(i); else e =
110   c.merge(e, i)} } if (d) for (j = 0; e[j]; j++) if (f && c.nodeName(e[j], "script") && (!e[j].type || e
    [j].type.toLowerCase() === "text/javascript")) f.push(e[j].parentNode ? e[j].
    parentNode.removeChild(e[j]) : e[j]); else if (e[j].nodeType === 1 && e.splice.apply(e, [j
    + 1, 0].concat(c.makeArray(e[j].getElementsByTagName("script"))))) d.appendChild(e[j]) } return e}, cleanData: function(a){for(var b,d,f=c.cache,e=c.event.special,j=
    c.support.deleteExpando,i=0,o;(o=a[i])!=null;i++)if(d=o[c.expando]){b=f[d];if(b
    .events)for(var k in b.events)e[k]?
111     c.event.remove(o,k):Ca(o,k,b.handle);if(j)delete o[c.expando];else o.
    removeAttribute&&o.removeAttribute(c.expando);delete f[d]} } } ; var kb=/z-?index|font-?weight|opacity|zoom|line-?height/i,Na=/alpha\([^\)]*\)/,Oa=/opacity=([^
    ]*)/,ha=/float/i,ia=/-( [a-z])/ig,lb=/([A-Z])/g,mb=/^ - ? \d+(?:px)?$/i,nb=/^- ? \d/,
    ob={position:"absolute",visibility:"hidden",display:"block"},pb=["Left","Right
    "],qb=["Top","Bottom"],rb=s.defaultView&&s.defaultView.getComputedStyle,Pa=c.
    support.cssFloat?"cssFloat":"styleFloat",ja=
112   function(a,b){return b.toUpperCase()} ; c.fn.css=function(a,b){return X(this,a,b,true,
    function(d,f,e){if (e === w) return c.curCSS(d,f); if (typeof e === "number" && !kb.test(f)
    ) e += "px"; c.style(d,f,e)} ); c.extend({style:function(a,b,d){if (!a || a.nodeType
    === 3 || a.nodeType === 8) return w; if ((b === "width" || b === "height") && parseFloat(d) < 0) d = w
    ; var f = a.style || a, e = d !== w; if (!c.support.opacity && b === "opacity"){if (e){f.zoom = 1; b =
    parseInt(d, 10) + "===" + "NaN" ? "" : "alpha(opacity=" + d * 100 + ")"; a = f.filter || c.curCSS(a, "filter
    ") || ""; f.filter =
113     Na.test(a) ? a.replace(Na, b) : b} return f.filter && f.filter.indexOf("opacity=") >= 0 ?
    parseFloat(Oa.exec(f.filter)[1]) / 100 + ":"} if (ha.test(b)) b = Pa; b = b.replace(ia, ja
    ); if (e) f[b] = d; return f[b]} , css: function(a,b,d,f){if (b === "width" || b === "height"){
    var e,j=b==="width"?pb:qb;function i(){e=b==="width"?a.offsetWidth:a.
    offsetHeight;f!="border"&&c.each(j,function(){f||(e=parseFloat(c.curCSS(a,"padding "+this,true))||0);if(f==="margin")e+=parseFloat(c.curCSS(a,"margin "+this
    ,true))||0;else e-=parseFloat(c.curCSS(a,
114     "border "+this+"Width",true))||0})}a.offsetWidth != 0 ? i() : c.swap(a, ob, i); return Math.
    max(0, Math.round(e))} return c.curCSS(a, b, d)} , curCSS: function(a,b,d){var f,e=a.
    style; if (!c.support.opacity && b === "opacity" && a.currentStyle){f = Oa.test(a.
    currentStyle.filter || "") ? parseFloat(RegExp.$1) / 100 + ":"; return f === "" ? "1" : f} if
    (ha.test(b)) b = Pa; if (!d && e[b]) f = e[b]; else if (rb){if (ha.test(b)) b = "float"; b = b.
    replace(lb, "-$1").toLowerCase(); e = a.ownerDocument.defaultView; if (!e) return null
    ; if (a = e.getComputedStyle(a, null)) f =
115     a.getPropertyValue(b); if (b === "opacity" && f === "") f = "1" } else if (a.currentStyle){d = b.
    replace(ia, ja); f = a.currentStyle[b] || a.currentStyle[d]; if (!mb.test(f) && nb.test(f
    )){b = e.left; var j = a.runtimeStyle.left; a.runtimeStyle.left = a.currentStyle.left; e.
    left = d === "fontSize" ? "1em" : f || 0; f = e.pixelLeft + "px"; e.left = b; a.runtimeStyle.left
    = j} } return f}, swap: function(a,b,d){var f = {} ; for (var e in b){f[e] = a.style[e]; a.
    style[e] = b[e]} d.call(a); for (e in b) a.style[e] = f[e]} }, if (c.expr && c.expr.filters
    ){c.expr.filters.hidden = function(a){var b =
116     a.offsetWidth, d = a.offsetHeight, f = a.nodeName.toLowerCase() === "tr"; return b === 0 &&
    d === 0 && !f ? true : b > 0 && d > 0 && !f ? false : c.curCSS(a, "display") === "none"} ; c.expr.filters.
    
```

```

visible=function(a){return!c.expr.filters.hidden(a)}}var sb=J(),tb=<script(.|\s*
*?\/script>/gi,ub=/select|textarea/i,vb=/color|date|datetime|email|hidden|month|
number|password|range|search|tel|text|time|url|week/i,N=/=\?(&|$)/,ka=/\?/,wb
=/(\?|&)_=.*?(&|$)/,xb=/^(\w+:)?\//([^\//?#]+)/,yb=/%20/g,zb=c.fn.load;c.fn.
extend({load:function(a,b,d){if(typeof a!="
117 "string")return zb.call(this,a);else if(!this.length)return this;var f=a.indexOf(""
");if(f>0){var e=a.slice(f,a.length);a=a.slice(0,f)}f="GET";if(b)if(c.
isFunction(b)){d=b;b=null}else if(typeof b==="object"){b=c.param(b,c.
ajaxSettings.traditional);f="POST"}var j=this;c.ajax({url:a,type:f,dataType:"
118 html",data:b,complete:function(i,o){if(o==="success"||o==="notmodified")j.html(
e?c("<div />").append(i.responseText.replace(tb,"")).find(e):i.responseText);d
&&j.each(d,[i.responseText,o,i])}});return this},
serialize:function(){return c.param(this.serializeArray())},serializeArray:function()
{return this.map(function(){return this.elements?c.makeArray(this.elements):this
}).filter(function(){return this.name&&!this.disabled&&(this.checked||ub.test(
this.nodeName)||vb.test(this.type))}).map(function(a,b){a=c(this).val();return a
==null?null:c.isArray(a)?c.map(a,function(d){return{name:b.name,value:d}}):{name:
b.name,value:a}.get()});c.each("ajaxStart ajaxStop ajaxComplete ajaxError
ajaxSuccess ajaxSend".split(" "),
119 function(a,b){c.fn[b]=function(d){return this.bind(b,d)}});c.extend({get:function(a,b
,d,f){if(cisFunction(b)){f=f||d;d=b;b=null}return c.ajax({type:"GET",url:a,data:
b,success:d,dataType:f}),getScript:function(a,b){return c.get(a,null,b,"script")
},getJSON:function(a,b,d){return c.get(a,b,d,"json")},post:function(a,b,d,f){if(c
isFunction(b)){f=f||d;d=b;b={}}return c.ajax({type:"POST",url:a,data:b,success:d
,dataType:f}),ajaxSetup:function(a){c.extend(c.ajaxSettings,a)},ajaxSettings:{url:location.href,
120 global:true,type:"GET",contentType:"application/x-www-form-urlencoded",processData:
true,async:true,xhr:A.XMLHttpRequest&&(A.location.protocol!=="file:"||!A.
ActiveXObject)?function(){return new A.XMLHttpRequest}:function(){try{return
new A.ActiveXObject("Microsoft.XMLHTTP")}catch(a){}},accepts:{xml:"application/
xml",text/xml":text/html",script:"text/javascript",application/javascript
",json:"application/json",text/javascript",text:"text/plain",_default:"*/*"},lastModified:{} ,etag:{} ,ajax:function(a){function b(){e.success&&
e.success.call(k,o,i,x);e.global&&f("ajaxSuccess",[x,e])}function d(){e.complete&&e.
complete.call(k,x,i);e.global&&f("ajaxComplete",[x,e]);e.global&&!--c.active&&c.
event.trigger("ajaxStop")}function f(q,p){(e.context?c(e.context):c.event).
trigger(q,p)}var e=c.extend(true,{},c.ajaxSettings,a),j,i,o,k=a&&a.context||e,n=e.
type.toUpperCase();if(e.data&&e.processData&&typeof e.data!=="string")e.data=c.
param(e.data,e.traditional);if(e.dataType==="jsonp"){if(n==="GET")N.test(e.url)
||(e.url+=(ka.test(e.url)?
121 "&":"?")+(e.jsonp||"callback")+"=?");else if(!e.data||!N.test(e.data))e.data=(e.
data?e.data+"&":"")+(e.jsonp||"callback")+"=?";e.dataType="json"}if(e.dataType
==="json"&&(e.data&&N.test(e.data)||N.test(e.url))){j=e.jsonpCallback||"jsonp"+
sb++;if(e.data)e.data=(e.data+"").replace(N,"="+j+"$1");e.url=e.url.replace(N
,"="+j+"$1");e.dataType="script";A[j]=A[j]||function(q){o=q;b();d();A[j]=w;try{
delete A[j]}catch(p){}z&&z.removeChild(C)};if(e.dataType==="script"&&e.cache===
null)e.cache=false;if(e.cache===
122 false&&n==="GET"){var r=J(),u=e.url.replace(wb,"$1_="+r+"$2");e.url=u+(u==e.url?(ka.
test(e.url)?&:"?")+"_"+r:"")};if(e.data&&n==="GET")e.url+=(ka.test(e.url)
123

```

```

?"&":"?")+e.data;e.global&&!c.active++&&c.event.trigger("ajaxStart");r=(r=xb.
exec(e.url))&&(r[1]&&r[1]==location.protocol||r[2]==location.host);if(e.
dataType==="script"&&n==="GET"&&r){var z=s.getElementsByTagName("head")[0]||s.
documentElement,C=s.createElement("script");C.src=e.url;if(e.scriptCharset)C.
charset=e.scriptCharset;if(!j){var B=
124 false;C.onload=C.onreadystatechange=function(){if(!B&&(!this.readyState||this.
readyState==="loaded"||this.readyState==="complete")){B=true;b();d();C.onload=C
.onreadystatechange=null;z&&C.parentNode&&z.removeChild(C)}}z.insertBefore(C,z.
firstChild);return w}var E=false,x=e.xhr();if(x){e.username?x.open(n,e.url,e.
async,e.username,e.password):x.open(n,e.url,e.async);try{if(e.data||a&&a.
contentType)x.setRequestHeader("Content-Type",e.contentType);if(e.ifModified){c.
lastModified[e.url]&&x.setRequestHeader("If-Modified-Since",
125 c.lastModified[e.url]);c.etag[e.url]&&x.setRequestHeader("If-None-Match",c.etag[e.
url])}r||x.setRequestHeader("X-Requested-With","XMLHttpRequest");x.
setRequestHeader("Accept",e.dataType&&e.accepts[e.dataType]?e.accepts[e.
dataType]+", /*":e.accepts._default)}catch(ga){}if(e.beforeSend&&e.beforeSend.
call(k,x,e)==false){e.global&&!--c.active&&c.event.trigger("ajaxStop");x.abort
()};return false}e.global&&f("ajaxSend",[x,e]);var g=x.onreadystatechange=
function(q){if(!x||x.readyState==0||q==="abort"){E||
126 d();E=true;if(x)x.onreadystatechange=c.noop}else if(!E&&x&&(x.readyState==4||q===".
timeout")){E=true;x.onreadystatechange=c.noop;i=q==="timeout"? "timeout":!c.
httpSuccess(x)? "error":e.ifModified&&c.httpNotModified(x,e.url)? "notmodified":"
success";var p;if(i==="success")try{o=c.httpData(x,e.dataType,e)}catch(v){i=".
parsererror";p=v}if(i==="success"||i==="notmodified")j||b();else c.handleError(e,
x,i,p);d();q==="timeout"&&!x.abort();if(e.async)x=null};try{var h=x.abort;x.abort
=function(){x&&h.call(x);
127 g("abort")}}catch(l){}e.async&&e.timeout>0&&setTimeout(function(){x&&E&&g("timeout
")},e.timeout);try{x.send(n==="POST"||n==="PUT"||n==="DELETE"?e.data:null)}
catch(m){c.handleError(e,x,null,m);d()}e.async||g();return x}},handleError:
function(a,b,d,f){if(a.error)a.error.call(a.context||a,b,d,f);if(a.global)(a.
context?c(a.context):c.event).trigger("ajaxError",[b,a,f]),active:0,
httpSuccess:function(a){try{return!a.status&&location.protocol==="file":||a.
status>=200&&a.status<300||a.status==304||a.status==
128 200}a.status==0}catch(b){}return false},httpNotModified:function(a,b){var d=a.
getResponseHeader("Last-Modified"),f=a.getResponseHeader("Etag");if(d)c.
lastModified[b]=d;if(f)c.etag[b]=f;return a.status==304||a.status==0},
httpData:function(a,b,d){var f=a.getResponseHeader("content-type")||"",e=b==="".
xml"||!b&&f.indexOf("xml")>0;a=e?a.responseXML:a.responseText;e&&a.
documentElement.nodeName==="parsererror"&&c.error("parsererror");if(d&&d.
dataFilter)a=d.dataFilter(a,b);if(typeof a==="string")if(b===
129 "json"||!b&&f.indexOf("json")>0)a=c.parseJSON(a);else if(b==="script"||!b&&f.
indexOf("javascript")>0)c.globalEval(a);return a},param:function(a,b){function
d(i,o){if(c.isArray(o))c.each(o,function(k,n){b||/\[\]$/_.test(i)?f(i,n):d(i
+"["+(typeof n==="object"||c.isArray(n)?k:"")+"]",n));else!b&&o!=null&&typeof
o==="object"?c.each(o,function(k,n){d(i+"["+k+"]",n)):f(i,o)})function f(i,o){o
=cisFunction(o)?o():o;e[e.length]=encodeURIComponent(i)+"="+encodeURIComponent
(o)}var e=[];if(b==w)b=c.ajaxSettings.traditional;
130 if(c.isArray(a)||a.jquery)c.each(a,function(){f(this.name,this.value)});else for(
var j in a)d(j,a[j]);return e.join("&").replace(yb,"+"})};var la={},Ab=/toggle

```

```

| show|hide/,Bb=/^([+-]=)?([\d+-.])(.*$)/,W,va=[["height","marginTop",
marginBottom","paddingTop","paddingBottom"],["width","marginLeft","marginRight
","paddingLeft","paddingRight"],["opacity"]];c.fn.extend({show:function(a,b){if
(a||a==0) return this.animate(K("show",3),a,b);else{a=0;for(b=this.length;a<b;a++)
{var d=c.data(this[a],"olddisplay");
this[a].style.display=d||"";if(c.css(this[a],"display")=="none"){d=this[a].
nodeName;var f;if(la[d])f=la[d];else{var e=c("<"+d+" /").appendTo("body");f=e.
css("display");if(f=="none")f="block";e.remove();la[d]=f}c.data(this[a],"olddisplay",f)}a=0;for(b=this.length;a<b;a++)this[a].style.display=c.data(this
[a],"olddisplay")||"";return this}}},hide:function(a,b){if(a||a==0) return this.
animate(K("hide",3),a,b);else{a=0;for(b=this.length;a<b;a++){var d=c.data(this[
a],"olddisplay");!d&&d!="none"&&!c.data(this[a],
"olddisplay",c.css(this[a],"display"))a=0;for(b=this.length;a<b;a++)this[a].style.
display="none";return this}},_toggle:c.fn.toggle,toggle:function(a,b){var d=
typeof a==="boolean";if(cisFunction(a)&&cisFunction(b))this._toggle.apply(
this,arguments);else a==null||d?this.each(function(){var f=d?a:c(this).is(":hidden
");c(this)[f?"show":"hide"]()}):this.animate(K("toggle",3),a,b);return
this},fadeTo:function(a,b,d){return this.filter(":hidden").css("opacity",0).
show().end().animate({opacity:b},a,d)},
animate:function(a,b,d,f){var e=c.speed(b,d,f);if(c.isEmptyObject(a))return this.each
(e.complete);return this[e.queue==false?"each":"queue"](function(){var j=c.
extend({},e),i,o=this.nodeType==1&&c(this).is(":hidden"),k=this;for(i in a){var
n=i.replace(ia,ja);if(i!=n){a[n]=a[i];delete a[i];i=n}if(a[i]==="hide"&&!o||a[i]
==="show"&&!o)return j.complete.call(this);if((i==="height"||i==="width")&&this.
style){j.display=c.css(this,"display");j.overflow=this.style.overflow}if(c.
isArray(a[i])){(j.specialEasing=
j.specialEasing||{})[i]=a[i][1];a[i]=a[i][0]}if(j.overflow!=null)this.style.
overflow="hidden";j.curAnim=c.extend({},a);c.each(a,function(r,u){var z=new c.
fx(k,j,r);if(Ab.test(u))z[u==="toggle"?o?"show":"hide":u](a);else{var C=Bb.exec
(u),B=z.cur(true)||0;if(C){u=parseFloat(C[2]);var E=C[3]||"px";if(E!="px"){k.
style[r]=(u||1)+E;B=(u||1)/z.cur(true)*B;k.style[r]=B+E}if(C[1])u=(C
[1]==="-1:1")*u+B;z.custom(B,u,E)}else z.custom(B,u,"")});return true}}),
stop:function(a,b){var d=c.timers;a&&this.queue([]);
this.each(function(){for(var f=d.length-1;f>=0;f--)if(d[f].elem==this){b&&d[f](
true);d.splice(f,1)}});b||this.dequeue();return this});c.each({slideDown:K("
show",1),slideUp:K("hide",1),slideToggle:K("toggle",1),fadeIn:{opacity:"show"},

fadeOut:{opacity:"hide"}},function(a,b){c.fn[a]=function(d,f){return this.
animate(b,d,f)}});
c.extend({speed:function(a,b,d){var f=a&&typeof a==="object"?
a:{complete:d||!d&&b||cisFunction(a)&&a.duration:a,easing:d&&b||b&&!c.
isFunction(b)&&b};f.duration=c.fx.off?0:typeof f.duration==
"number"?f.duration:c.fx.speeds[f.duration]||c.fx.speeds._default;f.old=f.complete;
f.
complete=function(){f.queue!=false&&c(this).dequeue();cisFunction(f.old)&&f.old.
call(this);return f},easing:{linear:function(a,b,d,f){return d+f*a},swing:
function(a,b,d,f){return(-Math.cos(a*Math.PI)/2+0.5)*f+d}},timers:[],fx:function(
a,b,d){this.options=b;this.elem=a;this.prop=d;if(!b.orig)b.orig={}}});c.fx.
prototype={update:function(){this.options.step&&this.options.step.call(this.elem,
this.now,this);(c.fx.step[this.prop]||
c.fx.step._default)(this);if((this.prop==="height"||this.prop==="width")&&this.elem
.style)this.elem.style.display="block"},cur:function(a){if(this.elem[this.prop]
```

```

] != null && (!this.elem.style || this.elem.style[this.prop] == null)) return this.elem[  

  this.prop]; return (a = parseFloat(c.css(this.elem, this.prop, a))) && a > -10000 ? a :  

  parseFloat(c.curCSS(this.elem, this.prop)) || 0}, custom: function(a, b, d) {function f  

  (j) {return e.step(j)} this.startTime = J(); this.start = a; this.end = b; this.unit = d ||  

  this.unit || "px"; this.now = this.start;  

138   this.pos = this.state = 0; var e = this; f.elem = this.elem; if (f() && c.timers.push(f) && W =  

    setInterval(c.fx.tick, 13)}, show: function() {this.options.orig[this.prop] = c.style  

    (this.elem, this.prop); this.options.show = true; this.custom(this.prop === "width" ||  

    this.prop === "height" ? 1 : 0, this.cur()); c(this.elem).show()}, hide: function() {this.  

    options.orig[this.prop] = c.style(this.elem, this.prop); this.options.hide = true;  

    this.custom(this.cur(), 0)}, step: function(a) {var b = J(), d = true; if (a || b >= this.  

    options.duration + this.startTime) {this.now =  

139      this.end; this.pos = this.state = 1; this.update(); this.options.curAnim[this.prop] = true;  

      for (var f in this.options.curAnim) if (this.options.curAnim[f] !== true) d = false; if (d)  

        {if (this.options.display != null) {this.elem.style.overflow = this.options.  

          overflow; a = c.data(this.elem, "olddisplay"); this.elem.style.display = a ? a : this.  

          options.display; if (c.css(this.elem, "display") === "none") this.elem.style.display  

          = "block"} this.options.hide && c(this.elem).hide(); if (this.options.hide || this.  

          options.show) for (var e in this.options.curAnim) c.style(this.elem,  

140      e, this.options.orig[e]); this.options.complete.call(this.elem)} return false} else {e = b  

        - this.startTime; this.state = e / this.options.duration; a = this.options.easing || (c.  

        easing.swing ? "swing" : "linear"); this.pos = c.easing[this.options.specialEasing &&  

        this.options.specialEasing[this.prop] || a](this.state, e, 0, 1, this.options.  

        duration); this.now = this.start + (this.end - this.start) * this.pos; this.update()}  

        return true}}; c.extend(c.fx, {tick: function() {for (var a = c.timers, b = 0; b < a.length;  

          b++) a[b] () || a.splice(b--, 1); a.length ||  

141      c.fx.stop()}, stop: function() {clearInterval(W); W = null}, speeds: {slow: 600, fast: 200,  

        _default: 400}, step: {opacity: function(a) {c.style(a.elem, "opacity", a.now)}, _default  

        : function(a) {if (a.elem.style && a.elem.style[a.prop] != null) a.elem.style[a.prop] = (a.  

        prop === "width" || a.prop === "height" ? Math.max(0, a.now) : a.now) + a.unit; else a.elem[a.  

        prop] = a.now}}}; if (c.expr && c.expr.filters) c.expr.filters.animated = function(a){  

  return c.grep(c.timers, function(b){return a === b.elem}).length}; c.fn.offset = "  

  getBoundingClientRect" in s.documentElement?  

142  function(a) {var b = this[0]; if (a) return this.each(function(e) {c.offset.setOffset(this, a,  

    e)}); if (!b || !b.ownerDocument) return null; if (b === b.ownerDocument.body) return c.  

    offset.bodyOffset(b); var d = b.getBoundingClientRect(), f = b.ownerDocument; b = f.body; f =  

    f.documentElement; return {top: d.top + (self.pageYOffset || c.support.boxModel && f.  

    scrollTop || b.scrollTop) - (f.clientTop || b.clientTop || 0), left: d.left + (self.  

    pageXOffset || c.support.boxModel && f.scrollLeft || b.scrollLeft) - (f.clientLeft || b.  

    clientLeft || 0)}}: function(a) {var b =  

143  this[0]; if (a) return this.each(function(r) {c.offset.setOffset(this, a, r)}); if (!b || !b.  

    ownerDocument) return null; if (b === b.ownerDocument.body) return c.offset.  

    bodyOffset(b); c.offset.initialize(); var d = b.offsetParent, f = b, e = b.ownerDocument,  

    j, i = e.documentElement, o = e.body; f = (e.defaultView) ? e.getComputedStyle(b, null) : b.  

    currentStyle; for (var k = b.offsetTop, n = b.offsetLeft; (b = b.parentNode) && b != o && b  

    != i;) {if (c.offset.supportsFixedPosition && f.position === "fixed") break; j = e ? e.  

    getComputedStyle(b, null) : b.currentStyle;  

144  k -= b.scrollTop; n -= b.scrollLeft; if (b === d) {k += b.offsetTop; n += b.offsetLeft; if (c.offset  

    .doesNotAddBorder && !(c.offset.doesAddBorderForTableAndCells && ^t(able | d | h) / i.
```

```

    test(b.nodeName)){k+=parseFloat(j.borderTopWidth)||0;n+=parseFloat(j.
    borderLeftWidth)||0}f=d;d=b.offsetParent}if(c.offset.
    subtractsBorderForOverflowNotVisible&&j.overflow!="visible"){k+=parseFloat(j.
    borderTopWidth)||0;n+=parseFloat(j.borderLeftWidth)||0}f=j}if(f.position===".
    relative"||f.position==="static"){k+=o.offsetTop;n+=o.offsetLeft}if(c.offset.
    supportsFixedPosition&&
145   f.position==="fixed"){k+=Math.max(i.scrollTop,o.scrollTop);n+=Math.max(i.scrollLeft
        ,o.scrollLeft)}return{top:k,left:n}};c.offset={initialize:function(){var a=s.
        body,b=s.createElement("div"),d,f,e,j=parseFloat(c.curCSS(a,"marginTop",true))
        ||0;c.extend(b.style,{position:"absolute",top:0,left:0,margin:0,border:0,width
        :"1px",height:"1px",visibility:"hidden"});b.innerHTML=<div style='position:
        absolute;top:0;left:0;margin:0;border:5px solid #000;padding:0;width:1px;height
        :1px;'><div></div><table style='position:absolute;top:0;left:0;margin:0;
        border:5px solid #000;padding:0;width:1px;height:1px;' cellpadding='0'
        cellspacing='0'><tr><td></td></tr></table>";
146   a.insertBefore(b,a.firstChild);d=b.firstChild;f=d.firstChild;e=d.nextSibling.
        firstChild.firstChild;this.doesNotAddBorder=f.offsetTop!=5;this.
        doesAddBorderForTableAndCells=e.offsetTop==5;f.style.position="fixed";f.style.
        top="20px";this.supportsFixedPosition=f.offsetTop==20||f.offsetTop==15;f.
        style.position=f.style.top="";d.style.overflow="hidden";d.style.position=".
        relative";this.subtractBorderForOverflowNotVisible=f.offsetTop===-5;this.
        doesNotIncludeMarginInBodyOffset=a.offsetTop==j;a.removeChild(b);
147   c.offset.initialize=c.noop},bodyOffset:function(a){var b=a.offsetTop,d=a.offsetLeft
        ;c.offset.initialize();if(c.offset.doesNotIncludeMarginInBodyOffset){b+-
        parseFloat(c.curCSS(a,"marginTop",true))||0;d+=parseFloat(c.curCSS(a,".
        marginLeft",true))||0}return{top:b,left:d}},setOffset:function(a,b,d){if(/.
        static/.test(c.curCSS(a,"position"))){a.style.position="relative";var f=c(a),e=f.
        offset(),j=parseInt(c.curCSS(a,"top",true),10)||0,i=parseInt(c.curCSS(a,"left
        ",true),10)||0;if(c.isFunction(b))b=b.call(a,
148   d,e);d={top:b.top-e.top+j,left:b.left-e.left+i};"using"in b?b.using.call(a,d):f.css
        (d)};c.fn.extend({position:function(){if(!this[0])return null;var a=this[0],b=
        this.offsetParent(),d=this.offset(),f=/^body|html$/i.test(b[0].nodeName)?{top
        :0,left:0}:b.offset();d.top-=parseFloat(c.curCSS(a,"marginTop",true))||0;d.left-
        =parseFloat(c.curCSS(a,"marginLeft",true))||0;f.top+=parseFloat(c.curCSS(b
        [0],"borderTopWidth",true))||0;f.left+=parseFloat(c.curCSS(b[0],".
        borderLeftWidth",true))||0;return{top:d.top-
        f.top,left:d.left-f.left}}},offsetParent:function(){return this.map(function(){for
        (var a=this.offsetParent||s.body;a&&!/^body|html$/i.test(a.nodeName)&&c.css(a
        ,"position")=="static";)a=a.offsetParent;return a})});c.each(["Left","Top
        "],function(a,b){var d="scroll"+b;c.fn[d]=function(f){var e=this[0],j;if(!e)
        return null;if(f!==w)return this.each(function(){if(j=wa(this))j.scrollTo(!a?
        f:c(j).scrollLeft(),a?f:c(j).scrollTop());else this[d]=f});else return(j=wa(e
        ))?"pageXOffset"in j?j[a?"pageYOffset":.
149   "pageXOffset"]":c.support.boxModel&&j.documentElement.documentElement[d]||j.document.body[d]:
        e[d]});c.each(["Height","Width"],function(a,b){var d=b.toLowerCase();c.fn["inner
        "+b]=function(){return this[0]?c.css(this[0],d,false,"padding"):null};c.fn["outer
        "+b]=function(f){return this[0]?c.css(this[0],d,false,f?"margin":"border"):null};
        c.fn[d]=function(f){var e=this[0];if(!e)return f==null?null:this;if(c.isFunction(
        f))return this.each(function(j){var i=c(this);i[d](f.call(this,j,i[d]()))});}
150

```

```

    return "scrollTo"in
151 e&&e.document?e.document.compatMode==="CSS1Compat"&&!e.documentElement["client
      "+b]||e.documentElement["client"+b]:e.nodeType==9?Math.max(e.documentElement["client
      "+b],e.body["scroll"+b],e.documentElement["scroll"+b],e.body["offset"+b],e.
     .documentElement["offset"+b]):f==="w"?c.css(e,d):this.css(d,typeof f==="string"?f:f+
      px")}));A.jQuery=A.$=c})(window);

```

Arquivo: js/jquery.contextMenu.js

```

1 // jQuery Context Menu Plugin
2 //
3 // Version 1.01
4 //
5 // Cory S.N. LaViska
6 // A Beautiful Site (http://abeautifulsite.net/)
7 //
8 // More info: http://abeautifulsite.net/2008/09/jquery-context-menu-plugin/
9 //
10 // Terms of Use
11 //
12 // This plugin is dual-licensed under the GNU General Public License
13 // and the MIT License and is copyright A Beautiful Site, LLC.
14 //
15 if ($j) (function () {
16   $j.extend($j.fn, {
17
18     contextMenu: function (o, callback, beforeOpenCallback) {
19       // Defaults
20       if (o.menu == undefined) return false;
21       if (o.inSpeed == undefined) o.inSpeed = 150;
22       if (o.outSpeed == undefined) o.outSpeed = 75;
23       // 0 needs to be -1 for expected results (no fade)
24       if (o.inSpeed == 0) o.inSpeed = -1;
25       if (o.outSpeed == 0) o.outSpeed = -1;
26       // Loop each context menu
27       $j(this).each(function () {
28         var el = $j(this);
29         var offset = $j(el).offset();
30         // Add contextMenu class
31         $j('#' + o.menu).addClass('contextMenu');
32         // Simulate a true right click
33         $j(this).mousedown(function (e) {
34           var evt = e;
35           evt.stopPropagation();
36           $j(this).mouseup(function (e) {
37             e.stopPropagation();
38             var srcElement = $j(this);
39             $j(this).unbind('mouseup');

```

```

40     if (evt.button === 2) {
41         // Hide context menus that may be showing
42         $j('.contextMenu').hide();
43         // Get this context menu
44         var menu = $j('#' + o.menu);
45
46         if ($j(el).hasClass('disabled')) return false;
47         if (beforeOpenCallback) {
48             beforeOpenCallback(el);
49         }
50         // Detect mouse position
51         var d = {}, x, y;
52         if (self.innerHeight) {
53             d.pageYOffset = self.pageYOffset;
54             d.pageXOffset = self.pageXOffset;
55             d.innerHeight = self.innerHeight;
56             d.innerWidth = self.innerWidth;
57         } else if (document.documentElement &&
58             document.documentElement.clientHeight) {
59             d.pageYOffset = document.documentElement.scrollTop;
60             d.pageXOffset = document.documentElement.scrollLeft;
61             d.innerHeight = document.documentElement.clientHeight;
62             d.innerWidth = document.documentElement.clientWidth;
63         } else if (document.body) {
64             d.pageYOffset = document.body.scrollTop;
65             d.pageXOffset = document.body.scrollLeft;
66             d.innerHeight = document.body.clientHeight;
67             d.innerWidth = document.body.clientWidth;
68         }
69         (e.pageX) ? x = e.pageX : x = e.clientX + d.scrollLeft;
70         (e.pageY) ? y = e.pageY : y = e.clientY + d.scrollTop;
71
72         // Show the menu
73         $j(document).unbind('click');
74         $j(menu).css({top: y, left: x}).fadeIn(o.inSpeed);
75
76         // Keyboard
77         $j(document).keypress(function (e) {
78             switch (e.keyCode) {
79                 case 38: // up
80                     if ($j(menu).find('LI.hover').size() == 0) {
81                         $j(menu).find('LI:last').addClass('hover');
82                     } else {
83                         $j(menu).find('LI.hover').removeClass('hover').prevAll('LI'
84                             :not(.disabled)').eq(0).addClass('hover');
85                         if ($j(menu).find('LI.hover').size() == 0) $j(menu).find('
86                             LI:last').addClass('hover');
87                     }
88                 case 39: // right
89                     if ($j(menu).find('LI.hover').size() == 0) {
90                         $j(menu).find('LI:last').addClass('hover');
91                     } else {
92                         $j(menu).find('LI.hover').removeClass('hover').nextAll('LI'
93                             :not(.disabled)').eq(0).addClass('hover');
94                         if ($j(menu).find('LI.hover').size() == 0) $j(menu).find('
95                             LI:last').addClass('hover');
96                     }
97                 case 40: // down
98                     if ($j(menu).find('LI.hover').size() == 0) {
99                         $j(menu).find('LI:first').addClass('hover');
100                     } else {
101                         $j(menu).find('LI.hover').removeClass('hover').nextAll('LI'
102                             :not(.disabled)').eq(0).addClass('hover');
103                         if ($j(menu).find('LI.hover').size() == 0) $j(menu).find('
104                             LI:last').addClass('hover');
105                     }
106                 case 37: // left
107                     if ($j(menu).find('LI.hover').size() == 0) {
108                         $j(menu).find('LI:last').addClass('hover');
109                     } else {
110                         $j(menu).find('LI.hover').removeClass('hover').prevAll('LI'
111                             :not(.disabled)').eq(0).addClass('hover');
112                         if ($j(menu).find('LI.hover').size() == 0) $j(menu).find('
113                             LI:last').addClass('hover');
114                     }
115             }
116         });
117     }
118 
```

```
85
86         break;
87     case 40: // down
88         if ($j(menu).find('LI.hover').size() == 0) {
89             $j(menu).find('LI:first').addClass('hover');
90         } else {
91             $j(menu).find('LI.hover').removeClass('hover').nextAll('LI'
92                 :not(.disabled)').eq(0).addClass('hover');
93             if ($j(menu).find('LI.hover').size() == 0) $j(menu).find('
94                 LI:first').addClass('hover');
95         }
96         break;
97     case 13: // enter
98         $j(menu).find('LI.hover A').trigger('click');
99         break;
100    case 27: // esc
101        $j(document).trigger('click');
102        break
103    }
104
105    });
106
107    // When items are selected
108    $j('#' + o.menu).find('A').unbind('click');
109    $j('#' + o.menu).find('LI:not(.disabled) A').click(function () {
110        $j(document).unbind('click').unbind('keypress');
111        $j('.contextMenu').hide();
112        // Callback
113        if (callback) callback($j(this).attr('href').substr(1), $j(
114            srcElement), {
115                x: x - offset.left,
116                y: y - offset.top,
117                docX: x,
118                docY: y
119            });
120        return false;
121    });
122
123    // Hide bindings
124    setTimeout(function () { // Delay for Mozilla
125        $j(document).click(function () {
126            $j(document).unbind('click').unbind('keypress');
127            $j(menu).fadeOut(o.outSpeed);
128            return false;
129        });
130    }, 0);
131
132    }
133});
```

```

129     });
130
131     // Disable text selection
132     if ($j.browser.mozilla) {
133         $j('#' + o.menu).each(function () {
134             $j(this).css({'MozUserSelect': 'none'});
135         });
136     } else if ($j.browser.msie) {
137         $j('#' + o.menu).each(function () {
138             $j(this).bind('selectstart.disableTextSelect', function () {
139                 return false;
140             });
141         });
142     } else {
143         $j('#' + o.menu).each(function () {
144             $j(this).bind('mousedown.disableTextSelect', function () {
145                 return false;
146             });
147         });
148     }
149     // Disable browser context menu (requires both selectors to work in IE/
150     // Safari + FF/Chrome)
151     $j(el).add($j('UL.contextMenu')).bind('contextmenu', function () {
152         return false;
153     });
154
155     return $j(this);
156 },
157
158     // Disable context menu items on the fly
159     disableContextMenuItems: function (o) {
160         if (o == undefined) {
161             // Disable all
162             $j(this).find('LI').addClass('disabled');
163             return ($j(this));
164         }
165         $j(this).each(function () {
166             if (o != undefined) {
167                 var d = o.split(',');
168                 for (var i = 0; i < d.length; i++) {
169                     $j(this).find('a[href=' + d[i] + ']').parent().addClass('disabled');
170                 }
171             }
172         });
173     });

```

```

174     return ($j(this));
175 },
176
177 // Enable context menu items on the fly
178 enableContextMenuItems: function (o) {
179     if (o == undefined) {
180         // Enable all
181         $j(this).find('LI.disabled').removeClass('disabled');
182         return ($j(this));
183     }
184     $j(this).each(function () {
185         if (o != undefined) {
186             var d = o.split(',');
187             for (var i = 0; i < d.length; i++) {
188                 $j(this).find('A[href=' + d[i] + ']').parent().removeClass(
189                     'disabled');
190             }
191         }
192     });
193     return ($j(this));
194 },
195
196 // Disable context menu(s)
197 disableContextMenu: function () {
198     $j(this).each(function () {
199         $j(this).addClass('disabled');
200     });
201     return ($j(this));
202 },
203
204 // Enable context menu(s)
205 enableContextMenu: function () {
206     $j(this).each(function () {
207         $j(this).removeClass('disabled');
208     });
209     return ($j(this));
210 },
211
212 // Destroy context menu(s)
213 destroyContextMenu: function () {
214     // Destroy specified context menus
215     $j(this).each(function () {
216         // Disable action
217         $j(this).unbind('mousedown').unbind('mouseup');
218     });
219     return ($j(this));

```

```
220     }
221
222     });
223 })( $j );
```

Arquivo: css/jquery.contextMenu.css

```
1 /* Generic context menu styles */
2 .contextMenu {
3     position: absolute;
4     width: 120px;
5     z-index: 99999;
6     border: solid 1px #ccc;
7     background: #eee;
8     padding: 0;
9     margin: 0;
10    display: none;
11 }
12
13 .contextMenu li {
14     list-style: none;
15     padding: 0;
16     margin: 0;
17 }
18
19 .contextMenu a {
20     color: #333;
21     text-decoration: none;
22     display: block;
23     line-height: 20px;
24     height: 20px;
25     background-position: 6px center;
26     background-repeat: no-repeat;
27     outline: none;
28     padding: 1px 5px 1px 28px;
29 }
30
31 .contextMenu li:hover a {
32     color: #fff;
33     background-color: #3399ff;
34 }
35
36 .contextMenu li.disabled a {
37     color: #aaa;
38     cursor: default;
39 }
40
41 .contextMenu li.disabled:hover a {
```

```

42     background-color: transparent;
43 }
44
45 .contextMenu li.separator {
46     border-top: solid 1px #ccc;
47 }
48
49 /*
50 Adding Icons
51
52 You can add icons to the context menu by adding
53 classes to the respective LI element(s)
54 */
55
56 #tiwimFloatMenu li.tiwim-comment A { background-image: url(https://labs.
      abeautifulsite.net/archived/jquery-contextMenu/demo/images/page_white_edit.
      png); }
57 #tiwimFloatMenu li.tiwim-edit A { background-image: url(https://labs.
      abeautifulsite.net/archived/jquery-contextMenu/demo/images/page_white_edit.
      png); }
58 #tiwimFloatMenu li.tiwim-cut A { background-image: url(https://labs.
      abeautifulsite.net/archived/jquery-contextMenu/demo/images/cut.png); }
59 #tiwimFloatMenu li.tiwim-copy A { background-image: url(https://labs.
      abeautifulsite.net/archived/jquery-contextMenu/demo/images/page_white_copy.
      png); }
60 #tiwimFloatMenu li.tiwim-paste A { background-image: url(https://labs.
      abeautifulsite.net/archived/jquery-contextMenu/demo/images/page_white_paste.
      png); }
61 #tiwimFloatMenu li.tiwim-delete A { background-image: url(https://labs.
      abeautifulsite.net/archived/jquery-contextMenu/demo/images/page_white_delete.
      png); }
62 #tiwimFloatMenu li.tiwim-quit A { background-image: url(https://labs.
      abeautifulsite.net/archived/jquery-contextMenu/demo/images/door.png); }
63
64 #tiwimFloatMenu li.tiwim-add A { background-image: url(https://labs.
      abeautifulsite.net/archived/jquery-contextMenu/demo/images/door.png); }
65 #tiwimFloatMenu li.tiwim-add-button A { background-image: url(https://labs.
      abeautifulsite.net/archived/jquery-contextMenu/demo/images/door.png); }
66 #tiwimFloatMenu li.tiwim-add-text A { background-image: url(https://labs.
      abeautifulsite.net/archived/jquery-contextMenu/demo/images/door.png); }
67 #tiwimFloatMenu li.tiwim-add-list A { background-image: url(https://labs.
      abeautifulsite.net/archived/jquery-contextMenu/demo/images/door.png); }
68 #tiwimFloatMenu li.tiwim-add-link A { background-image: url(https://labs.
      abeautifulsite.net/archived/jquery-contextMenu/demo/images/door.png); }
69 #tiwimFloatMenu li.tiwim-duplicate A { background-image: url(https://labs.
      abeautifulsite.net/archived/jquery-contextMenu/demo/images/page_white_paste.
      png); }

```

```
70
71
72 /* Dropdown Content (Hidden by Default) */
73 .dropdown {
74     display: none;
75     position: absolute;
76     min-width: 120px;
77     box-shadow: 0 8px 16px 0 rgba(0,0,0,0.2);
78     z-index: 1;
79 }
80
81 .contextMenu li .dropdown a {
82     color: #333;
83     text-decoration: none;
84     display: block;
85     line-height: 20px;
86     height: 20px;
87     outline: none;
88     padding: 1px 5px 1px 28px;
89     background: #eee no-repeat 6px center;
90 }
91
92 .contextMenu li .dropdown li:hover a {
93     color: #fff;
94     background-color: #3399ff;
95 }
96
97 .contextMenu li:not(.disabled):hover .dropdown {
98     display: block;
99     background: #eee;
100    left: 120px;
101    padding: 0;
102    width: 23px;
103    margin-top: -22px;
104    cursor: pointer;
105 }
106
107
108 #tiwimMenu {
109     display: inline;
110     position: fixed;
111     width: 40px;
112     height: 40px;
113     background: green;
114     right: 12px;
115     bottom: 12px;
116     border-radius: 50%;
```

```
117 }
118
119 .hoverItem {
120     border: 2px solid blue!important;
121 }
```

Arquivo: css/tiwim.css

```
1 #tiwimFloatMenu {
2     font-family: Verdana, Arial, Helvetica, sans-serif;
3     font-size: 11px;
4     background: #FFF;
5     /*position: inherit;*/
6 }
7
8 #tiwim-edit-content {
9     width: 80vw;
10    max-width: calc(100vw - 360px);
11    height: 100vh;
12    display: inline-block;
13 }
14
15 .tiwim-has-change {
16     position: relative;
17 }
18
19 .tiwim-has-change::after {
20     content: "";
21     position: absolute;
22     top: -10px;
23     right: -10px;
24     font-size: .7em;
25     background: #3D656B;
26     color: #3D656B;
27     width: 18px;
28     height: 18px;
29     text-align: center;
30     line-height: 18px;
31     border-radius: 50%;
32     box-shadow: 0 0 1px #333;
33 }
34
35 .badge {
36     display: inline-block;
37     min-width: 16px; /* pixel unit */
38     padding: 35px 50px; /* pixel unit */
39     border-radius: 50%;
40     font-size: 75px;
```

```
41     text-align: center;
42     background: #1779ba;
43     color: #fefefe;
44 }
45
46 #tiwim-tool-area {
47     font-family: Verdana, Arial, Helvetica, sans-serif;
48     background: #e7e7e7;
49     width: 20vw;
50     min-width: 320px;
51     max-width: 380px;
52     height: 100vh;
53     display: inline-block;
54     position: fixed;
55     top: 0;
56     right: 0;
57     bottom: 0;
58     overflow: auto;
59     z-index: 9999;
60     padding-bottom: 20px;
61 }
62
63 #tiwim-tool-area .on-off-container {
64     text-align: right;
65     margin: 10px 20px 0;
66     padding: 6px;
67     background: #f0f0f0;
68 }
69
70 #tiwim-tool-area .logo-container {
71     width: 100%;
72     text-align: center;
73     margin-top: 20px;
74 }
75
76 #tiwim-tool-area .logo-container img {
77     width: 80%;
78 }
79
80 #tiwim-tool-area .changes-container {
81     background: #f0f0f0;
82     margin: 20px;
83 }
84
85 #tiwim-tool-area .changes-container .changes-header {
86     background: rgba(255, 255, 255, 0.85);
87     text-align: center;
```

```
88     padding: 20px;
89     font-size: 16px;
90 }
91
92 #tiwim-tool-area .changes-container .changes-content {
93     padding: 12px;
94     overflow: auto;
95 }
96
97 #tiwim-tool-area .changes-container .changes-content .item {
98     background: rgba(255, 255, 255, 0.85);
99     -webkit-box-shadow: 0 2px 4px 1px rgba(0, 0, 0, 0.4);
100    -moz-box-shadow: 0 2px 4px 1px rgba(0, 0, 0, 0.4);
101    box-shadow: 0 2px 4px 1px rgba(0, 0, 0, 0.4);
102    border-radius: 4px;
103    padding: 10px;
104    font-size: 12px;
105    margin-bottom: 16px;
106 }
107
108 #tiwim-tool-area .changes-container .changes-content .item:last-child {
109     margin-bottom: 6px;
110 }
111
112 #tiwim-tool-area .changes-container .changes-content .item span {
113     display: block;
114 }
115
116 #tiwim-tool-area .changes-container .changes-content .item span.title {
117     margin-bottom: 10px;
118 }
119
120 #tiwim-tool-area .actions-container {
121     padding: 0 20px;
122 }
123
124 #tiwim-tool-area .actions-container .item {
125     display: inline-block;
126     background: #E0E0E0;
127     min-width: 110px;
128     -webkit-box-shadow: 0 2px 4px 1px rgba(0, 0, 0, 0.4);
129     -moz-box-shadow: 0 2px 4px 1px rgba(0, 0, 0, 0.4);
130     box-shadow: 0 2px 4px 1px rgba(0, 0, 0, 0.4);
131     border-radius: 4px;
132     padding: 8px;
133     line-height: 30px;
134     cursor: pointer;
```

```
135 }
136
137 #tiwim-tool-area .actions-container .item:last-child {
138     float: right;
139 }
140
141 #tiwim-tool-area .actions-container .item img {
142     width: 20px;
143     height: 20px;
144     float: left;
145     margin-top: 4px;
146     margin-left: 4px;
147 }
148
149 #tiwim-tool-area .actions-container .item span {
150     width: calc(100% - 30px);
151     text-transform: uppercase;
152     display: inline-block;
153     float: left;
154     font-size: 12px;
155     text-align: center;
156 }
```